

**IDENTIFIKASI DAERAH RAWAN LONGSOR MENGGUNAKAN
APLIKASI SISTEM INFORMASI GEOGRAFIS (GIS) DI DESA KARIANGO
KECAMATAN LEMBANG KABUPATEN PINRANG**



Skripsi

Diajukan Untuk Memenuhi Salah Satu Syarat Mengikuti Seminar Hasil
Penelitian Jurusan Fisika Fakultas Sains dan Teknologi
Universitas Islam Negeri Alauddin Makassar

Oleh:

AYU MULIA SAPUTRI

NIM: 60400116011

**FAKULTAS SAINS DAN TEKNOLOGI
UIN ALAUDDIN MAKASSAR
2020**

PERNYATAAN KEASLIAN SKRIPSI

Mahasiswa yang bertanda tangan di bawah ini:

Nama : Ayu Mulia Saputri
NIM : 604001160011
Tempat/Tgl. Lahir : Kulo, 02 Juni 1999
Jurusan : Fisika
Fakultas/Program : Sains dan Teknologi
Alamat : Jl. H. M. Yasin Limpo, Samata, Gowa
Judul Skripsi : Mengidentifikasi Daerah Rawan Longsor Menggunakan Aplikasi Sistem Informasi Geografis (GIS) di Desa Kariango Kecamatan Lembang Kabupaten Pinrang.

Menyatakan dengan sesungguhnya dan penuh kesadaran bahwa skripsi ini benar adalah hasil karya sendiri. Jika dikemudian hari terbukti bahwa ia merupakan duplikat, tiruan, plagiat, atau dibuat oleh orang lain, sebagian atau seluruhnya, maka skripsi ini dan gelar yang diperoleh karenanya batal demi hukum.

Samata, 19 Agustus 2020
Penyusun



Ayu Mulia Saputri
Nim: 60400116011

PENGESAHAN SKRIPSI

Skripsi yang berjudul, "Identifikasi Daerah Rawan Longsor Menggunakan Aplikasi Sistem Informasi Geografis (SIG) Di Desa Kariango Kecamatan Lembang Kabupaten Pinrang" yang disusun oleh **AYU MULIA SAPUTRI**, NIM 60400116011, Mahasiswa Jurusan Fisika pada Fakultas Sains dan Teknologi Universitas Islam Negeri (UIN) Alauddin Makassar, telah diuji dan dipertahankan dalam Ujian Munaqasyah yang diselenggarakan pada hari Jumat, tanggal **22 Desember 2020** bertepatan dengan **7 Jumadil Awal 1442 H** dinyatakan telah dapat diterima sebagai salah satu syarat untuk meraih gelar Sarjana dalam ilmu Sains, Jurusan Fisika

Gowa, 22 Desember 2020
7 Jumadil Akhir 1442 H

DEWAN PENGUJI

Ketua : Sjamsiah, S Si, M Si, Ph D

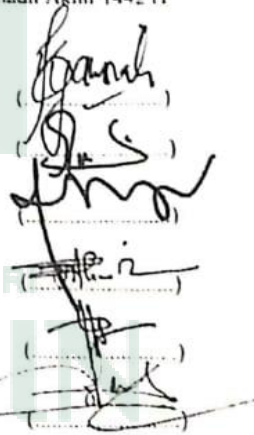
Sekretaris : Sri Zelviani, S Si, M.Sc

Munaqisy I : Rahmaniah, S Si, M.Si

Munaqisy II : Dr. Hj Rahmi Damis, M.Ag

Pembimbing I : Ihsan, S.Pd, M.Si

Pembimbing II : Muh Said L, S Si, M.Pd



Diketahui Oleh:
Dekan Fakultas Sains dan Teknologi
UIN Alauddin Makassar



Prof. Dr. Muhammad Halifah Mustami, M.Pd
NIR. 197104122000031001



UNIVERSITAS ISLAM NEGERI
ALAUDDIN
M A K A S S A R

KATA PENGANTAR

Syukur alhamdulillah, segala puji bagi Allah Swt. Atas segala rahmat, nikmat, dan karunia-Nya, sehingga penulisan skripsi ini dapat menyelesaikan serta menyusun skripsi ini yang berjudul “**Identifikasi Daerah Rawan Longsor Menggunakan Software Arcgis di Desa Kariango Kecamatan Lembang Kabupaten Pinrang**”. Skripsi ini disusun sebagai salah satu syarat untuk memperoleh gelar sarjana strata satu fisika. Semoga salam dan shalawat tetap tercurahkan kepada Nabi Muhammad saw, yang telah membawa manusia dari alam jahiliyah menuju alam yang berilmu seperti sekarang ini. Penulis juga ingin mengucapkan banyak terima kasih dan rasa hormat yang tiada hentinya kepada dua orang tua terkasih dalam hidup penulis yaitu Ayahanda **Drs. Ilyas** dan Ibunda tercinta **Muliani** selaku orang tua yang telah menjadi motivator, dan pemberi semangat yang sangat luar biasa serta selalu memberikan do’a terbaik sehingga penulis dapat menyelesaikan skripsi ini dengan cepat. Dan juga kepada keluarga yang tiada henti-hentinya mendoakan dan memberikan dukung dengan penuh kesabaran dan ketulusan kepada penulis sehingga penulis dapat menyelesaikan skripsi ini.

Penulis juga mengucapkan rasa hormat dan banyak terima kasih kepada Bapak **Ihsan, S.Pd., M.Si** dan Bapak **Muh. Said L., S.Si., M.Pd,** selaku pembimbing I dan II yang dengan tulus meluangkan waktu, tenaga dan pikiran untuk membimbing dan mengarahkan penulis agar dapat menyelesaikan skripsi ini dengan hasil yang baik serta mendengarkan keluh kesah penulis dengan penuh kesabaran

dalam penyusunan skripsi ini. Juga kepada Bapak **Amirin Kusmiran, S.Si., M.T.**, yang selalu memberikan motivasi, meluangkan waktu, tenaga dan pikiran dalam mengajarkan, mengarahkan, membagi ilmu serta pengalaman sehingga penulis dapat menyelesaikan skripsi ini dengan baik.

Penulis juga menyadari sepenuhnya bahwa selama penyusunan skripsi ini tidak lepas dari berbagai hambatan yang penulis hadapi, namun berkat pertolongan Allah swt semuanya dapat dilalui serta bantuan berbagai pihak yang selalu memberikan motivasi dan doa bagi penulis dengan penuh keikhlasan sehingga skripsi ini dapat terselesaikan. Oleh karena itu penulis juga mengucapkan banyak terima kasih kepada:

1. Bapak **Prof. Hamdan Juhannis, M.A., Ph.D.**, selaku Rektor Universitas Islam Negeri (UIN) Alauddin Makassar periode 2019-2023.
2. Bapak **Prof. Dr. Muhammad Halifah, M.Pd.**, selaku Dekan Fakultas Sains Teknologi Universitas Islam Negeri (UIN) Alauddin Makassar periode 2019-2023.
3. Bapak **Ihsan S.Pd., M.Si.**, selaku Ketua Jurusan Fisika Fakultas Sains dan Teknologi, dan Bapak **Muh. Said L, S.Pd., M.Pd.**, selaku Sekretaris Jurusan Fisika Fakultas Sains dan Teknologi, yang telah membantu penulis selama masa studi, memberikan motivasi dan masukan.
4. **Rahmaniah, S.Si.,M.Si** dan **Dr. Hj. Rahmi Damis, M.Ag** selaku penguji I dan II yang senantiasa memberikan saran dan masukan untuk sehingga penulis dapat menyelesaikan perbaikan Skripsi ini.

5. Dosen Pengajar Jurusan Fisika Fakultas Sains dan Teknologi Ibu **Sahara, S.Si, M.Sc., Ph.D.**, Ibu **Rahmania, S.Si., M.Si.**, Ibu **Sri Zelviani, S.Si., M.Sc.**, Ibu **Hernawati, S.Pd., M.Pfis.**, Ibu **Ayusari Wahyuni, S.Si., M.Sc** dan dosen lainnya yang telah meluangkan waktu dan tenaga, serta membimbing dan membagi ilmu di bangku kuliah. Juga kepada ibu **Hadiningsih, SE** selaku staf administrasi Jurusan Fisika, yang telah melakukan pelayanan secara maksimal sehingga Penulis dapat menyelesaikan Skripsi ini dengan tepat waktu.
6. Bapak **Muhtar, S.T., M.T.**, Bapak **Abdul Mun'im, S.T., M.T.**, Bapak **Ahmad Yani S.Si.**, dan Ibu **Nurhaisah, S.Si.**, sebagai Laboran di Laboratorium Jurusan Fisika Fakultas Sains dan Teknologi yang telah membimbing selama praktikum.
7. Bapak dan Ibu Staf pada bagian administrasi dan akademik dalam lingkup Fakultas Sains dan Teknologi yang selalu siap dan sabar melayani Penulis dalam pengurusan berkas administrasi maupun akademik.
8. Kepada Saudara penulis **Farhan Ramadhan, Muh. Afdal, Muh. Nabil Alkahfi** yang menjadi penyemangat dan penghibur penulis, sehingga dapat menyelesaikan skripsi dengan cepat dan baik.
9. Team Work Penulis **Nurvadillah Angraini. A** yang saling berbagi pengetahuan mengenai tanah longsor.
10. Kepada para sahabat yang selalu ada dalam suka maupun duka: **Anugrah Wulandari Habdi, Nizar Muhammad Jamil, Hasmual Husna, Fany Aliasra, Nurvadillah Angraini. A, Zilmi Azyurah Rahman, Irmayanti, Aminah, Sri Dewi Astuti, Putri Mayang Sari, Risnawati, SSB.**

11. Teman seperjuangan **B16 BANG** (Angkatan 2016) atas kebersamaannya selama empat tahun ini, telah menjadi sahabat dan keluarga yang hangat, memberi banyak bantuan selama masa studi, selalu ada dalam suka maupun duka. Serta senior-senior Jurusan Fisika Angkatan **2010, 2011, 12ADIASI, ASAS 13LACK, INERS14, dan RES15TOR**. Juga adik-adik **INTENS17AS, INH18ITOR, dan R19EL**.
12. Teman-teman **INCES KULO, AKSELERASI 07, Tehnik Geologi UNHAS, Geofisika UNHAS, dan Group Diskusi GIS** yang telah membantu menyelesaikan Skripsi penulis.
13. Teman-teman **HMJ-Fisika, HMGI, IPMI SIDRAP BKPT UIN dan Volunteer Beasiswa 10.000 Makassar**. yang telah mengajarkan banyak hal tentang organisasi.
14. Teman-teman **KKN 61 Desa Bulusirua, Kecamatan Bontocani, Kabupaten Bone**.

Sangat banyak orang yang berjasa kepada Penulis selama menempuh pendidikan di UIN Alauddin Makassar sehingga tidak sempat disebutkan namanya satu persatu. Penulis mengucapkan banyak terima kasih, semoga apa yang dilakukan bernilai ibadah disisi-Nya dan dibalas dengan yang lebih baik, Aamiin Ya Rabbal Alamin.

Penulis menyadari bahwa Skripsi ini masih banyak kekurangan baik dari segi sistematika penulisan, maupun dari segi bahasa yang termuat di dalamnya. Oleh karena itu, kritik dan saran yang bersifat membangun senantiasa penulis harapkan.

Makassar, 08 Oktober 2020

Penyusun,

Ayu Mulia Saputri
60400116011



UNIVERSITAS ISLAM NEGERI
ALAUDDIN
M A K A S S A R

DAFTAR ISI

HALAMAN JUDUL
KEASLIAN SKRIPSI.....	i
PENGESAHAN SKRIPSI.....	ii
KATA PENGANTAR.....	viii
DAFTAR ISI.....	xiii
DAFTAR TABEL.....	xv
DAFTAR GAMBAR.....	xvi
ABSTRAK	xvii
BAB I PENDAHULUAN.....	xviii
1.1. Latar Belakang	1
1.2. Rumusan Masalah	4
1.3. Tujuan Penelitian	4
1.4. Ruang Lingkup.....	4
1.5. Manfaat Penelitian	5
BAB II TINJAUAN PUSTAKA.....	6
2.1. Tanah Longsor Dalam Perspektif Al-Qur'an	6
2.2. Jenis-jenis Tanah Longsor.....	10
2.3. Gelombang Seismik	13
2.4. Geomorfologi	16
2.5. Curah Hujan	17
2.6. Sistem Informasi Heografi (SIG)	19
2.7. Porositas dan Permeabilitas.....	19
2.8. Kondisi Fisik Wilayah.....	21
2.9. Kondisi Geologi dan Litologi.....	26

BAB III METODOLOGI PENELITIAN	28
3.1. Waktu dan Tempat Penelitian	28
3.2. Alat dan Bahan	28
3.3. Parameter Data	29
3.4. Prosedur Kerja Program Arcgis	30
3.5. Diagram Alir Penelitian	31
BAB IV HASIL DAN PEMBAHASAN.....	32
4.1. Hasil Penelitian	32
4.2. Pembahasan.....	32
BAB V PENUTUP.....	46
5.1. Kesimpulan	46
5.2. Saran.....	46
DAFTAR PUSTAKA	47
BIOGRAFI PENULIS	50
LAMPIRAN.....

DAFTAR TABEL

No.	Keterangan Tabel	Halaman
2.1	Nilai Porositas Berbagai Batuan	22
2.2	Jenis Tanah di Wilayah Kabupaten Pinrang	26
4.1	Curah Hujan Kabupaten Pinrang Pada Stasiun BMKG dengan Titik Koordinat 3°42'20.2'' LS dan 119°30'48.1'' BT Pada Tahun 2018.	40
4.2	Curah Hujan Kabupaten Pinrang Pada Stasiun BMKG dengan Titik Koordinat 3°41'14.6'' LS dan 119°40'36.6'' BT Pada Tahun 2018	41
4.3	Tingkat Kerentanan Tanah Longsor Pada Desa Kaseralau	43



DAFTAR GAMBAR

No.	Keterangan Gambar	Halaman
2.1	Longsoran Translasi	11
2.2	Longsoran Rotasi	11
2.3	Pergerakan Blok	12
2.4	Runtuhan Batu	12
2.5	Rayapan Tanah	13
2.6	Aliran Bahan Rombakan	14
2.7	Ilustrasi Gelombang Primer	15
2.8	Ilustrasi Gelombang Sekunder	16
2.9	Ilustrasi Gelombang Rayleigh	16
2.10	Ilustrasi Gelombang Love	17
2.11	Porositas dan Permeabilitas	21
2.12	Peta Geologi Desa Kariango Kecamatan Lembang	28
3.1	Peta Lokasi Penelitian	30
4.1	Peta Geologi Desa Kariango	35
4.2	Peta Jenis Tanah Desa Kariango	36
4.3	Peta Kemiringan Lereng Desa Kariango	37
4.4	Peta Geomorfologi Desa Kariango	38
4.5	Peta Curah Hujan Desa Kariango	39
4.6	Peta Rawan Longsor Desa Kariango	42
4.7	Hasil Penampakan Tanah Longsor	45

ABSTRAK

NAMA : AYU MULIA SAPUTRI

NIM : 60400116011

**JUDUL SKRIPSI : MENGIDENTIFIKASI DAERAH RAWAN LONGSOR
MENGUNAKAN APLIKASI SISTEM INFORMASI
GEOGRAFIS (GIS) DI DESA KECAMATAN
LEMBANG KABUPATEN PINRANG**

Penelitian ini dilakukan di Desa Kariango Kecamatan Lembang Kabupaten Pinrang. Penelitian ini bertujuan untuk mengaplikasikan system informasi geografis (*SIG*) dalam pembuatan peta rawan longsor di desa Kariango Kecamatan Lembang Kabupaten Pinrang. Metode pengolahan data yang digunakan adalah menggunakan *software Arcgis* untuk pemetaannya. Dalam pemetaannya diperlukan parameter seperti geologi, kemiringan lereng, geomorfologi, curah hujan, dan jenis tanah. Luas daerah penelitian 733,36 Km², berdasarkan hasil yang diperoleh menggunakan perangkat lunak *SIG* diperoleh tingkat kerawanan longsor di Desa Kariango Kecamatan Lembang Kabupaten yaitu untuk tingkat kerawanan rendah dengan presentase penyebaran sebesar 9%, untuk tingkat kerawanan sedang dengan persentase penyebaran sebesar 42%, dan untuk kerawanan tinggi dengan persentase penyebaran sebesar 50%. Berada pada titik koordinat koordinat 3°29'24,54" LS dan 119°37'57,11" BT daerah penelitian. Data ini diperkuat dengan adanya data *SIG* berupa kondisi geologi, curah hujan, kemiringan lereng, geomorfologi, jenis tanah serta hasil survey berupa foto.

Kata Kunci: *SIG, Tanah Longsor, Software Arcgis*

ABSTRACT

NAME : AYU MULIA SAPUTRI

NIM : 60400116011

THESIS TITLE : **IDENTIFYING AREA USING INFORMATION SYSTEM APPLICATIONS GEOGRAPHIC (GIS) IN THE VILLAGE LEMBANG SUB-OFDISTRICT, PINRANG DISTRICT**

This research was conducted in Kariango village Lembang District Pinrang Regency. This research aims to apply geographic information systems (*GIS*) in the *creating* of landslide prone maps in Kariango village Lembang district Pinrang regency. The data processing method used is to *use Arcgis software* for in mapping. In its mapping it takes parameters such as geology, slope, geomorphology, precipitation, and soil types. The area of research area is 733,36 Km², based on the results obtained from the data of the research result using GIS software obtained landslide inwantage level in Kariango Village Lembang District Pinrang Regency which is for low inewant rate with a spread of 9%, for moderate inewant rate with a spread of 42%, and for high inewanation with a percentage of 50%. It is at coordinates of 3°29'24,54" S and 119°37'57,11" E. This data is reinforced by the data of form of geological conditions, rainfall, slope, geomorphology, soil types and survey results in the form of photos.

Keywords: *Landslides, Arcgis Software, GIS*

UNIVERSITAS ISLAM NEGERI
ALAUDDIN
MAKASSAR

BAB I

PENDAHULUAN

1.1 Latar Belakang

Salah satu wilayah di Indonesia yang rawan akan adanya pergerakan tanah yaitu di daerah Sulawesi Selatan kabupaten Pinrang. Kabupaten Pinrang terletak pada daerah yang memiliki topografi dengan ketinggian 0 sampai dengan 2600 meter diatas permukaan laut. Di kabupaten Pinrang memiliki 12 kecamatan, 65 desa, 39 kelurahan, dan luas 1941.67 Km². Berdasarkan posisi dan letak geografi wilayah, desa Kariango kecamatan Lembang terletak pada titik koordinat 3°29'24,54" LS dan 119°37'57,11" BT dengan ketinggian 2 - 1908 mdpl. Kecamatan Lembang memiliki 14 desa dan 2 kelurahan dengan luas wilayah 733,36 Km². Jumlah penduduk pada tahun 2019 di kecamatan Lembang sebanyak 48.323 jiwa. Dimana aktivitas masyarakat secara umum bekerja sebagai petani, peternak, dan pedagang. Kondisi geologi dan litologi di kecamatan Lembang, intensitas curah hujan yang cukup lebat, memiliki jenis tanah podsolik, jenis batuan gunung api, batu berpasir dan batu gamping.

Menurut Badan Nasional Penanggulangan Bencana (BNPB, 2019) menyebutkan bahwa pada daerah Sulawesi Selatan selama tahun 2019 terdapat 88 kejadian bencana. Sebanyak 97% dari kasus tersebut adalah bencana

hidrometeorologi yang di dominasi oleh banjir, tanah longsor, dan puting beliung. Sepanjang tahun 2019 terjadi 28 bencana banjir, 11 bencana tanah longsor, dan 45 bencana puting beliung.

Kecamatan Lembang merupakan wilayah yang memiliki tingkat rawan pergerakan tanah dari rendah hingga cukup tinggi. Seringnya longsor di daerah ini dapat menyebabkan banyak kerugian seperti terhambatnya kegiatan ekonomi, rusaknya infrastruktur dan terganggunya jalur transportasi. Untuk mengetahui pergerakan tanah di daerah ini, diperlukan pengetahuan mendalam mengenai pergerakan tanah di kecamatan Lembang.

Berdasarkan penelitian yang telah dilakukan oleh Irma Suriani (2017: 54-56) tentang “Identifikasi Daerah Rawan Longsor di kecamatan Maros dengan Menggunakan *Software Arcgis*”, menunjukkan bahwa daerah tersebut telah memiliki tingkat kerawanan longsor dengan empat identifikasi yaitu rendah, sedang, tinggi dan sangat tinggi. Daerah yang memiliki rawan longsor kategori rendah adalah daerah Sawaru 20%, Pattanyamang 20%, Benteng 22%, Timpuseng 23%, Pattirodeceng 43%, Cenrana 47%, Cempaniga 51%, Mario Pulana 68%, sedangkan kategori sangat tinggi adalah daerah Mario Pulana 15%, Sawaru 33%, Timpuseng 17%, Pattirodeceng 7%, Cempaniga 16%, Pattanyamang 10%, Cenrana 23%, dan Benteng 8%. Berdasarkan penelitian tersebut bahwa dengan menggunakan *Software Arcgis* maka dapat dilakukan identifikasi daerah rawan longsor dengan data yang diperoleh adalah data curah hujan, kondisi geologi, jenis tanah, geomorfologi, dan data kemiringan lereng.

Sistem Informasi Geografis yaitu suatu sistem informasi yang berbasis komputer untuk menganalisis, menyimpan dan mengolah data yang tereferensi secara spasial atau koordinat-koordinat geografi. SIG juga tersusun atas konsep beberapa lapisan (*Layer*) dan relasi. Adapun kemampuan dasar SIG yaitu mengintegrasikan berbagai operasi basis data seperti *query*, menampilkan dan menganalisis dalam bentuk pemetaan berdasarkan letak geografisnya. Karena menggunakan Sistem Informasi Geografis dapat terlihat penampakan yang ada di permukaan bumi, hal ini seperti yang dilakukan oleh peneliti sebelumnya dengan memanfaatkan Sistem Informasi Geografis untuk mengidentifikasi daerah rawan longsor di kecamatan camba kabupaten maros.

Berdasarkan penelitian sebelumnya tentang pemetaan daerah rawan longsor menggunakan Sistem Informasi Geografis (SIG) yang dilakukan oleh Adhitama Rachman (2017: 164) yang berjudul “Pemetaan Daerah Rawan Longsor dengan Menggunakan Sistem Informasi Geografis Studi Kasus kabupaten Bondowoso, menunjukkan bahwa daerah tersebut telah memiliki tingkat kerawanan longsor dengan tiga indikasi yaitu tidak rawan, rawan, dan sangat rawan. Daerah yang rawan terkena longsor adalah Telogosari, Wringin, Tegalampel, Pakem, dan Maesan.

Berdasarkan penelitian tersebut bahwa dengan menggunakan Sistem Informasi Geografis (SIG) setiap data yang digunakan diberi pembobotan yang berbeda-beda dikarenakan setiap data mempunyai daya pengaruh yang berbeda-beda. Data yang digunakan dalam pembuatan peta ini adalah nilai kelerengan, curah hujan dan peta geologi.

Berdasarkan uraian di atas, maka dilakukan penelitian dengan judul **“Identifikasi Daerah Rawan Longsor Menggunakan Aplikasi Sistem Informasi Geografis (GIS) di Desa Kariango Kecamatan Lembang Kabupaten Pinrang”**.

1.2 Rumusan Masalah

Berdasarkan latar belakang yang telah diuraikan di atas, maka rumusan masalah yang diteliti adalah bagaimana mengidentifikasi daerah rawan longsor menggunakan aplikasi Sistem Informasi Geografis (GIS) di desa Kariango kecamatan Lembang kabupaten Pinrang?

1.3 Tujuan Penelitian

Tujuan yang dicapai dengan adanya penelitian ini adalah untuk mengidentifikasi daerah rawan longsor menggunakan Aplikasi Sistem Informasi Geografis (GIS) di desa Kariango kecamatan Lembang kabupaten Pinrang.

1.4 Ruang Lingkup Penelitian

Ruang lingkup penelitian ini adalah:

- a. Penelitian ini berada di desa Kariango kecamatan Lembang kabupaten Pinrang dengan titik koordinat $43^{\circ}29'24,54''$ LS dan $119^{\circ}37'57,11''$ BT dengan ketinggian 2 - 1908 mdpl.
- b. Untuk nilai parameter yang digunakan pada daerah rawan longsor berdasarkan karakteristik fisik berupa kondisi geologi, jenis tanah, curah hujan, geomorfologi, dan kemiringan lereng pada daerah tersebut.
- c. Data yang digunakan adalah data sekunder berupa data curah hujan yang diperoleh dari Badan Pusat Statistik Kabupaten Pinrang 2018.

- d. Data yang digunakan adalah data sekunder berupa data kondisi geologi, jenis tanah, geomorfologi, dan kemiringan lereng yang diperoleh dari Pokja AMPL kabupaten Pinrang 2018 dan data Demnas dari Indonesia Geospasial 2018.

1.5 Manfaat Penelitian

Manfaat yang dicapai dari penelitian ini adalah sebagai berikut:

1.5.1 Manfaat Bagi Akademik

Penelitian ini berguna untuk dapat dijadikan sebagai dasar atau referensi untuk peneliti selanjutnya dan juga mengetahui tingkat kerentanan seismik wilayah akan adanya gerakan tanah (longsor).

1.5.2 Manfaat Bagi Masyarakat dan Pemerintah

Penelitian ini berguna untuk memberikan informasi dini kepada masyarakat mengenai struktur batuan daerah pergerakan tanah (longsor), sehingga masyarakat dapat melakukan antisipasi sebelumnya, dan untuk pemerintah berguna untuk melakukan perancangan dan penataan daerah yang dilakukan pemerintah.

BAB II

TINJAUAN PUSTAKA

2.1 Tanah Longsor Dalam Perspektif Al-Qur'an

Tanah longsor secara umum adalah suatu peristiwa geologi dimana terjadi pergerakan tanah seperti jatuhnya bebatuan atau gumpalan besar tanah. Pada prinsipnya, tanah longsor terjadi ketika gaya pendorong pada lereng lebih besar daripada gaya penahan. Gaya penahan umumnya dipengaruhi oleh kekuatan batuan dan kepadatan tanah, sedangkan gaya pendorong dipengaruhi oleh besarnya kemiringan lereng, air, beban serta berat jenis tanah batuan. Ketika air meresap hingga lapisan kedap air atau bidang gelincir, maka bidang gelincir tersebut menjadi licin dan tanah lapuk di atasnya akan bergerak mengikuti lereng dan luar lereng. Gejala umum tanah longsor ditandai dengan munculnya retakan-retakan di sekitar lereng yang sejajar dengan arah tebing serta munculnya air secara tiba-tiba setelah terjadi hujan dan kemudian tebing rapuh atau kerikil mulai berjatuhan (Nandi, 2007).

Islam mengajarkan kepada umat-Nya agar selalu memelihara kelestarian lingkungan alam. Untuk memelihara dan melestarikan lingkungan hidup banyak upaya yang bisa dilakukan, seperti rehabilitas Sumber Daya Alam berupa hutan, tanah dan air yang rusak perlu ditingkatkan lagi serta mengadakan reboisasi. Karena perbuatan yang dilakukan manusia sehingga timbullah musibah yang diperoleh oleh manusia sebagaimana dijelaskan pada Surah Ar-rum/30:41

ظَهَرَ هَرَفُ الْفَسَادِ فِي الْبَرِّ وَالْبَحْرِ بِمَا كَسَبَتْ أَيْدِي النَّاسِ لِيُذِيقَهُمْ بَعْضَ الَّذِي يَرْجِعُونَ ﴿٤١﴾

Terjemahnya:

“telah nampak kerusakan di darat dan di laut disebabkan karena perbuatan tangan manusia, supaya Allah merasakan kepada mereka sebahagian dari (akibat) perbuatan mereka, agar mereka kembali (ke jalan yang benar)”(Kementrian Agama RI).

Menurut Quraisy Shihab ayat diatas menjelaskan bahwa Allah telah melaksanakan ketetapan-Nya dan berkata, “telah nampak kerusakan di darat seperti kekeringan, paceklik, hilangnya rasa aman, dan di laut seperti ketertenggelaman, kekurangan hasil laut dan sungai, disebabkan karena perbuatan tangan manusia yang durhaka, sehingga akibatnya allah mencicipkan yakni merasakan sedikit kepada mereka sebagian dari akibat perbuatan dosa dan pelanggaran mereka, agar mereka kembali ke jalan yang benar.” (Shihab, 2002).

Dari penjelasan di atas dapat disimpulkan bahwa “ kerusakan di darat dan di laut di sebabkan karena perbuatan tangan manusia” karena itu maka melakukan identifikasi terhadap daerah-daerah rawan longsor. Mengidentifikasi daerah rawan longsor merupakan salah satu kebaikan yang dapat bermanfaat bagi diri sendiri dan masyarakat karena dapat mencegah bahaya yang diakibatkan oleh tanah longsor. Kebaikan yang dilakukan pada dasar ini untuk diri sendiri. Firman allah dalam QS Al-Isra/17:7

إِنْ أَحْسَنْتُمْ أَحْسَنْتُمْ لِأَنْفُسِكُمْ^ط وَإِنْ أَسَأْتُمْ فَلَهَا^ع فَإِذَا جَاءَ وَعْدُ الْآخِرَةِ لِيَسْتَوْأَوْ^ط وَجُوهَكُمْ

وَلْيَدْخُلُوا الْمَسْجِدَ كَمَا دَخَلُوهُ أَوَّلَ مَرَّةٍ وَلِيُتَبَرُوا مَا عَلَوْا تَتْبِيرًا ﴿٧﴾

Terjemahnya:

“Jika kamu berbuat baik (berarti) kamu berbuat baik bagi dirimu sendiri dan jika kamu berbuat jahat, Maka (kejahatan) itu bagi dirimu sendiri, dan apabila datang saat hukuman bagi (kejahatan) yang kedua, (kami datangkan orang-orang lain) untuk menyuramkan muka-muka kamu dan mereka masuk ke dalam mesjid, sebagaimana musuh-musuhmu memasukinya pada kali pertama dan untuk membinasakan sehabis-habisnya apa saja yang mereka kuasai.”

Menurut Quraisy Shihab menjelaskan jika kalian berbuat baik yakni taat serta mengikuti tuntunan Allah dan Rasul-Nya, maka itu berarti kamu berbuat baik bagi diri kamu sendiri dan jika kamu berbuat jahat maka bagi diri kamu sendiri juga, dan apabila datang saat hukuman bagi kejahatan yang kedua yang kamu lakukan dari kedua kejahatan yang telah kami tetapkan dalam al-Kitab itu, kami datangkan orang-orang lain untuk menyiksa, membunuh dan menghina kamu sehingga akhirnya bekas dan dampak buruk apa yang mereka lakukan itu menyuramkan wajah-wajah kamu akibat kesedihan dan penderitaan yang kamu dan keluarga kamu alami (Shihab, 2002).

Dari penjelasan dapat dipahami bahwa mengidentifikasi tanah rawan longsor merupakan suatu kebaikan karena dampaknya bukan hanya pada diri tetapi juga kepada masyarakat karena untuk dapat terhindar dari bencana akibat tanah longsor. Tanah longsor secara umum adalah perpindahan material pembentuk lereng berupa batuan, bahan rombakan, tanah, bergerak ke bawah atau keluar lereng. Secara geologi tanah longsor adalah suatu peristiwa geologi dimana terjadi pergerakan tanah seperti jatuhnya bebatuan atau gumpalan tanah. (Nandi.2007).

tanda-tanda awal dari longsor adalah adanya retakan di bagian atas lereng yang relatif tegak lurus arah gerakan. Retakan ini bila tidak segera ditutup, saat hujan akan terisi air yang berakibatkan selain melunakkan tanah, juga menambah gaya horizontal yang memicu longsor. Untuk memahami suatu longsor, maka perlu diketahui bagian-bagian pada geometri suatu longsor untuk upaya pencegahan dan penanggulangan longsor (Fadly Achmad, 2010: 3).

2.1.1 Pemicu Terjadinya Tanah Longsor

Menurut (Pramumijoyo dan Karnawati, 2008: 8), gangguan yang merupakan pemicu terjadinya tanah longsor merupakan proses alamiah atau non alamiah ataupun keduanya, yang secara aktif mempercepat proses hilangnya kestabilan pada suatu lereng. Secara umum gangguan yang memicu terjadinya tanah longsor dapat berupa:

a. Hujan

Hujan pemicu gerakan tanah adalah hujan yang mempunyai curah tertentu dan berlangsung selama periode waktu tertentu, sehingga air yang dicurahkan dapat meresap ke dalam lereng dan mendorong massa tanah untuk longsor.

b. Getaran

Getaran memicu longsor dengan cara melemahkan atau memutuskan hubungan antar butir partikel-partikel penyusun tanah/ batuan pada lereng. Jadi getaran berperan dalam menambah gaya penggerak dan sekaligus mengurangi gaya penahan. Contoh getaran yang memicu longsor adalah getaran gempa bumi yang diikuti dengan peristiwa *liquefaction*.

c. Aktivitas manusia

Selain disebabkan oleh faktor alam, pola penggunaan lahan juga berperan penting dalam memicu terjadinya longsor. Pembukaan hutan secara sembarangan, penanaman jenis pohon yang terlalu berat dengan jarak tanam terlalu rapat, pemotongan tebing/ lereng untuk jalan dan pemukiman merupakan pola penggunaan lahan yang dijumpai di daerah yang longsor.

2.2 Jenis-Jenis Tanah Longsor

Menurut (ESDM, 2007: 2) Ada enam jenis tanah longsor, yakni: longoran translasi, longoran rotasi, pergerakan blok, runtuhuan batu, rayapan tanah, dan aliran bahan rombakan. Jenis longoran translasi dan rotasi paling banyak terjadi di Indonesia. Sedangkan longoran yang paling banyak memakan korban jiwa manusia adalah aliran bahan rombakan.

1. Longoran translasi

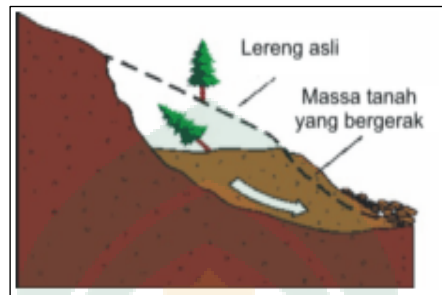
Longoran translasi adalah Bergeraknya massa tanah dan batuan pada bidang gelincir berbentuk rata atau menggelombang landai.



Gambar 2.1 Model Longoran Translasi (ESDM, 2007: 3).

2. Longsoran Rotasi

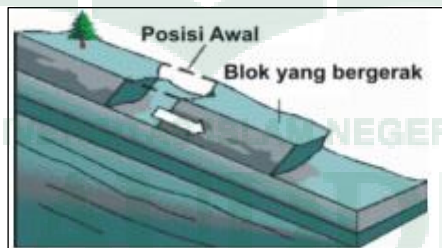
Longsoran rotasi adalah Bergeraknya massa tanah dan batuan pada bidang gelincir berbentuk cekung.



Gambar 2.2 Model Longsoran Rotasi (ESDM, 2007: 3).

3. Pergerakan Blok

Pergerakan blok adalah perpindahan batuan yang bergerak pada bidang gelincir berbentuk rata. Longsoran ini disebut juga longsoran translasi blok batu.



Gambar 2.3 Model Pergerakan Blok (ESDM, 2007: 3).

4. Runtuhan Batu

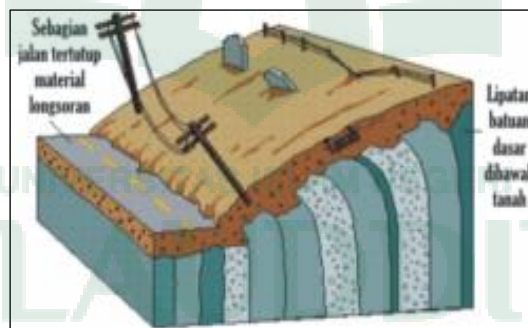
Runtuhan batu terjadi ketika batuan atau material lain bergeser ke bawah dengan cara jatuh bebas. Umumnya terjadi pada lereng yang terjal hingga menggantung terutama di daerah pantai. Batu-batu besar yang jatuh dapat menyebabkan kerusakan yang parah.



Gambar 2.4 Model Runtuhan Batu (ESDM, 2007: 3).

5. Rayapan Tanah

Rayapan tanah adalah jenis tanah longsor yang bergerak lambat. Jenis tanahnya berupa butiran kasar dan halus. Jenis tanah longsor ini hampir tidak dapat dikenali. Setelah waktu yang cukup lama longsor jenis rayapan ini bisa menyebabkan tiang-tiang telepon, pohon, atau rumah miring ke bawah.

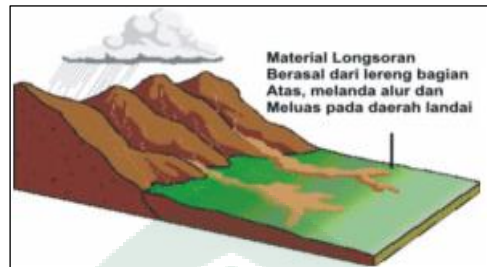


Gambar 2.5 Model Rayapan Tanah (ESDM, 2007: 4).

6. Aliran Bahan Rombakan

Jenis longsor ini terjadi ketika massa tanah bergerak didorong oleh air. Kecepatan aliran tergantung pada kemiringan lereng, volume dan tekanan air, dan jenis materialnya. Gerakannya terjadi di sepanjang lembah dan mampu mencapai ratusan meter jauhnya. Di beberapa tempat bisa sampai ribuan meter seperti di

daerah aliran sungai di sekitar gunung api. Aliran tanah ini dapat menelan korban cukup banyak.



Gambar 2.6 Model Aliran Bahan Rombakan (ESDM, 2007: 4).

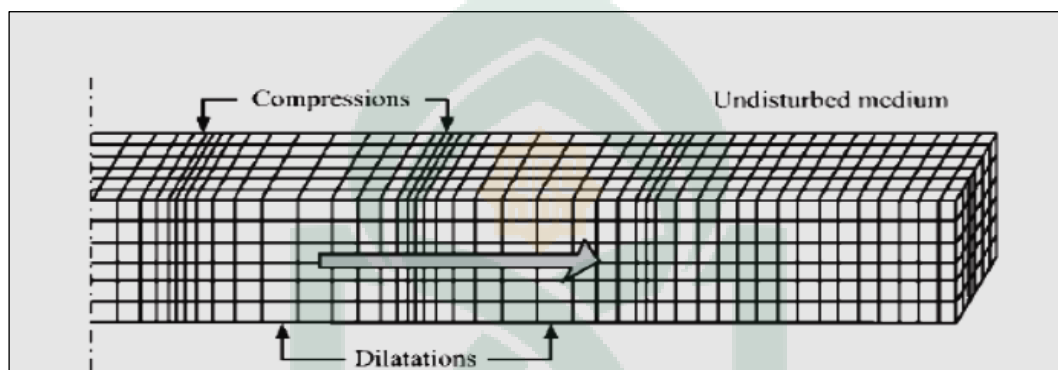
2.3 Gelombang Seismik

Gelombang seismik merupakan gelombang yang menjaalar di dalam bumi disebabkan adanya deformasi struktur di bawah bumi akibat adanya tekanan ataupun tarikan karena sifat keelastisan kerak bumi. Gelombang ini membawa energi kemudian menjalar ke segala arah di seluruh bagian bumi dan mampu dicatat oleh seismograf (Elnashai dan Sarno, 2008: 2).

Gelombang seismik dibedakan menjadi 2 (dua) jenis yaitu gelombang pusat (*body wave*) dan gelombang permukaan (*surface wave*). Gelombang pusat menjalar di dalam bumi sedangkan gelombang permukaan menjalar di permukaan bumi. Gelombang pusat ada 2 (dua) yaitu terdiri dari gelombang P (*pressure wave*), gelombang S (*shear wave*), dan untuk gelombang permukaan juga terdiri atas 2 gelombang yaitu gelombang *Love* dan gelombang *Rayleigh*. Kedua jenis gelombang seismik ini memiliki masing-masing dua macam jenis gelombang, dan dijelaskan sebagai berikut:

2.3.1 Gelombang Primer (P)

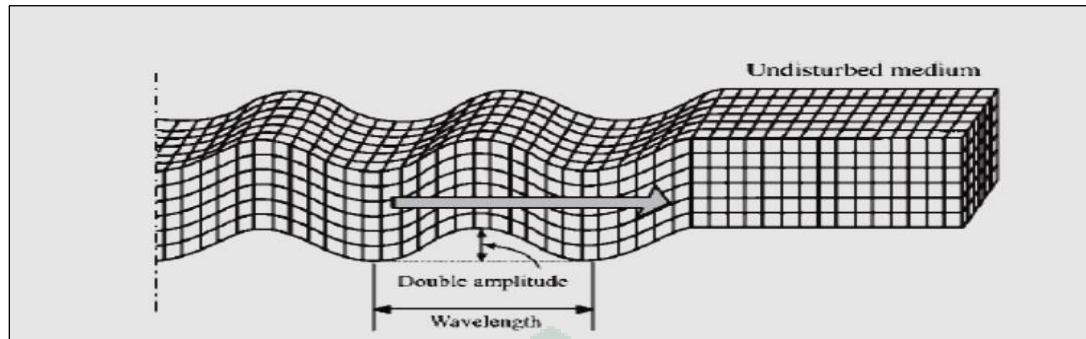
Gelombang primer atau biasa disebut gelombang tekanan, dapat merambat di media padat dan cair. Semakin keras media padat yang dilewati, maka semakin cepat pula rambatannya. Gelombang P memiliki gerak yang dapat diilustrasikan seperti pada Gambar 2.7. Penjalaran gelombang melalui medium padat, cair, maupun gas.



Gambar 2.7 Ilustrasi Gelombang Primer (Elnashai dan Sarno, 2008: 3).

2.3.2 Gelombang Sekunder (S)

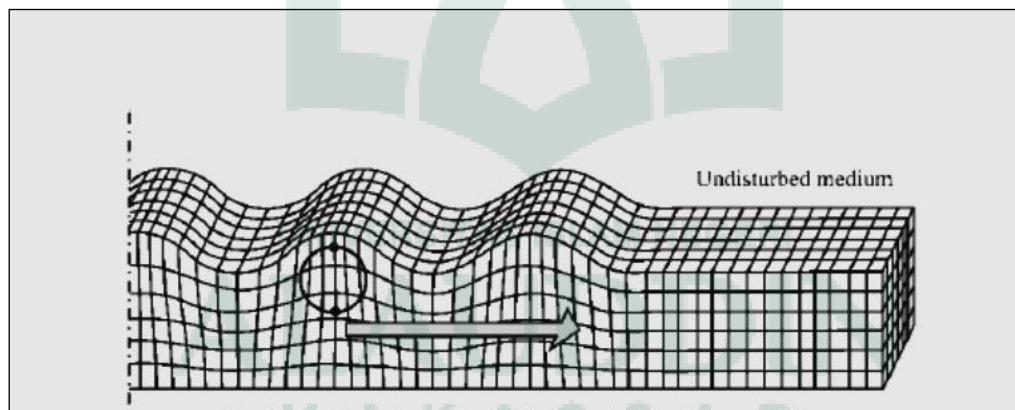
Gelombang Sekunder atau biasa disebut gelombang geser, adalah getaran partikel batuan yang merambat dengan cara menembus batuan seperti lecutan cemetyang tegak lurus dengan arah perambatan gelombang. Gelombang ini memiliki arah yang tegak lurus terhadap arah rambatnya seperti ilustrasi yang ada pada Gambar 2.8.



Gambar 2.8 Ilustrasi gelombang Sekunder (Elnashai dan Sarno, 2008: 2).

2.3.2 Gelombang *Rayleigh*

Gelombang *Rayleigh* mempunyai gerakan partikel yang menyerupai elips dan tegak lurus dengan arah penjalaran dan permukaannya. Kecepatan gelombang *Rayleigh* lebih kecil dari V_s dan bergantung pada konstanta elastik.

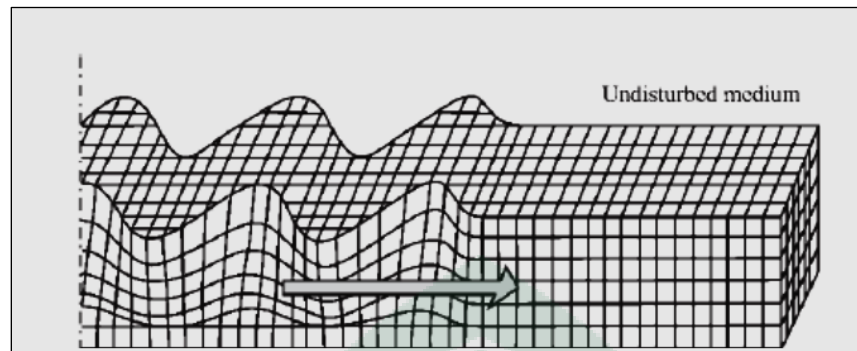


Gambar 2.9 Ilustrasi Gelombang *Rayleigh* (Elnashai dan Sarno, 2008: 4).

2.3.3 Gelombang *Love*

Gelombang *love* adalah gelombang dengan arah gerakan partikel berada pada sumbu horizontal dan tidak menyebabkan perpindahan pada sumbu vertikal. Gerakan partikel medium mirip dengan gerakan pada gelombang Sekunder. Kecepatan penjalarannya bervariasi di sepanjang permukaan dan bergantung pada

panjang gelombangnya. Ilustrasi gelombang *love* ditunjukkan pada gambar 2.10.



Gambar 2.10 Ilustrasi Gelombang *Love* (Elnashai dan Sarno, 2008: 4).

2.4 Geomorfologi

Definisi dari Geomorfologi yaitu sebagai ilmu yang dapat membicarakan tentang bentuk lahan yang mengukir permukaan bumi, menekan cara pembentukannya serta konteks kelingkungannya. Objek kajian geomorfologi yaitu bentuk lahan yang tersusun pada permukaan bumi yang ada di daratan maupun pada dasar laut, yang dipelajari dengan menekankan pada proses pembentukan dan perkembangan pada masa yang akan datang, serta konteks lingkungannya (Puguh Dwi Raharjo, 2013: 168).

Menurut (Iskandar, 2008: 3), manfaat peta geomorfologi yaitu untuk mempelajari masalah-masalah penggunaan lahan secara ekstensif, untuk inventarisasi lahan pertanian, dan sebagai dasar untuk mengembangkan peta terhadap penggunaan yang lebih bervariasi. Peta geomorfologi juga dapat digunakan untuk menyusun rencana dalam tata ruang sesuai dengan kondisi fisik lingkungan setempat, sehingga diharapkan dapat memberikan kontribusi bagi peningkatan kehidupan masyarakat yang lebih baik.

Kondisi geomorfologi yang dimiliki suatu daerah merupakan sumberdaya alam. Salah satu sumberdaya alam adalah sumberdaya lahan, pemanfaatan sumberdaya lahan yang seoptimal, namun perlu diupayakan agar tidak terjadi kerusakan pada lahan tersebut. Data mengenai sumberdaya lahan sangat diperlukan untuk dapat memanfaatkan potensi sumberdaya lahan secara optimal. Informasi mengenai kondisi geomorfologi pada suatu daerah merupakan dasar utama dalam penyusunan pengolahan lahan (Iskandar, 2008: 2).

2.5 Curah Hujan

Curah hujan didefinisikan sebagai tinggi air hujan (dalam mm) yang diterima di permukaan sebelum mengalami aliran permukaan, perembesan ke dalam tanah, dan evaporasi. Jumlah hari hujan dibatasi oleh jumlah hari dengan tinggi curah hujan 0,5 mm atau lebih. Jumlah hari jumlah yang dapat dinyatakan per minggu, decade, bulan, tahun dan satu periode tanam. Sedangkan jumlah curah hujan dicatat dalam millimeter atau inci (1 inci = 25,4 mm). jumlah curah hujan 1 mm, menunjukkan tinggi air hujan yang menutupi permukaan bumi 1 mm, jika air tersebut tidak meresap ke dalam tanah atau menguap ke atmosfer (Eddy Hermawan, 2009: 416).

Menurut (Eddy Hermawan, 2009: 416), hujan merupakan unsur iklim yang paling penting di Indonesia karena keragamannya sangat tinggi baik menurut waktu maupun tempat. Sehingga kajian tentang iklim lebih banyak diarahkan kepada hujan. Hujan yaitu salah satu bentuk dari presipitasi. Presipitasi merupakan uap yang mengondensasikan dan jatuh ke tanah dalam rangkaian proses siklus hidrologi.

Hujan terjadi karena adanya siklus air atau siklus hidrologi, tepatnya siklus hidrologi sedang.

Jumlah hujan yang jatuh di suatu daerah selama waktu tertentu disebut juga dengan curah hujan. Untuk mengukur besarnya curah hujan, digunakan alat yang disebut penakar hujan (*rain gauge*). Alat ini merupakan alat yang terdiri dari corong dan tabung penampung. Curah hujan diukur dalam skala millimeter (mm) atau sentimeter (cm) (Suripin, 2004).

Menurut (Yerison Demu Ratu, 2012: 24-25), dari pengukuran curah hujan akan didapatkan beberapa data yang kemudian diolah menjadi tiga jenis hasil pengukuran seperti berikut:

- a. Jumlah curah hujan harian, yaitu hasil pengukuran hujan selama 24 jam.
- b. Jumlah curah hujan bulanan, yaitu jumlah total curah hujan harian selama sebulan.
- c. Jumlah curah hujan tahunan, yaitu jumlah total curah hujan harian selama 12 bulan.

2.6 Sistem Informasi Geografi (SIG)

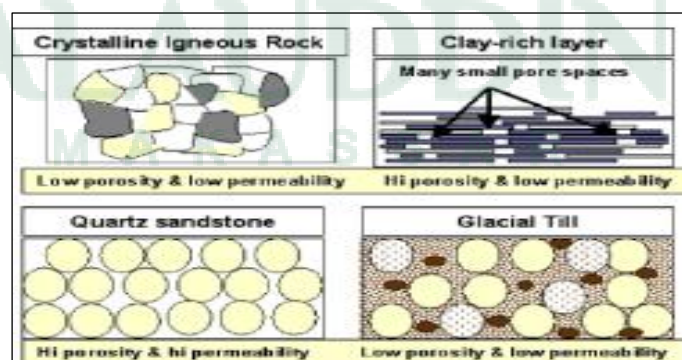
Sistem Informasi Geografis (SIG) Yaitu sistem komputer yang digunakan untuk memeriksa, mengumpulkan, mengintegrasikan, dan menganalisis informasi yang berhubungan dengan permukaan bumi. Pada dasarnya, istilah Sistem Informasi Geografis adalah gabungan dari 3 unsur pokok yaitu sistem, informasi, dan geografi. Dengan demikian, pengertian dari tiga unsur pokok ini sangat membantu dalam memahami Sistem Informasi Geografi (Indra Kanedi, 2015). Sig merupakan sebuah

sistem yang dirancang untuk bekerja dengan data yang bereferensi spasial atau berkoordinat geografis (Rafli Setiadi, 2016: 3-4).

Menurut (Todingan, 2014: 3), SIG adalah suatu sistem yang mempunyai kemampuan analisis terhadap data spasial untuk keperluan manipulasi maupun permodelan. Fungsi analisis dijalankan memakai data spasial dan data atribut dalam SIG untuk menjelaskan berbagai hal yang dikembangkan dari data yang akan menjadi suatu persoalan yang relevan.

2.7 Porositas dan Permeabilitas

Porositas merupakan perbandingan antar ruang kosong dengan seluruh volume batuan atau sedimen yang dinyatakan dalam persen. Porositas menentukan banyaknya air yang dapat dikandung dalam batuan. Porositas dipengaruhi oleh besar dan bentuk butir material penyusun batuan tersebut, susunan butiran-butiran dan ukuran pori.



Gambar 2.11 Porositas dan Permeabilitas (Rahma Hi. Manrulu, dkk, 2018: 9)

Porositas merupakan angka tak berdimensi biasanya diwujudkan dalam bentuk persentase. Umumnya untuk tanah normal mempunyai porositas berkisar antara 25%-75%, sedangkan untuk batuan yang terkonsolidasi berkisar 0%- 10%. Material berbutir halus mempunyai porositas yang lebih besar dibandingkan dengan tanah berbutir kasar. Porositas pada material seragam lebih besar dibandingkan material beragam. Porositas dapat dibagi menjadi dua yaitu porositas primer dan porositas sekunder. Porositas primer yaitu porositas yang ada sewaktu bahan tersebut terbentuk sedangkan porositas sekunder dihasilkan oleh retakan-retakan dan alur yang terurai. Pori-pori merupakan ciri batuan sedimen klastik dan bahan butiran lainnya. Pori berukuran kapiler dan membawa air yang disebut air pori. Permeabilitas juga sangat berpengaruh pada aliran dan jumlah air tanah. Permeabilitas merupakan kemampuan batuan atau tanah untuk melewatkan atau meloloskan air melalui suatu media poros. Permeabilitas tergantung pada faktor-faktor seperti besarnya rongga-rongga dan derajat hubungan antar rongga. Batuan yang porositasnya rendah umumnya permeabilitasnya tinggi, karena besarnya hubungan antar rongga sangat menentukan. Tabel 2.1 memperlihatkan porositas dan permeabilitas berbagai batuan (Rahman Hi.Manrulu, dkk, 2018: 9).

Tabel 2.1 Nilai Porositas Berbagai Batuan

Batuan	Porositas (%)	Permeabilitas (cm/jam)
Lempung	45 – 55	0,0005

Pasir	35 – 40	50
Kerikil	30 – 40	5.000
Pasir dan kerikil	20 – 35	500
Batu pasir	10 – 20	5
SSerpilh	1 – 10	0,0005
Batu gamping	1 – 10	33,93
Cadas / tuf	-	0,83

Sumber: Rahman Hi.Manrulu, dkk, 2018: 10).

2.8 Kondisi Fisik Wilayah

Menurut Pokja AMPL kabupaten Pinrang (2015: 12), kondisi topografi kabupaten Pinrang memiliki rentang yang cukup lebar, mulai dari datarn dengan ketinggian 0 m di atas permukaan laut hingga dataran yang memiliki ketinggian di atas 1000 m di atas permukaan laut (dpl). Dataran yang terletak pada ketinggian 1000 mdpl sebagian besar terletak di bagian tengah hingga utara kabupaten Pinrang terutama pada daerah yang berbatasan dengan kabupaten Toraja. Klasifikasi ketinggian/ topografi di kabupaten Pinrang dapat dikelompokkan sebagai berikut:

1. Ketinggian 0 – 100 mdpl

Wilayah yang termasuk ke dalam daerah ketinggian ini sebagian besar terletak di wilayah pesisir yang meliputi beberapa wilayah kecamatan yakni kecamatan Mattiro Sompe, Lanrisang, Watang Sawito, Tiroang, Patampanua dan kecamatan Cempa.

2. Ketinggian 100 – 400 mdpl

Wilayah yang termasuk ke dalam daerah dengan ketinggian ini meliputi beberapa wilayah kecamatan yakni kecamatan Suppa, Mattiro Bulu, dan kecamatan Paleteang.

3. Ketinggian 400 – 1000 mdpl

Wilayah yang termasuk ke dalam klasifikasi ketinggian ini sebagian kecil wilayah meliputi kecamatan Duampanua.

4. Ketinggian di atas 1000 mdpl

Wilayah yang termasuk ke dalam klasifikasi ketinggian ini terdiri dari sebagian kecamatan Lembang dan Batulappa.

Menurut Pokja AMPL kabupaten Pinrang (2015: 12), kondisi topografi kabupaten Pinrang juga dapat dikelompokkan berdasarkan kemiringan lereng yang terdiri dari:

1. Kemiringan 0 – 3 %

Wilayah ini memiliki lahan yang relative datar yang sebagian besar terletak di kawasan pesisir meliputi wilayah kecamatan Mattiro Sompe, Lanrisang, Watang Sawito, Tiroang, Patampanua dan kecamatan Cempa.

2. Kemiringan 3 – 8 %

Wilayah ini memiliki permukaan datar yang relative bergelombang. Wilayah yang memiliki karakteristik topografi demikian terdiri dari dari kecamatan Suppa, Mattiro Bulu, Batulappa dan kecamatan Paleteang.

3. Kemiringan 8 – 45 %

Wilayah ini memiliki permukaan yang bergelombang sampai agak curam. Wilayah yang memiliki karakteristik topografi seperti ini adalah wilayah kecamatan Duampanua.

4. Kemiringan > 45 %

Wilayah ini memiliki permukaan curam yang bergunung – gunung. Wilayah yang memiliki karakteristik topografi ini meliputi wilayah – wilayah kaki pegunungan seperti kecamatan Lembang.

Menurut Pokja AMPL kabupaten Pinrang (2015: 13), kondisi Geologi wilayah kabupaten Pinrang dari hasil pengamatan dan komplikasi Peta Geologi kabupaten Pinrang, maka susunan lapisan batuan dapat diuraikan sebagai berikut:

1. Endapan alluvial dan sungai, Endapan alluvial dan sungai mempunyai ketebalan antara 100 – 150 meter, terdiri dari lempung, lanau, pasir dan kerikil. Pada umumnya endapan lapisan ini mempunyai kelulusan air yang bervariasi dan kecil hingga tinggi. Potensi air tanah dangkal cukup besar tetapi sebagian wilayah kualitasnya kurang baik. Muka air tanah dangkal 1 – 1,50 meter.
2. Batuan gunung api tersusun atas breksi dengan komponen bersusun andesit dan trahit, tufa batu apung, batu pasir terfaan, konglomerat dan breki terfaan, ketebalannya berkisar 500 meter, penyebarannya dibagian utara kota Pinrang, sekitar Bulu Lemo, Bulu Pakoro sedangkan dibagian selatan sekitar Bulu Manarang, Bulu Paleteang, Bulu Pakoro sedangkan dibagian selatan sekitar Bulu Manarang, Bulu Paleteang, Bulu Lasako (berbatasan dengan pare-pare). Kearah

Bunging terdapat batu gamping terumbu yang umumnya relatif sama dengan batuan gunung api.

3. Batuan aliran lava, batuan aliran lava bersusun trakhit abu-abu muda hingga putih, bekekar tiang, penyebarannya kearah daerah kabupaten Pinrang, yaitu sekitar kecamatan Lembang dan kecamatan Duampanua.
4. Batuan konglomerat (formasi Walanae), Batuan ini terletak dibagian Timur Laut Pinrang, sekitar Malimpung sampai kewilayah kabupaten Sidrap, satuan batuan ini terdiri atas konglomerat, sedikit batu pasir glakonit dan serpih dan membentuk morfologi bergelombang dan tebalnya kira-kira hingga 400 meter.
5. Batuan lava bersusun basol hingga andesit, satuan batuan ini berbentuk lava bantal, breksi andesit piroksin dan andesit trakhit. Tebalnya 50 hingga 100 meter dengan penyebaran sekitar Bulu Tirasa dan Pakoro.
6. Batu Pasir, satuan batuan ini bersusun andesit, batu lanau, konglomerat dan breksi. Struktur sesar diperkirakan terdapat pada batuan aliran lava dan batu pasir bersusun andesit, berupa sesar normal.

Menurut Pokja AMPL kabupaten Pinrang (2015: 14), kondisi jenis tanah yang terdapat di tiap kecamatan dalam wilayah kabupaten Pinrang dapat dilihat pada tabel di bawah ini:

Tabel 2.2 Jenis Tanah di Wilayah kabupaten Pinrang

No	Kecamatan	Jenis Tanah
1.	Suppa	Aluvial Kelabu; Grumosol Kelabu; Aluvial Hidromorf; Regosol Kelabu.

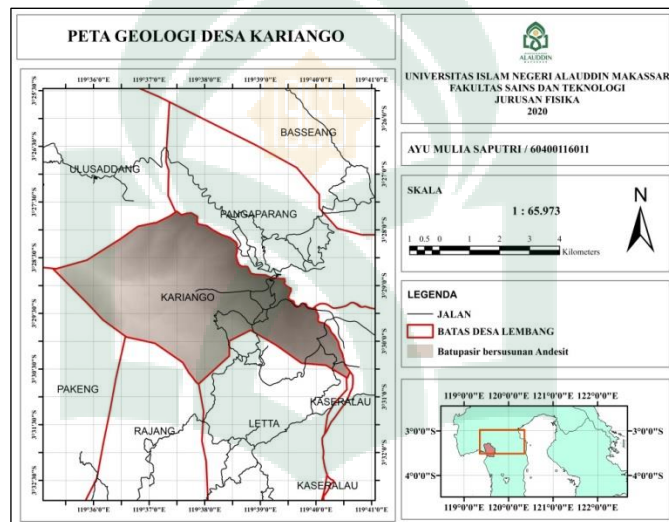
No	Kecamatan	Jenis Tanah
2.	Mattiro Sompe	Aluvial Hidromorf; Aluvial Kelabu Kekuningan; Aluvial Kelabu Olif
3.	Lanrisang	Grumosol Kelabu;
4.	Mattiro Bulu	Regosol Kelabu; Grumosol Kelabu; Brown Forest Soil
5.	Watang Sawito	Kelabu Olif; Regosol Kelabu
6.	Paleteang	Regosol Coklat Kelabuan; Aluvial Kelabu Olif; Aluvial Kelabu Kekuningan; Regosol Kelabu Kekuningan.
7.	Tiroang	Regosol Kelabu; Brown Forest Soil
8.	Patampanua	Aluvial Kelabu Kekuningan; Aluvial Hidromorf; Regosol Kelabu Kekuningan; Podsolik Coklat; Aluvial Kelabu Olif; Brown Forest Soil; Podsolik Coklat Kekuningan.
9.	Cempa	Aluvial Kelabu Kekuningan; Aluvial Hidromorf; Aluvial Kelabu Olif
10.	Duampanua	Podsolik Coklat kekuninga; Aluvial Kelabu Kekuningan; Podsolik Coklat; Aluvial Kelabu Olif;
11.	Batulappa	Podsolik Coklat; Podsolik Coklat Kekuningan.
12.	Lembang	Brown Forest Soil; podsolik

Sumber: Pokja AMPL kabupaten Pinrang, 2015

2.9 Kondisi Geologi dan Litologi

Kecamatan Lembang merupakan daerah dataran tinggi yang memiliki ketinggian 2 - 1908 meter dari permukaan laut, kemiringan lereng >45% , daerah ini memiliki permukaan curam yang bergunung – gunung. Adapun susunan batuan yang ada di kecamatan Lembang yaitu batuan gunung api, batuan aliran lava, batuan konglomerat, dan batu pasir.

Luas kecamatan Lembang 733,36 Km², sebelah utara kabupaten Pinrang berbatasan dengan kabupaten Tana Toraja, sebelah selatan berbatasan dengan kota Pare - pare, sebelah Barat berbatasan dengan Selat Makassar serta kabupaten Polewali Mandar, sebelah timur berbatasan dengan kabupaten Enrekang dan Sidrap. Adapun peta geologi kecamatan Lembang dapat dilihat pada gambar 2.6 berikut ini :



Gambar 2.12 Peta Geologi Desa Kariango Kecamatan Lembang Kabupaten Pinrang.

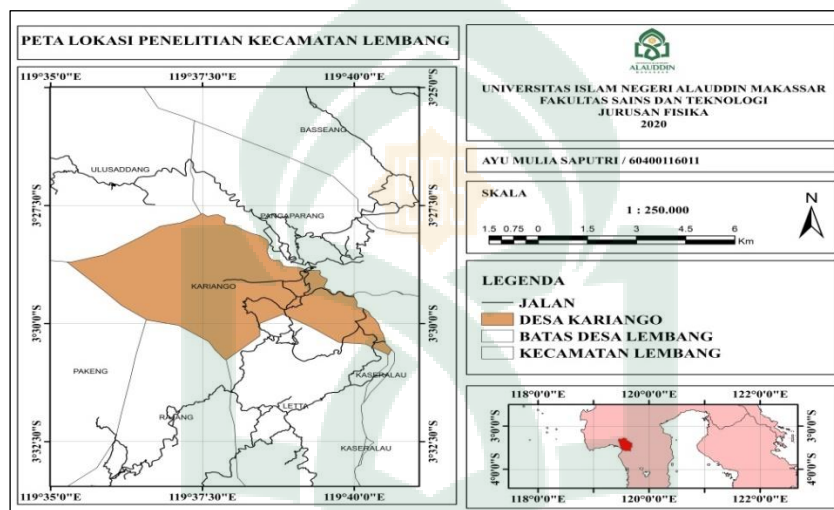
Dari gambar 2.12 Diatas Peta geologi dapat diketahui bahwa kecamatan Lembang kabupaten Pinrang memiliki struktur batuan gunung api, batu pasir, konglomerat, batu gamping, dan aliran lava.

BAB III

METODE PENELITIAN

3.1 Waktu dan Tempat Penelitian

Penelitian ini dilakukan pada bulan April – September 2020 di desa kariango kecamatan Lembang kabupaten Pinrang provinsi Sulawesi Selatan.



Gambar 3.1 Peta Lokasi Penelitian

3.2 Alat dan Bahan

Adapun alat dan bahan yang digunakan adalah sebagai berikut:

3.2.1 Alat

Alat yang digunakan dalam penelitian ini adalah sebagai berikut:

- a. *Software Arcgis*
- b. Peta Geologi
- c. *Global Positioning System (GPS)*

3.2.2 Bahan

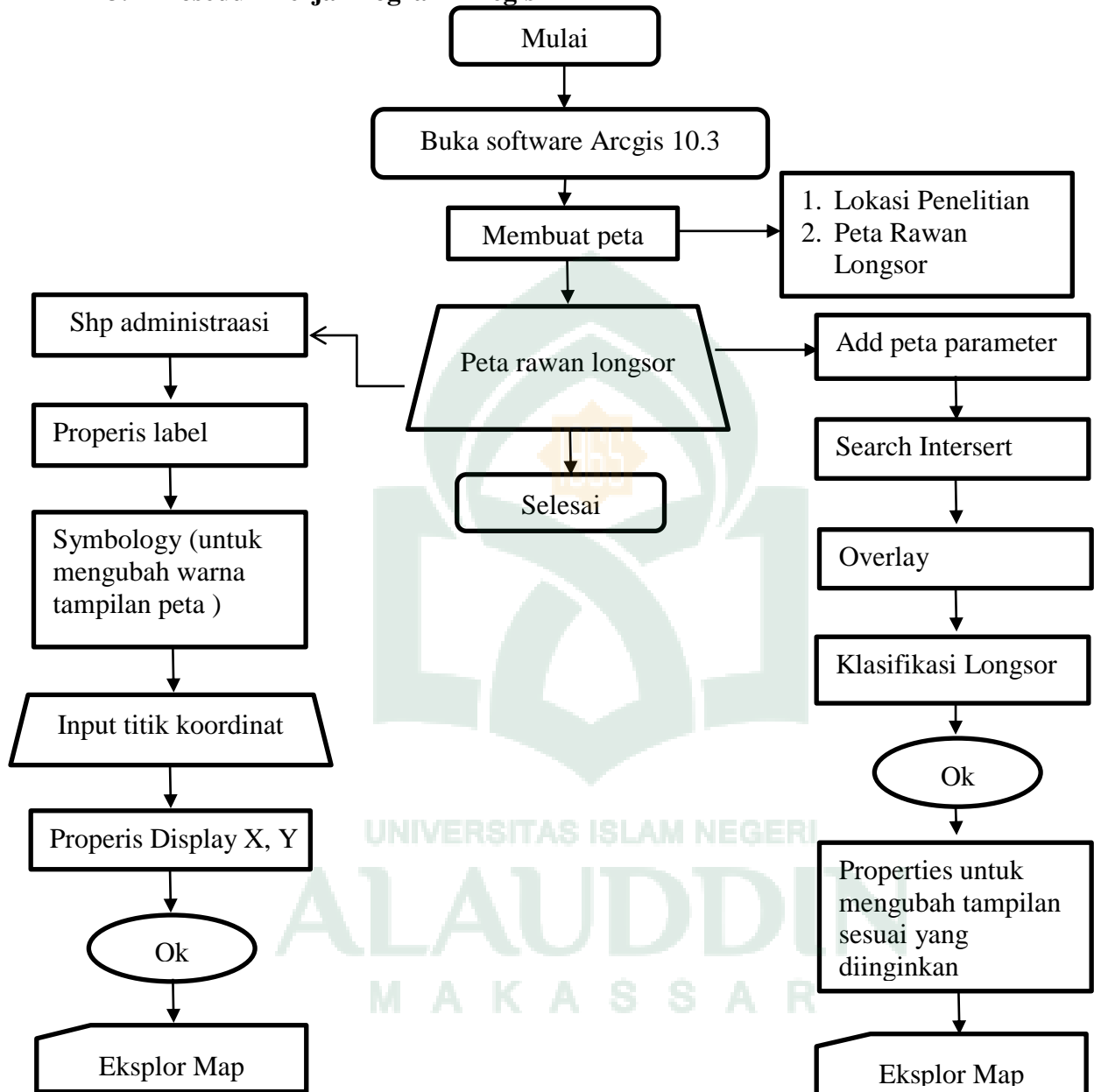
Bahan yang digunakan pada penelitian ini adalah berupa data sekunder yang diperoleh dari, pokja AMPL, badan pusat statistik, data Demnas dan Indonesia Geospasial.

3.3 Parameter Data

Parameter data yang dibutuhkan pada penelitian ini yang akan dilakukan adalah titik koordinat longsor dan disertai dengan gambar longsor pada lokasi tersebut.



3.4 Prosedur Kerja Program Arcgis

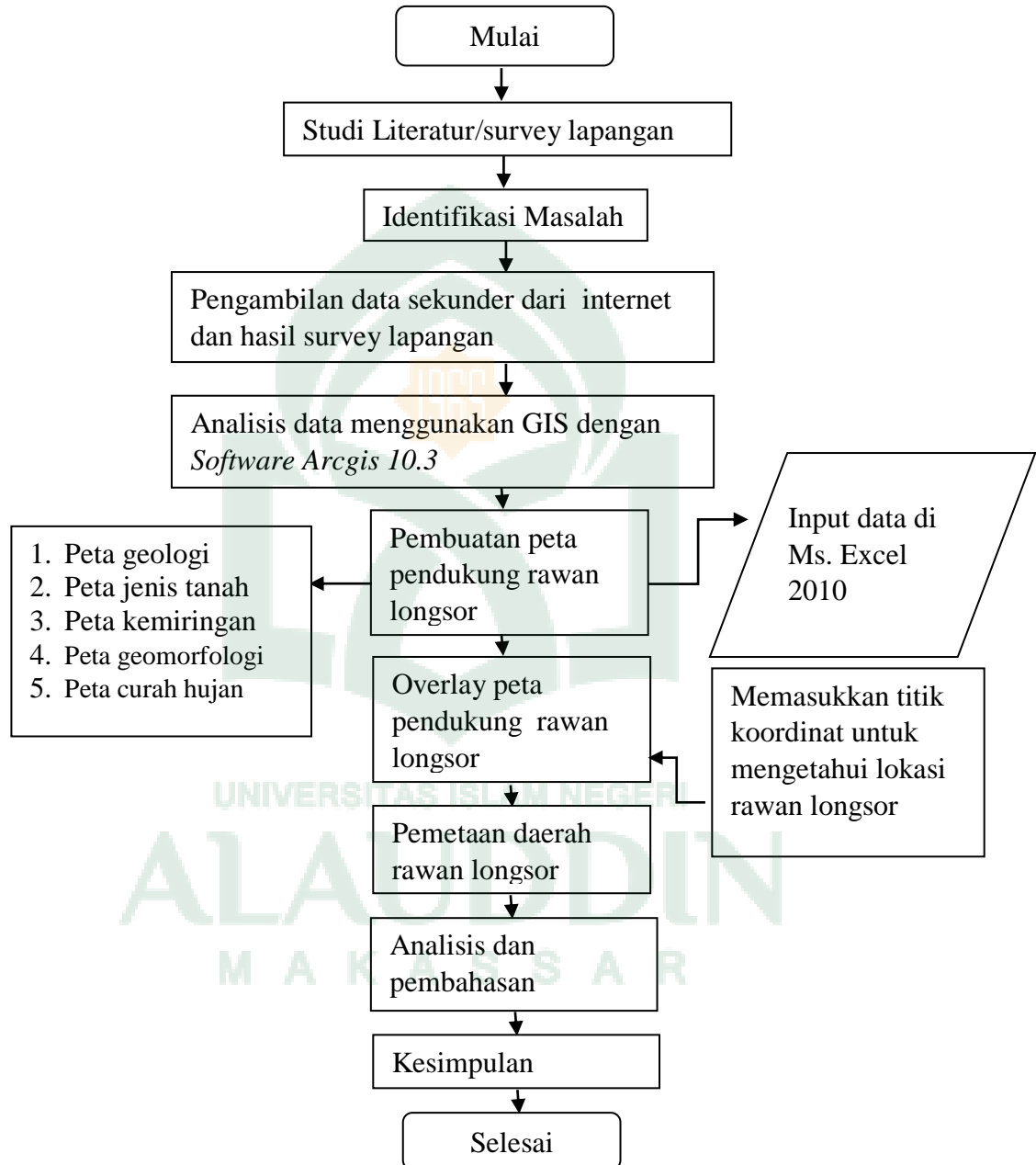


Gambar 3.2 Prosedur Pembuatan Peta Rawan Longsor Menggunakan *Software*

Arcgis 10.3

3.5 Diagram Alir Penelitian

Bagan alir pada penelitian yang dilakukan adalah :



Gambar 3.4 Bagan Alir Penelitian

BAB 1V

HASIL DAN PEMBAHASAN

4.1 Hasil Penelitian

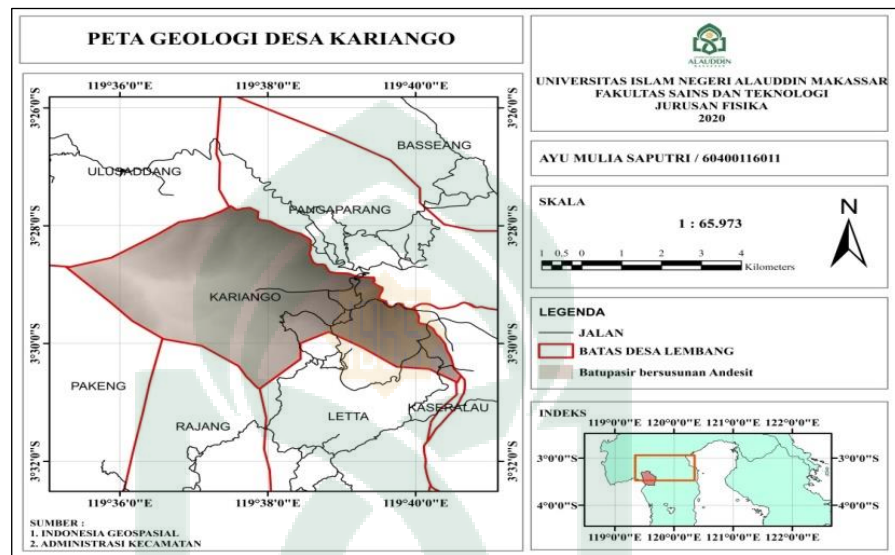
4.1.1 Klasifikasi Parameter-Parameter Daerah Rawan Longsor Di Desa Kariango Kecamatan Lembang Dengan Aplikasi Sistem Informasi Geografis (SIG)

Peta rawan longsor didukung oleh beberapa parameter seperti kondisi geologi, data jenis tanah, kemiringan lereng, geomorfologi, dan curah hujan. Data tersebut diperoleh dari data BPS kabupaten Pinrang dalam angka 2018 untuk data curah hujan, data shp tahun 2012 untuk data geologi, data kemiringan lereng dan geomorfologi diperoleh dari data demnas pada Indonesia geospasial tahun 2012 dan untuk data jenis tanah diperoleh dari data Pokja AMPL kabupaten Pinrang tahun 2018 dan Indonesia Geospasial tahun 2018.

a. Geologi

Berdasarkan hasil dari atribut tabel pada peta geologi terdapat 1 jenis batuan penyusun di desa Kariango yaitu batu pasir bersusunan andesit dengan luas penyebaran yaitu 100%, dimana batu pasir bersusunan andesit adalah memiliki ciri-ciri berwarna abu gelap bintik-bintik putih, tekstur porfiritik, besar butir halus (<1 mm), jenis batuan ini mudah berpotensi menyebabkan terjadinya gerakan tanah karena batuan tersebut mudah untuk meloloskan air dan memiliki porositas yang tinggi. Apabila batuan tersebut peka terhadap erosi dan mudah meloloskan air dan berada

pada kemiringan tersebut maka air yang masuk tertahan dan mengakibatkan daerah tersebut berpotensi menggelincir dan menjadi tanah longsor, seperti gambar di bawah ini:



Gambar 4.1 Peta Geologi Desa Kariango

Berdasarkan data di atas dapat dilihat struktur geologi penyusun daerah tersebut adalah batupasir bersusunan andesit. Dimana jenis batuan tersebut berpotensi menyebabkan terjadinya gerakan tanah karena batuan tersebut mudah meloloskan air dan berada pada kemiringan tersebut maka air yang masuk tertahan dan mengakibatkan daerah tersebut berpotensi menggelincir dan menjadi tanah longsor.

Data tersebut sesuai dengan hasil penelitian sebelumnya oleh Rahman (2018: 9-12). Menjelaskan bahwa batuan yang memiliki porositas tinggi maka air yang terkandung pada batuan tersebut juga banyak. Sedangkan batuan yang memiliki

permeabilitas tinggi maka dapat meloloskan air melalui pori-pori batuan. Dan untuk batuan pasir memiliki nilai porositas dan permeabilitas tinggi.

Berdasarkan hasil yang diperoleh dari lima parameter yakni kondisi geologi, geomorfologi, curah hujan, kemiringan lereng, dan jenis tanah, maka dapat disimpulkan keterkaitan data tersebut dengan peta rawan longsor yaitu sebagai berikut:

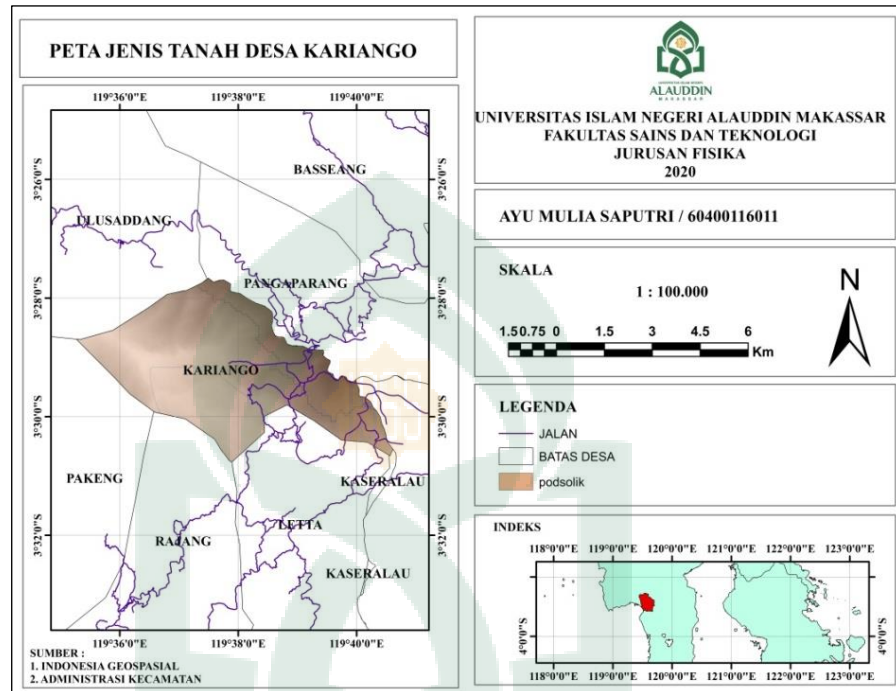
NO	PARAMETER	KEADAAN	KETERANGAN
1	Geologi	Batuan pasir bersusun andesit	Memiliki porositas dan permeabilitas tinggi.
2	Geomorfologi	Perbukitan	Berpotensi
3	Curah Hujan	428 mm	Tinggi
4	Kemiringan Lereng	Curam hingga sangat curam	Berpotensi
5	Jenis Tanah	Podsolik	Memiliki porositas dan permeabilitas tinggi

Sumber: Data Interpretasi Dengan Pengolahan Software Arcgis, 2020.

4.1.2 Jenis Tanah

Berdasarkan hasil dari data atribut tabel pada peta jenis tanah diatas diperoleh jenis tanah yang paling luas pada desa Kariango adalah tanah podsolik dengan luas penyebaran sebesar 100%. Dimana untuk tanah podsolik merupakan jenis tanah yang terbentuk pada daerah yang bercurah hujan tinggi dengan bahan induknya yaitu batuan pasir, lempung, dan sedimen yang berada pada daerah perbukitan atau yang berdataran tinggi. Jenis tanah ini bersifat asam, memiliki

struktur menggumpal dengan kesuburan rendah hingga sedang dan peka terhadap erosi, seperti gambar di bawah ini:



Gambar 4.2 Peta Jenis Tanah Desa Kariango

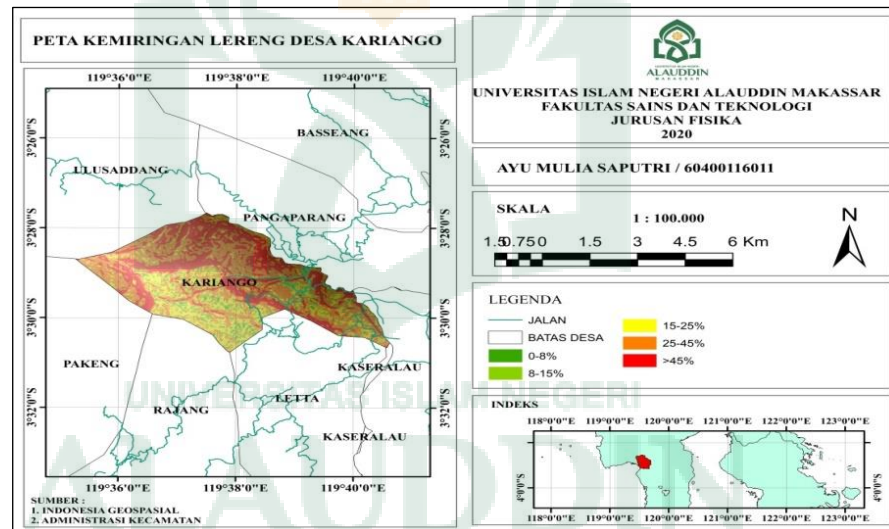
Hal tersebut sesuai dengan hasil penelitian sebelumnya oleh Kurniawan (2017: 8-9). Menjelaskan bahwa jenis tanah podsolik merupakan jenis tanah yang bersifat lempung, dan pasir yang dengan mudah meloloskan air. Sifat tersebut menjadikan tanah bertambah berat bobotnya apabila tertimpa hujan. Apabila tanah tersebut berada diatas batuan kedap air pada kemiringan tertentu maka tanah tersebut akan berpotensi menggelincir dan menjadi longsor.

Apabila tanah tersebut berada di atas batuan yang kedap air atau mudah meloloskan air pada kemiringan lereng tertentu maka air yang masuk akan tertahan

yang akan berpotensi menggelincir dan kemudian dapat menjadi pergeseran tanah (Longsor).

4.1.3 Kemiringan Lereng

Berdasarkan hasil dari atribut tabel dari data demnas, maka diperoleh data kemiringan lereng di desa Kariango dimana untuk kemiringan 0 – 8% memiliki 2%, untuk kemiringan 8 – 15% memiliki luas 7%, untuk kemiringan 15 – 25% memiliki luas 20%, untuk kemiringan 25 – 45% memiliki luas 41%, dan untuk kemiringan >45% memiliki luas 30%, seperti gambar di bawah ini:



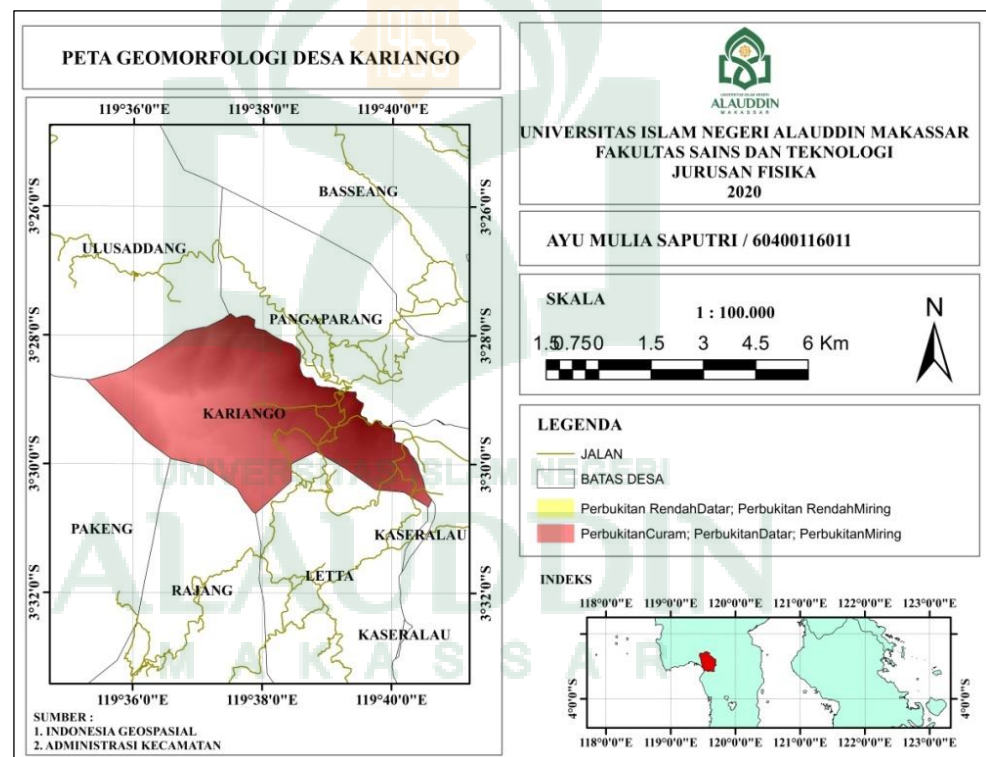
Gambar 4.3 Peta Kemiringan Lereng Desa Kariango

Hal tersebut sesuai dengan hasil penelitian sebelumnya oleh Andrian (2014: 2). Menjelaskan bahwa kelerengan dengan kemiringan yang 15% dengan curah yang tinggi dapat mengakibatkan tanah longsor, lereng yang semakin curam dan semakin panjang akan meningkatkan kecepatan aliran permukaan dan volume air yang bias diangkut akan lebih banyak.

Kelerengan dengan kemiringan $>25\%$ berpotensi untuk terjadi tanah longsor, namun tidak selamanya daerah yang memiliki kelerengan curam punya potensi tetapi juga dapat dilihat dari kondisi geologi dan jenis tanah pada daerah tersebut.

4.1.4 Geomorfologi

Berdasarkan data atribut dari peta geomorfologi diatas diperoleh dua klasifikasi geomorfologi yang terdapat pada desa Kariango yaitu perbukitan. Dimana untuk luas dari perbukitan sebesar 100%, seperti gambar di bawah ini:



Gambar 4.4 Peta Geomorfologi Desa Kariango

Menurut penelitian sebelumnya dilakukan oleh Lusy Fransiska (2017: 56) tentang “Studi Geomorfologi dan Analisis Bahaya Longsor di kabupaten Agam, Sumatera Barat” bahwa wilayah pegunungan/ perbukitan (65%) memiliki kepekaan

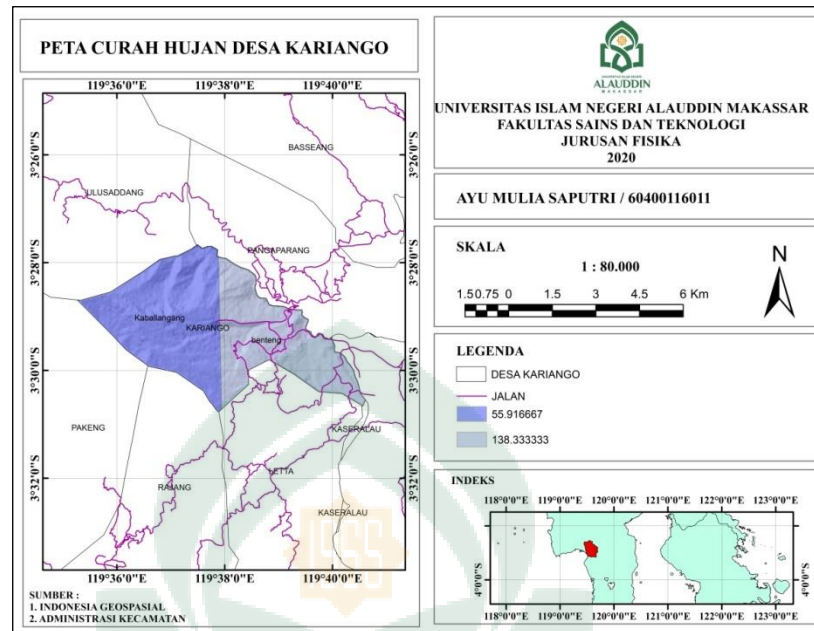
terhadap proses erosi dan longsor. Hal tersebut sesuai dengan teori, bahwa kelerengan dengan kemiringan yang 15% dengan curah yang tinggi dapat mengakibatkan tanah longsor, lereng yang semakin curam dan semakin panjang akan meningkatkan kecepatan aliran permukaan dan volume air yang bias diangkut akan lebih banyak.

Geomorfologi berupa gunung atau daerah perbukitan tinggi merupakan sumber resapan air. Apabila air terserap dengan baik di daerah tersebut dan juga memiliki jenis tanah dan batuan yang mudah lapuk dengan kemiringan lereng curam diatas 25° kemungkinan daerah tersebut berpotensi akan terjadinya pergerakan tanah (Longsor) .

4.1.5 Curah Hujan

Berdasarkan data BPS kabupaten Pinrang dalam angka 2019, kecamatan Lembang memiliki curah hujan rata – rata sebesar 56 – 138 mm pada setiap bulannya dengan jumlah hari hujan yaitu 63 hari pada tahun 2019. Curah hujan tertinggi terjadi pada bulan Juli sebesar 428 mm dengan hari hujan 2 hari, seperti gambar di bawah ini:

ALA UDDIN
M A K A S S A R



Gambar 4.5 Peta Curah Hujan Desa Kariango

Hal tersebut sesuai dengan hasil penelitian sebelumnya oleh Hasnawir (2012: 71) menjelaskan bahwa intensitas curah hujan di atas 50 mm/jam dapat menyebabkan tanah longsor dangkal dan dapat mengakibatkan kerusakan. Peringatan akan tanah longsor umumnya dikeluarkan jika dalam 24 jam hujan diperkirakan akan melebihi 175 mm atau dalam 1 jam curah hujan diperkirakan akan melebihi 70 mm.

Tabel 4.1 Curah Hujan Kabupaten Pinrang Pada Stasiun BMKG dengan Titik

Koordinat $3^{\circ}42'20.2''$ LS dan $119^{\circ}30'48.1''$ BT Pada Tahun 2018.

NO	BULAN	HARI HUJAN	CURAH HUJAN (mm ³)
1	Januari	97	6
2	Februari	154	8
3	Maret	78	6

NO	BULAN	HARI HUJAN	CURAH HUJAN (mm³)
4	April	105	11
5	Mei	11	4
6	Juni	54	8
7	Juli	7	3
8	Agustus	14	4
9	September	1	0
10	Oktober	34	3
11	November	23	5
12	Desember	93	0
Jumlah / Rata – Rata		56	63

(Sumber: Stasiun Curah Hujan BMKG, 2018).

Tabel 4.2 Curah Hujan Kabupaten Pinrang Pada Stasiun BMKG dengan Titik Koordinat 3°41'14.6'' LS dan 119°40'36.6'' BT Pada Tahun 2018.

NO	BULAN	HARI HUJAN	CURAH HUJAN (mm³)
1	Januari	121	12
2	Februari	289	10
3	Maret	175	12
4	April	218	13
5	Mei	224	6
6	Juni	101	10
7	Juli	428	2
8	Agustus	72	1
9	September	32	1

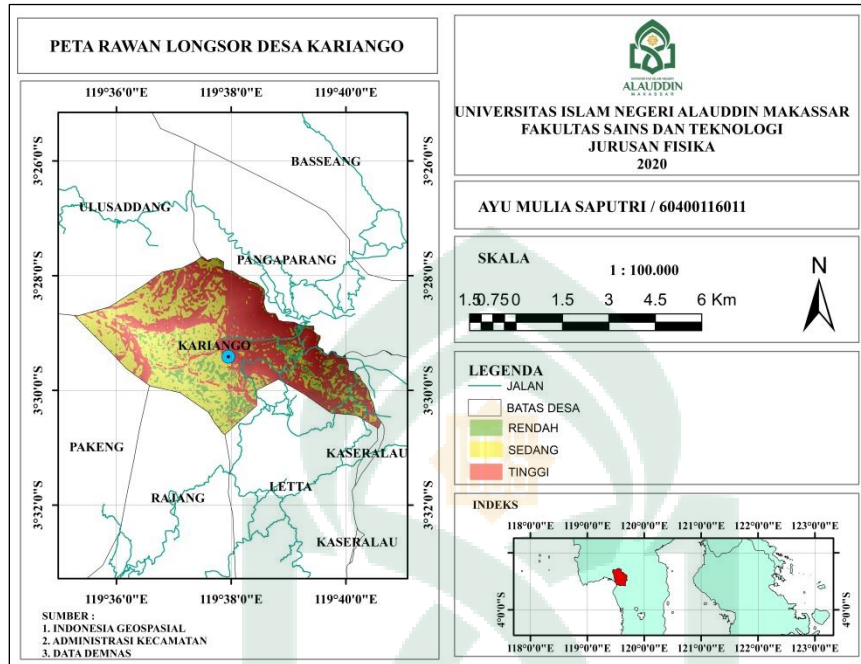
NO	BULAN	HARI HUJAN	CURAH HUJAN (mm ³)
10	Oktober	0	1
11	November	0	10
12	Desember	0	13
Jumlah / Rata – Rata		138	8

(Sumber: Stasiun Curah Hujan BMKG, 2018).

Berdasarkan data di atas dapat disimpulkan bahwa curah hujan yang relatif tinggi dapat berpotensi akan terjadinya longsor karena dapat dilihat dari jenis tanah dan batuan pada daerah tersebut. Dimana jenis tanah/batuan pada daerah tersebut bersifat lempung, lanau, dan pasir merupakan jenis tanah/batuan yang dapat meloloskan air atau memiliki porositas yang tinggi, sehingga sifat tersebut menjadikan tanah/batuan bertambah berat bobotnya jika hujan terjadi secara terus menerus dan mengakibatkan tanah longsor.

4.2 Pembahasan

Peta rawan longsor diperoleh menggunakan *Software Arcgis* dengan melakukan tumpang tindih peta geologi, peta jenis tanah, peta kemiringan, peta geomorfologi, dan peta curah hujan. Dari hasil tumpang tindih tersebut sehingga diperoleh peta rawan longsor.



Gambar 4.6 Peta Rawan Longsor Desa kariango

Berdasarkan peta yang diperoleh dari hasil analisis dan nilai persentase luas kerentanan daerah rawan longsor di desa Kariango menggunakan *Software Arcgis*. Penentuan tingkat kerentanan rawan longsor menggunakan indeks stories yaitu perkalian beberapa parameter yang mempunyai bobot terendah hingga tertinggi. Tingkat kerentanan tanah diasumsikan berdasarkan perkalian tersebut dari nilai bobot maksimum hingga minimum sehingga di dapatkan tiga tingkat kerentanan yaitu sebagai berikut:

Tabel 4.3 Tingkat Kerentanan Tanah Longsor Pada Desa Kariango

NO	KETERANGAN	LUAS (ha)	PERSENTASE
1	Rendah	234,8392	9%
2	Sedang	1110,685	42%
3	Tinggi	1324,716	50%

(Sumber: Peta Analisis Kerawanan Longsor Desa Kariango)

Berdasarkan data di atas dapat disimpulkan bahwa pada daerah penelitian berada pada kerentanan rendah hingga tinggi. Dimana untuk kerentanan rendah dengan luas penyebarannya yaitu 234,8392 ha dan nilai persentase sebesar 9% merupakan daerah yang secara umum jarang untuk terjadi tanah longsor, kecuali jika mengalami gangguan pada lerengnya dan memiliki kemiringan lereng datar hingga curam pada daerah pemukiman penduduk dengan bentuk lahan bergelombang hingga berbukit. Untuk kerentanan sedang dengan luas penyebarannya yaitu 1110,685 ha dan nilai persentase sebesar 42% merupakan daerah yang mempunyai kerentanan sedang untuk terjadi tanah longsor, kerentanan tanah rendah hingga tinggi terjadi jika dipicu oleh curah hujan yang tinggi jenis tanah serta batuan penyusun daerah tersebut. Sedangkan untuk kerentanan tinggi dengan luas penyebarannya 1324,716 ha dan nilai persentase sebesar 50% merupakan daerah yang rawan akan terjadinya tanah longsor, karena dapat dilihat pada kemiringan lerengnya yang curam hingga sangat curam (>25%), berada pada daerah perbukitan, curah hujan yang sedang hingga tinggi dan jenis tanah podsolik yang peka terhadap erosi serta jenis batuan penyusun daerah tersebut yaitu batuan pasir, aliran lava berupa endapan alluvium dan konglomerat

berupa batuan gamping yang mudah meloloskan air dan memiliki porositas yang tinggi, mudah meloloskan air dan mudah terjadi pelapukan. Peta rawan longsor ini diperkuat dari hasil survey lapangan yang dilakukan pada bulan November 2019 di desa kariango, berikut merupakan foto penampakan tanah longsor yang telah terjadi :



Gambar 4.7 Hasil Penampakan Tanah Longsor

Berdasarkan gambar di atas yang diperoleh dari survey lapangan dapat disimpulkan bahwa telah terjadi pergerakan tanah di desa kariango. Tanah longsor tersebut mengakibatkan tertutupnya akses jalan, terputusnya aliran listrik karena beberapa tiang listrik runtuh hingga mata pengcaharian warga terganggu akibat longsor tersebut.

Dimana penyebab terjadinya tanah longsor tersebut dipengaruhi oleh beberapa hal seperti kondisi geologi daerah tersebut yang memiliki jenis batuan pasir bersusun andesit yang mudah meloloskan air dan memiliki porositas yang tinggi sehingga berpotensi terjadinya tanah longsor.

Daerah tersebut memiliki jenis tanah podsolik yang bersifat pasir, lempung yang peka terhadap erosi dan mudah meyerap air, berada pada kemiringan lereng 25 derajat (40%) termasuk daerah curam yang berpotensi terjadinya tanah longsor diakibatkan oleh curah hujan yang tinggi pada daerah tersebut Sehingga pemerintah setempat melakukan upaya penanggulangan dengan memperbaiki akses jalan, membngun kembali tiang listrik baru untuk menghubungkan kembali aliran listrik.



BAB V

PENUTUP

5.1 Kesimpulan

Berdasarkan hasil yang diperoleh menggunakan perangkat lunak SIG, maka diperoleh tingkat kerawanan longsor di desa Kariango kecamatan Lembang kabupaten Pinrang yaitu untuk tingkat kerawanan rendah dengan persentase penyebaran sebesar 9%, untuk tingkat kerawanan sedang dengan persentase penyebaran sebesar 42%, dan untuk kerawanan tinggi dengan persentase penyebaran sebesar 50%. Data ini diperkuat dengan adanya data SIG berupa data geologi, jenis tanah, kemiringan, geomorfologi, dan prta curah hujan serta hasil survei lapangan berupa foto.

5.2 Saran

Saran pada penelitian ini yaitu sebagai berikut:

1. Penelitian ini dapat dilanjutkan dengan menggunakan alat mikrotremor untuk menentukan kerentanan seismik pada daerah tersebut dan juga menggunakan alat geolistrik untuk mengidentifikasi struktur bawah permukaan.
2. Penelitian selanjutnya bisa membuat peta rawan longsor untuk skala kecamatan atau kabupaten bahkan provinsi menggunakan Sistem Informasi Geografis (SIG) atau menggunakan aplikasi yang lain.

DAFTAR PUSTAKA

- Agustin Arin Dwi, 2016. *Identifikasi Letak Dan Kedalaman Cracks Pada Bidang Longsor Menggunakan Metode Resistivitas 2d Konfigurasi Wenner-Schlumberger Studi Kasus Kecamatan Selorejo, Blitar*. Surabaya: Institute Teknologi Sepuluh November.
- Andrian dkk, 2014. *Pengaruh Ketinggian Tempat dan Kemiringan Lereng Terhadap Produksi Karet (Hevea Brasiliensis Muel. Arg.) di Kebun Hapesong PTPN III Tapanuli Selatan*. Medan: Fakultas Pertanian USU.
- Achmad, Fadly, 2010. *Studi Identifikasi Penyebab Longsor di Botu*. Gorontalo: Universitas Negeri Gorontalo.
- DW Iskandar, 2008. *Teknik Pemrosesan Citra Digital ASTER Untuk Kajian Geomorfologi Studi Kasus Di Sebagian Daerah Istimewah Yogyakarta*. Bandung : PIT MAPIN XVII.
- Elnashai, S.A. dan Sarno, D.L, 2008. *Fundamental of Earthquake Engineering*. Hongkong: Wiley.
- Energi dan Sumber Daya Mineral (ESDM), 2007. *Pengenalan Gerakan Tanah Official Website Kementerian Energi dan Sumber Daya Mineral*. http://esdm.go.id/index.php/publikasi/list_publikasi/46/6 (02 Februari 2020).
- Hasnawir, 2012. *Intensitas Curah Hujan Memicu Tanah Longsor Dangkal di Sulawesi Selatan*. Makassar: Balai Penelitian Kehutanan Makassar.
- Hermawan, Eddy, 2009. *Analisis Perilaku Curah Hujan Di Atas Kota Tabang Saat Bulan Basah Dan Bulan Kering*. Bandung: Universitas negeri Yogyakarta.
- Kecamatan Lembang dalam Angka, 2019. Pinrang: Badan Pusat Statistika Kabupaten Pinrang.
- Kurniawan, Yongki, 2017. *Pemetaan Rawan Longsor di Kecamatan Sumber Jaya Kabupaten Lampung Barat Tahun 2017*. Bandar Lampung: Universitas Lampung.
- Nandi, 2007. *Longsor*. Bandung: FSIPS.

- Pokja AMPL Kabupaten Pinrang. 2015. *Buku Sanitasi*. <http://ppsp.nawasis.info> diakses pada tanggal 28 Oktober 2019.
- Pramumijoyo, Subagyo & Dwikorita Karnawati, 2008. *Penanganan Bencana Gerakan Tanah di Indonesia. Makalah Penanganan Gerakan Tanah Di Indoensia*. Yogyakarta: Jurusan Teknik Geologi UGM.
- Raharjo Puguh Dwi, 2013. *Penggunaan Data Penginderaan Jauh Dalam Analisis Bentuk Lahan Asal Proses Fluvial Di Wilayah Karangsembung*. Semarang: Universitas Negeri Semarang.
- Ratu, Yurison Dimu, 2012. *Analisis Kerapatan Jaringan Stasiun Curah Hujan Pada Wilayah Sungai (WS) AESESA di Pulau Flores*. Kupang: Universitas Nusa Cendana.
- Rahma Hi. Manrulu, dkk, 2018. *Pendugaan Sebaran Air Tanah Menggunakan Metode Geolistrik Resistivitas Konfigurasi Wenner Dan Schlumberger Di Kampus 2 Universitas Cokroaminoto Palopo*. Palopo: Universitas Cokroaminoto Palopo.
- Setiadi Rafli, 2016. *Pemanfaatan Sistem Informasi Geografi Untuk Mengetahui Lokasi Penjual Tiket Bus Di Kota Solo Berbasis Android*. Universitas Muahammadiyah Surakarta.
- Suripin, 2004. *Sistem Drainase Perkotaan Yang Berkelanjutan*. Yogyakarta: Universitas Negeri Yogyakarta.
- Shihab, M. Quraish, 2002. *Tafsir Al-Mishbah (Pesan, Kesan dan Keserasian al-Qur'an)*. Jakarta: Lentera Hati.
- Todingan M, 2014. *Pemetaan Daerah Rawan Longsor di Wilayah Sub DAS Tondano dengan Sistem Infromasi Geografi*. Universitas Sam ratulangi.
- Yuliana Eka, 2017. *Aplikasi Metode Geolistrik Tahanan Jenis Untuk Identifikasi Zona Bidang Gelincir Tanah Longsor Studi Kasus Desa Nglajo Kec. Cepu Kab. Blora*. Surabaya: Institute Teknologi Sepuluh November

RIWAYAT HIDUP



Nama Ayu Mulia Saputri kelahiran 02 Juni 1999 di Kulo, Kec. Kulo, Kab. Sidrap. Anak pertama dari 4 bersaudara buah cinta dari pasangan Drs. Ilyas dan Muliani. Anak kedua bernama Farhan Ramadhan. Anak ketiga bernama Muh. Afdal, Anak keempat bernama Muh. Nabil Al-Kahfi. Penulis menyelesaikan pendidikan di SD Negeri 8 Kulo pada tahun 2011. Kemudian menyelesaikan pendidikan di SMP Negeri 3 Panca Rijang pada tahun 2014. Selanjutnya, menyelesaikan pendidikan di SMA Negeri 2 Sengkang pada tahun 2016, dan menjadi Mahasiswa pada tahun 2016 di Universitas Islam Negeri (UIN) Alauddin Makassar jurusan Fisika Sains Fakultas Sains dan Teknologi.

Penulis aktif sebagai pengurus di HMJ-Fisika dan pernah menjadi Anggota Bidang Minat dan Bakat pada Periode 2019. Penulis juga menjadi pengurus di Organisasi Daerah IPMI SIDRAP BKPT UINAM sebagai Bendahara Umum pada Periode 2017-2020. Serta, penulis pernah menjadi anggota dari Himpunan Mahawasiswa Geofisika Indonesia Wilayah V pada tahun 2018.

LAMPIRAN 1
**(DATA SEKUNDER
PENELITIAN)**



UNIVERSITAS ISLAM NEGERI
ALAUDDIN
M A K A S S A R

1. Jenis Tanah

No	Kecamatan	Jenis Tanah
1.	Suppa	Aluvial Kelabu; Grumosol Kelabu; Aluvial Hidromorf; Regosol Kelabu.
2.	Mattiro Sompe	Aluvial Hidromorf; Aluvial Kelabu Kekuningan; Aluvial Kelabu Olif
3.	Lanrisang	Grumosol Kelabu;
4.	Mattiro Bulu	Regosol Kelabu; Grumosol Kelabu; Brown Forest Soil
5.	Watang Sawito	Kelabu Olif; Regosol Kelabu
6.	Paleteang	Regosol Coklat Kelabuan; Aluvial Kelabu Olif; Aluvial Kelabu Kekuningan; Regosol Kelabu Kekuningan.
7.	Tiroang	Regosol Kelabu; Brown Forest Soil
8.	Patampanua	Aluvial Kelabu Kekuningan; Aluvial Hidromorf; Regosol Kelabu Kekuningan; Podsolik Coklat; Aluvial Kelabu Olif; Brown Forest Soil; Podsolik Coklat Kekuningan.
9.	Cempa	Aluvial Kelabu Kekuningan; Aluvial Hidromorf; Aluvial Kelabu Olif
10.	Duampanua	Podsolik Coklat kekuninga; Aluvial Kelabu Kekuningan; Podsolik Coklat; Aluvial Kelabu Olif; Aluvial Hidromorf.

11.	Batulappa	Podsolik Coklat; Podsolik Coklat Kekuningan.
12.	Lembang	Brown Forest Soil; podsolik

Sumber: Pokja AMPL kabupaten Pinrang, 2015

2. Curah Hujan

Curah Hujan Kabupaten Pinrang Pada Stasiun BMKG dengan

Titik Koordinat 3°42'20.2" LS dan 119°30'48.1" BT Pada

Tahun 2018

NO	BULAN	HARI HUJAN	CURAH HUJAN (mm ³)
1	Januari	97	6
2	Februari	154	8
3	Maret	78	6
4	April	105	11
5	Mei	11	4
6	Juni	54	8
7	Juli	7	3
8	Agustus	14	4
9	September	1	0
10	Oktober	34	3
11	November	23	5
12	Desember	93	0
Jumlah / Rata – Rata		56	63

Curah Hujan Kabupaten Pinrang Pada Stasiun BMKG dengan Titik Koordinat

3°41'14.6" LS dan 119°40'36.6" BT Pada Tahun 2018.

NO	BULAN	HARI HUJAN	CURAH HUJAN (mm³)
1	Januari	121	12
2	Februari	289	10
3	Maret	175	12
4	April	218	13
5	Mei	224	6
6	Juni	101	10
7	Juli	428	2
8	Agustus	72	1
9	September	32	1
10	Oktober	0	1
11	November	0	10
12	Desember	0	13
Jumlah / Rata – Rata		138	8

(Sumber : Stasiun Curah Hujan BMKG)



LAMPIRAN 2

**(HASIL SURVEY
LAPANGAN)**

UNIVERSITAS ISLAM NEGERI

ALAUDDIN

MAKASSAR

1. Penampakan hasil dari kejadian tanah longsor



2. Perbaikan jalan akibat kejadian tanah longsor



3. Penampakan model lereng pada lokasi longsor



4. Penampakan daerah perbukitan di sekitar daerah longsor



5. Penampakan daerah pemukiman di sekitar daerah longsor



ALAUDDIN
MAKASSAR

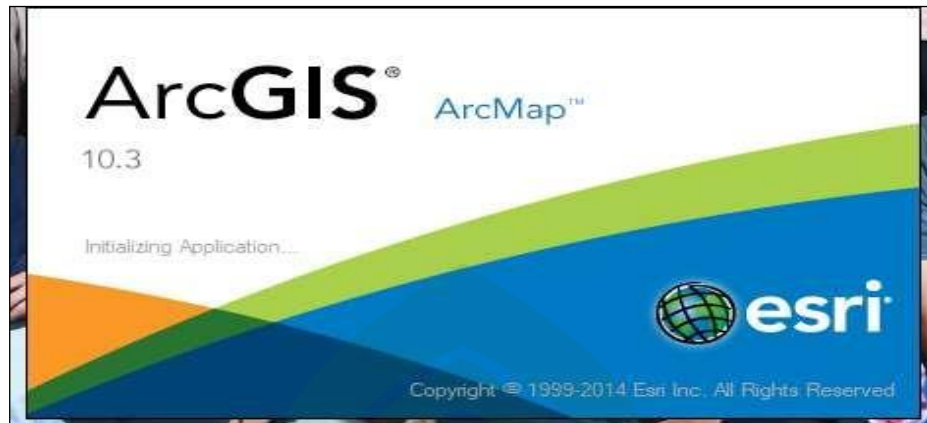


LAMPIRAN 3

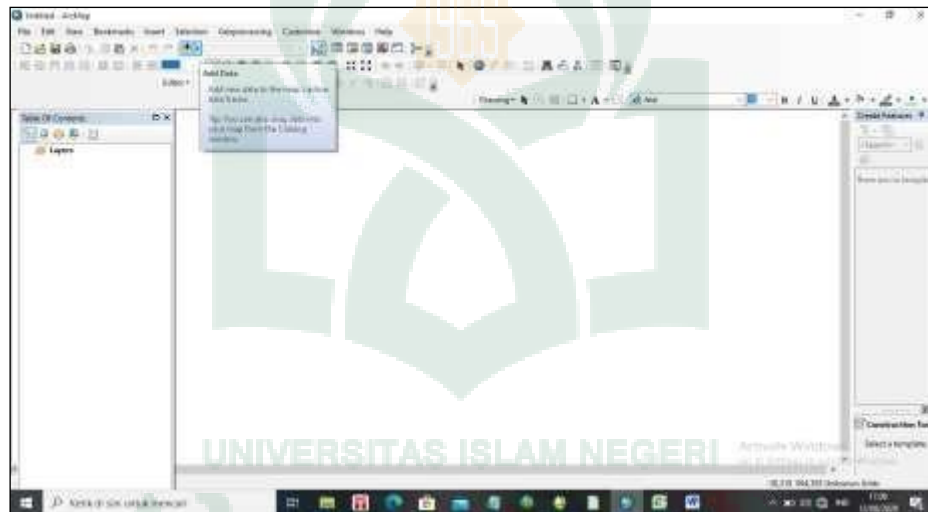
**(HASIL PENGOLAHAN
DATA PETA
MENGUNAKAN
ARCGIS)**

UNIVERSITAS ISLAM GERI
ALAUDDIN
M A K A S S A R

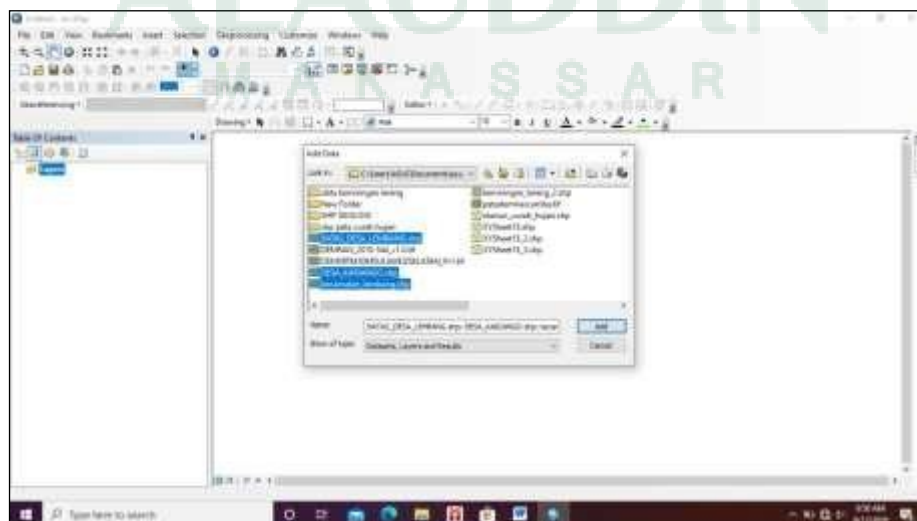
1. Membuat aplikasi Software Arcgis



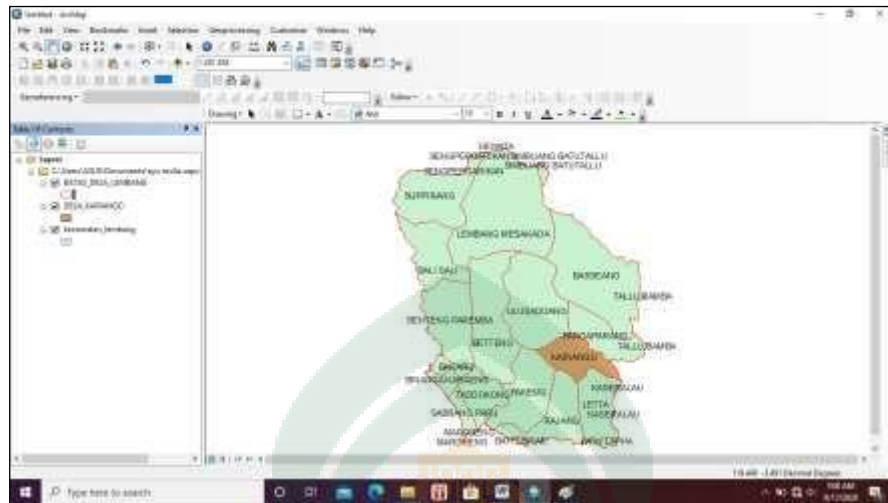
2. Setelah Software Arcgis terbuka selanjutnya membuka file Arcgis



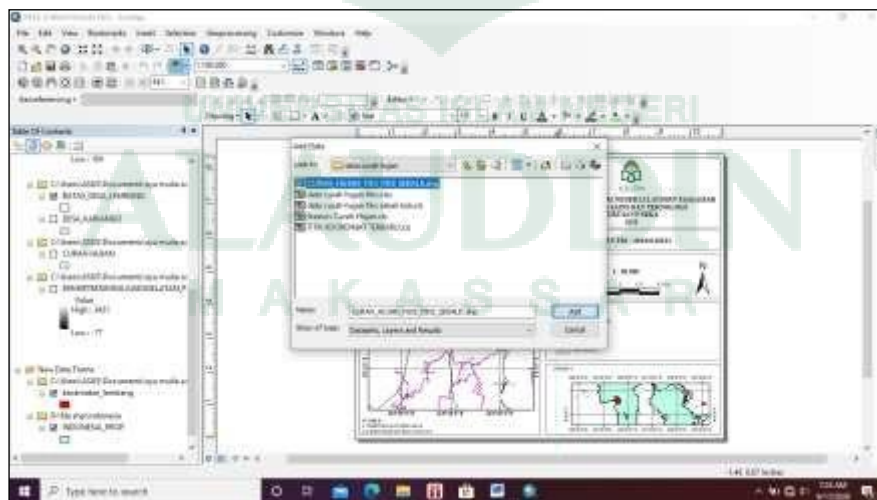
3. Add data batas desa, kecamatan dan kabupaten

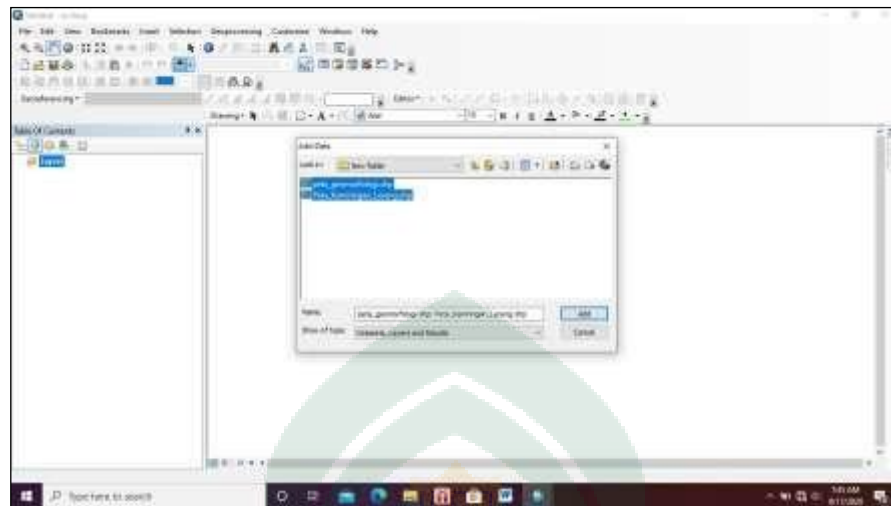


4. Masing-masing data akan muncul pada layer

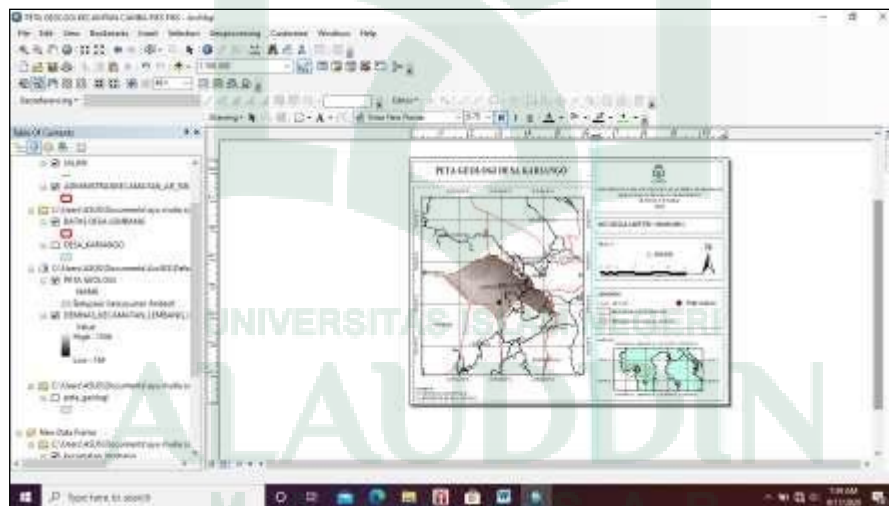


5. Add data kembali untuk geologi, jenis tanah, kemiringan lereng, geomorfologi dan curah hujan maka muncul masing-masing pada peta di layer

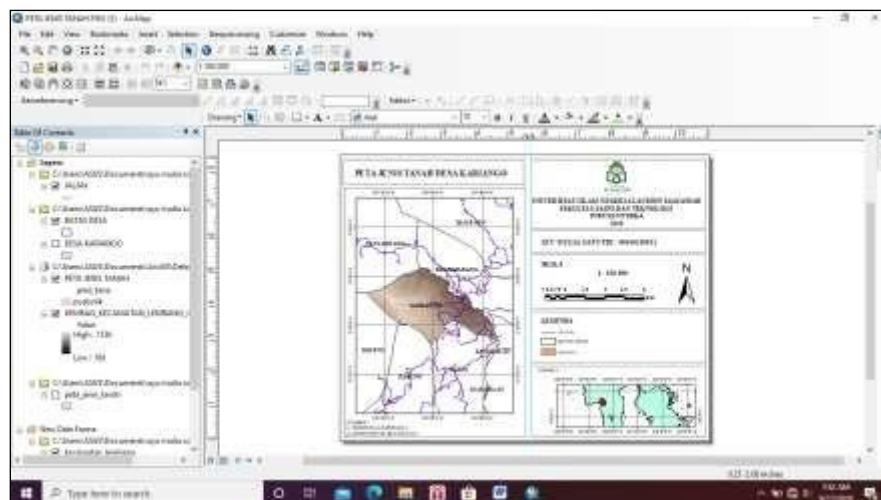




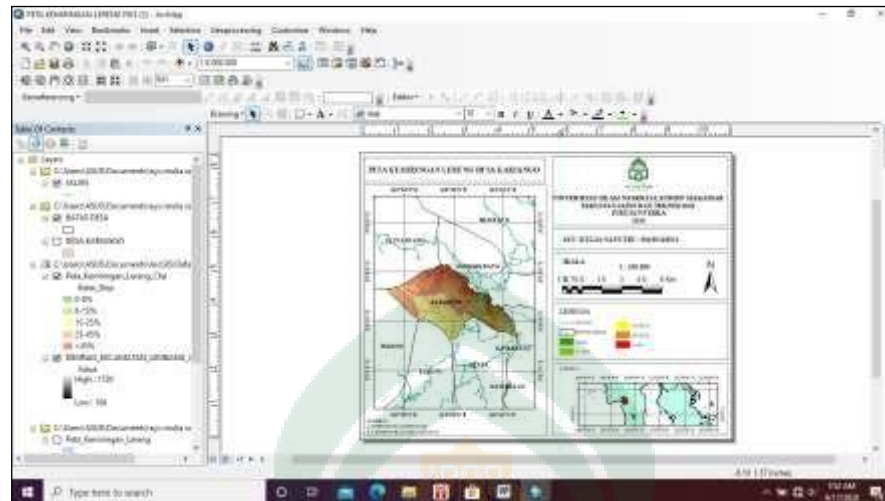
6. Peta geologi



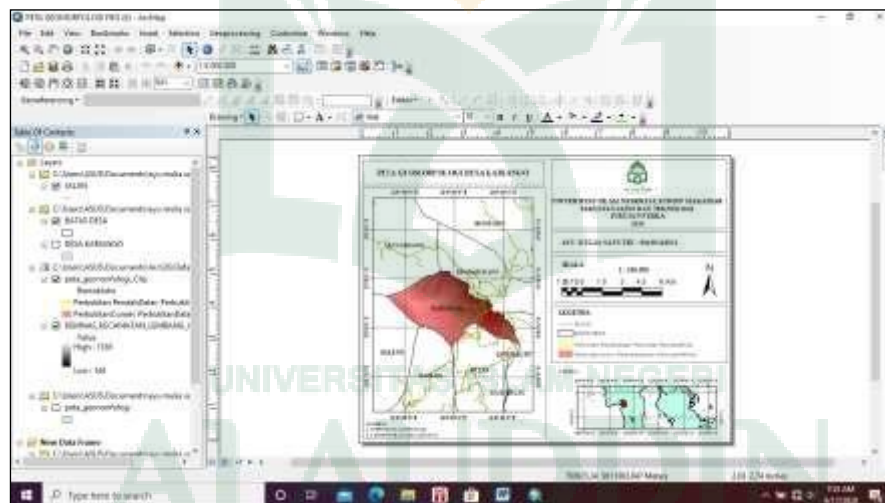
7. Peta Jenis tanah



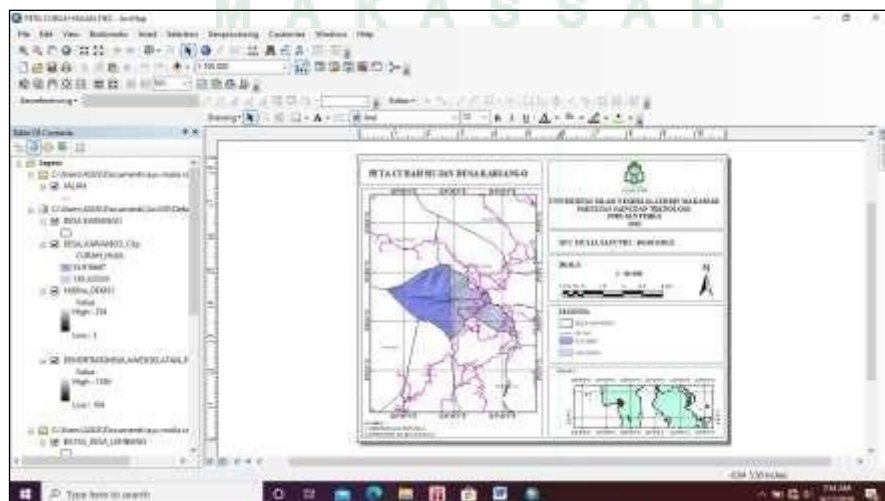
8. Peta Kemiringan lereng



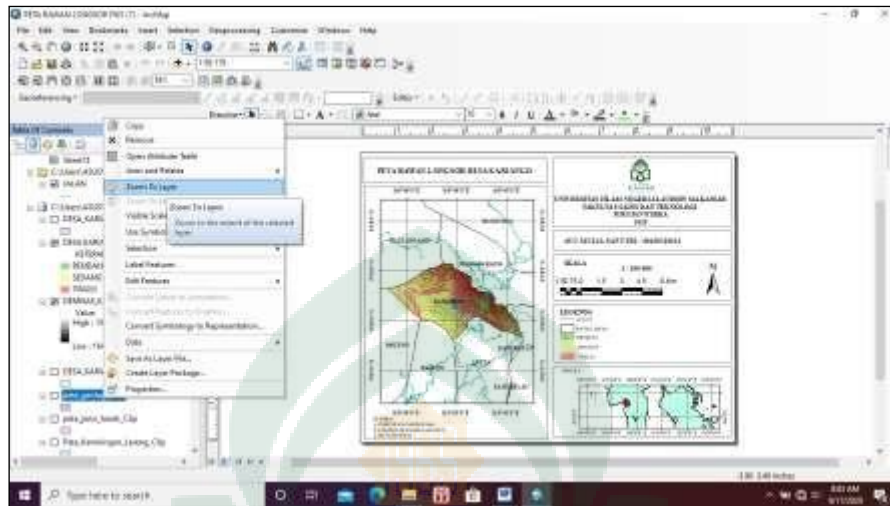
9. Peta geomorfologi



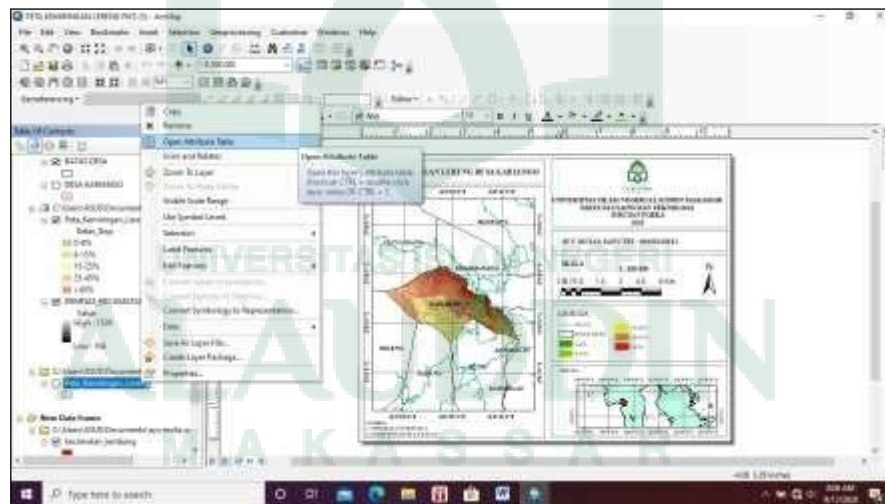
10. Peta curah hujan



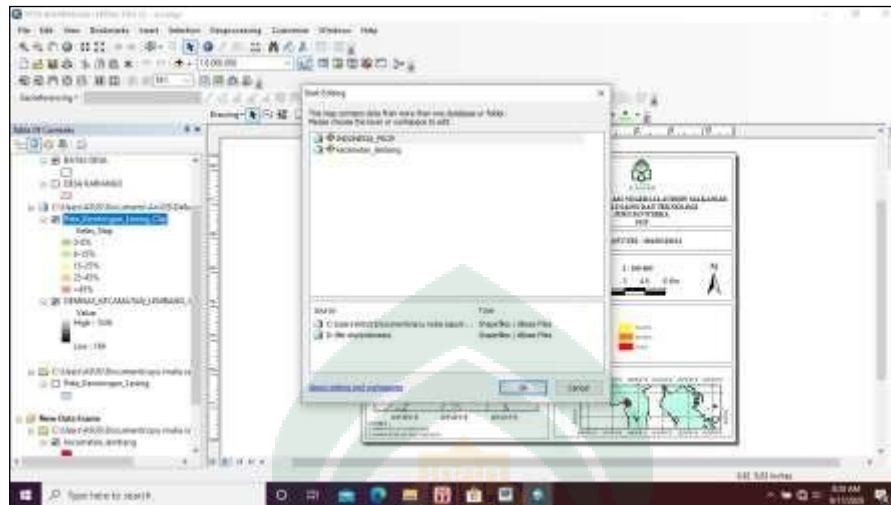
11. Klik kiri geologi, jenis tanah, kemiringan lereng, geomorfologi dan curah hujan kemudian pilih *zoom to layer*



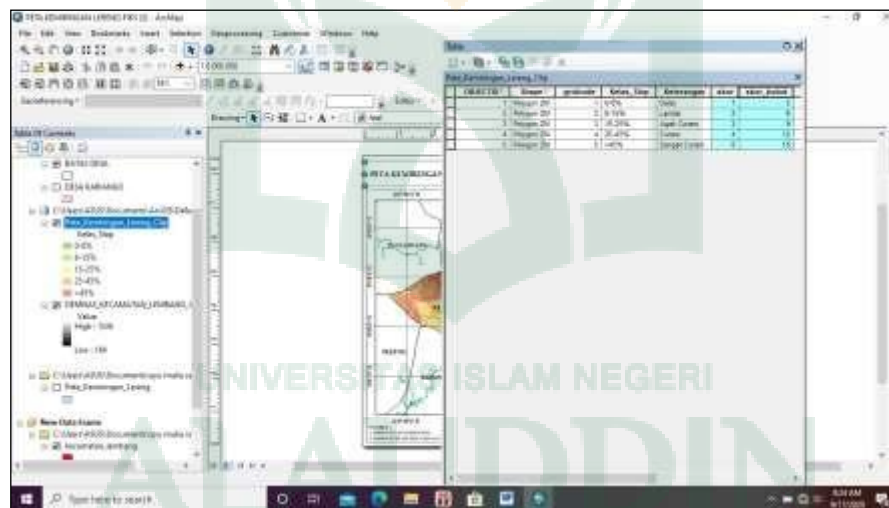
12. Klik kiri salah satu parameter seperti kemiringan lereng lalu pilih *open Attribute Table*



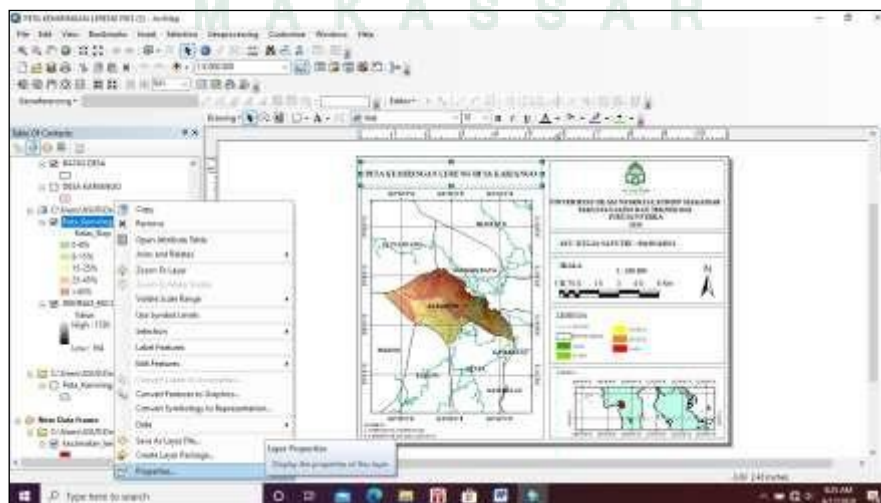
17. Pada *star editing* klik dua kali untuk kemiringan lereng



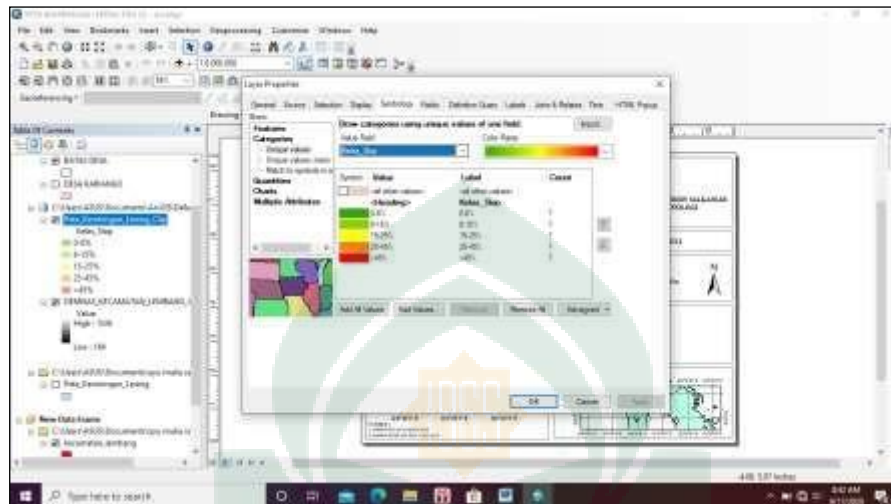
18. Kemudian memberikan skor sesuai dengan kemiringan lereng



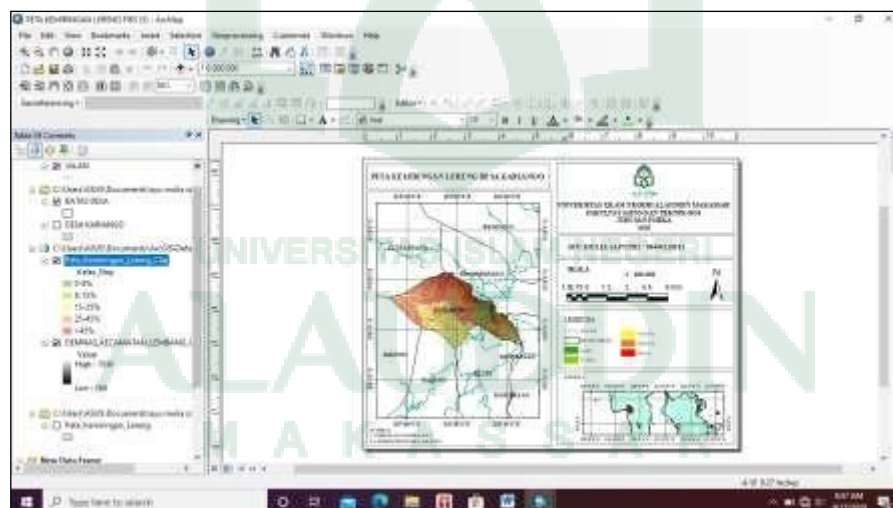
19. Klik kembali kemiringan lereng pilih properties



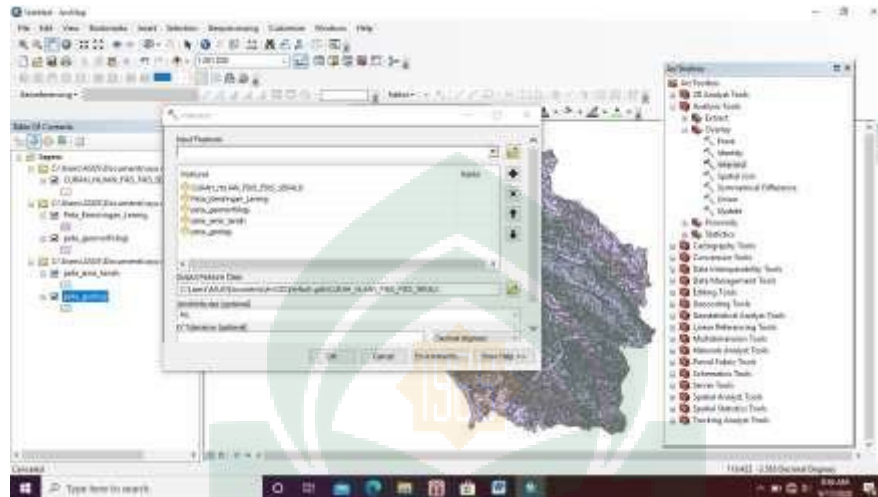
20. Pada *properties* pilih *symbology* kemudian pilih *categories* dan kemudian *value field* pilih nama kelas_slop. Setelah itu klik *add all value field* pilih nama kelas_slop. Setelah itu klik *add all value*.



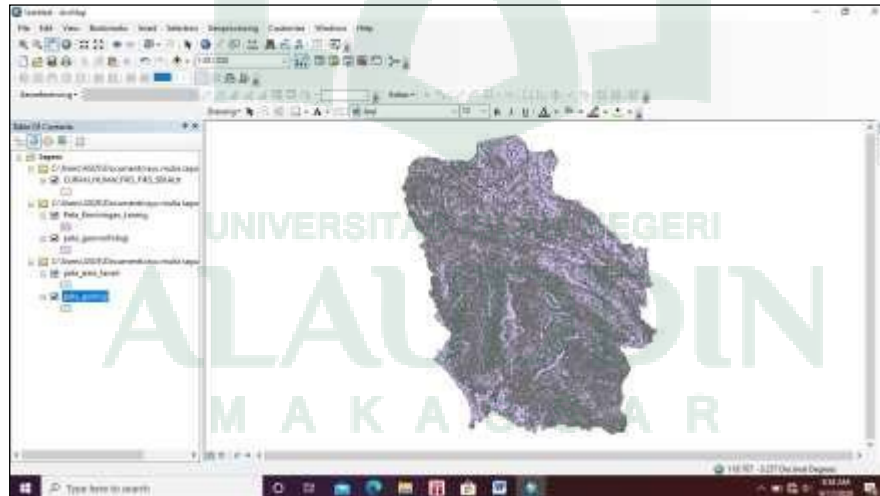
21. Maka muncul peta kemiringan lereng. Dan lakukan hal yang sama dengan parameter yang keempatnya.



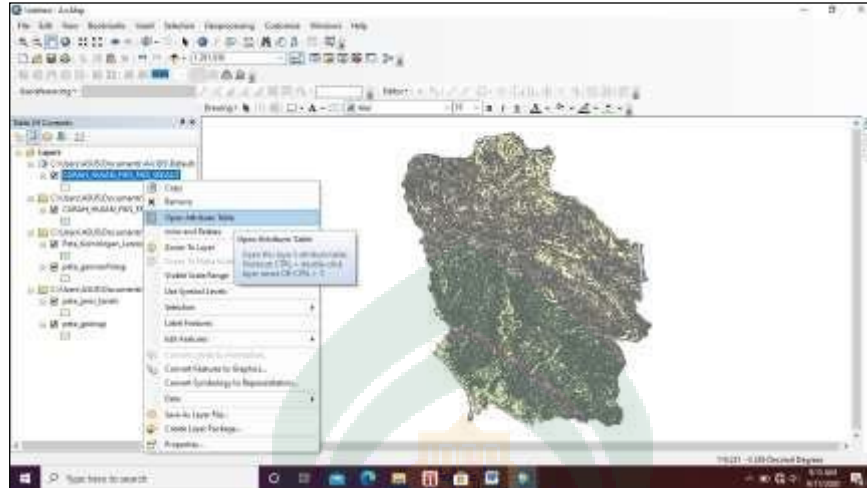
22. Kemudian untuk peta rawan longsor pilih *Arc toolbox* pilih *Overlay* pilih *intersect*, dan menginput 5 parameter yaitu geologi, jenis tanah, geomorfologi, curah hujan, dan kemiringan lereng kemudian klik ok



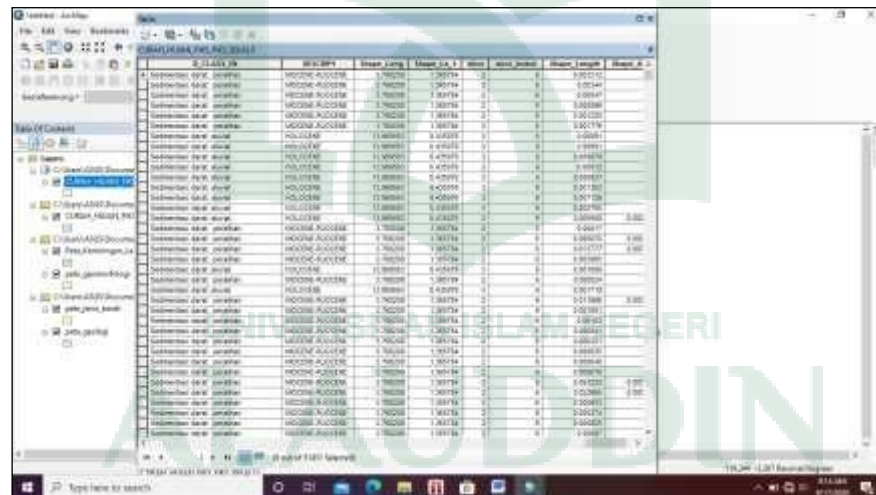
23. Maka akan muncul peta setelah intersect di klik



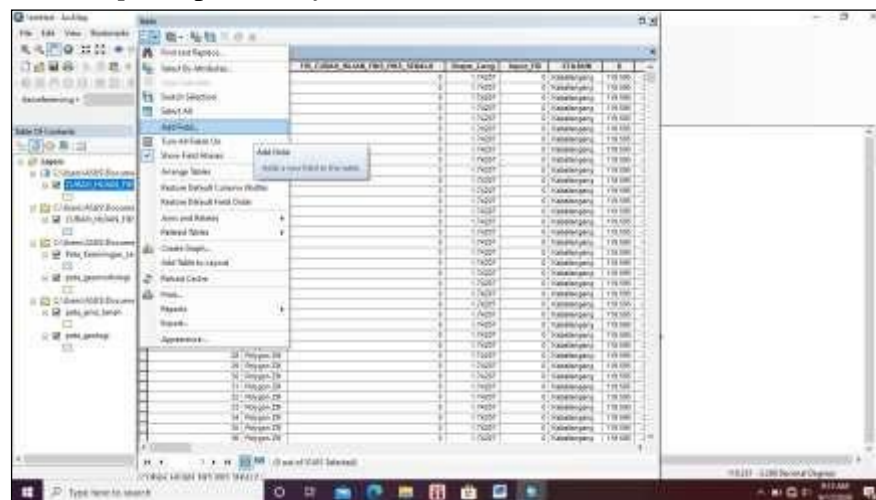
24. Nama peta (hasil scoring) setelah intersect di klik. Kemudian klik kiri hasil scoring pada *layers* pilih *open attribute table*



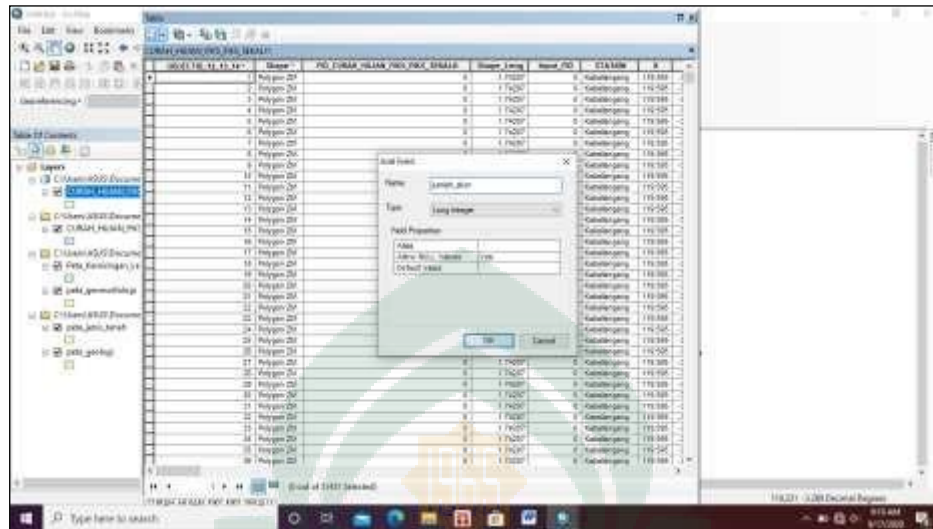
25. Maka akan muncul semua nilai skor_bobot jenis tanah, geologi, kemiringan lereng, curah hujan dan geomorfologi



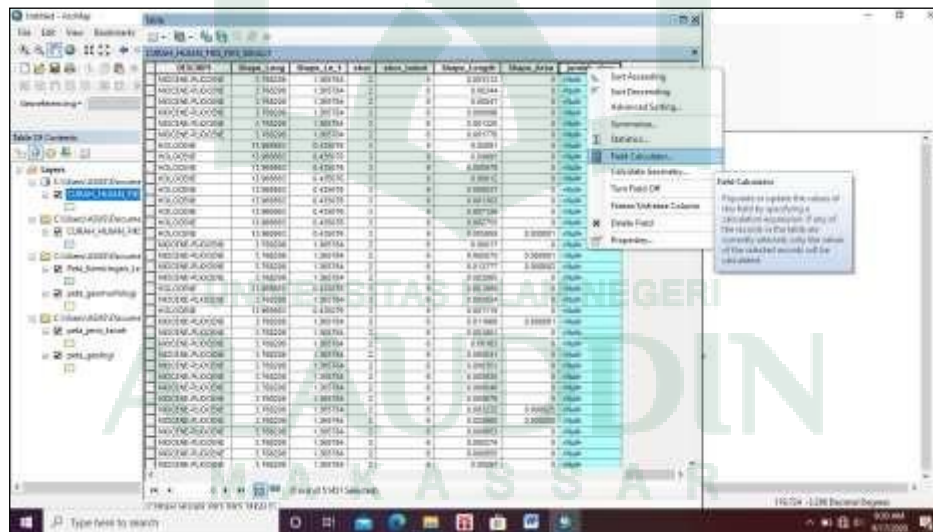
26. Klik *table option* pilih *add field*



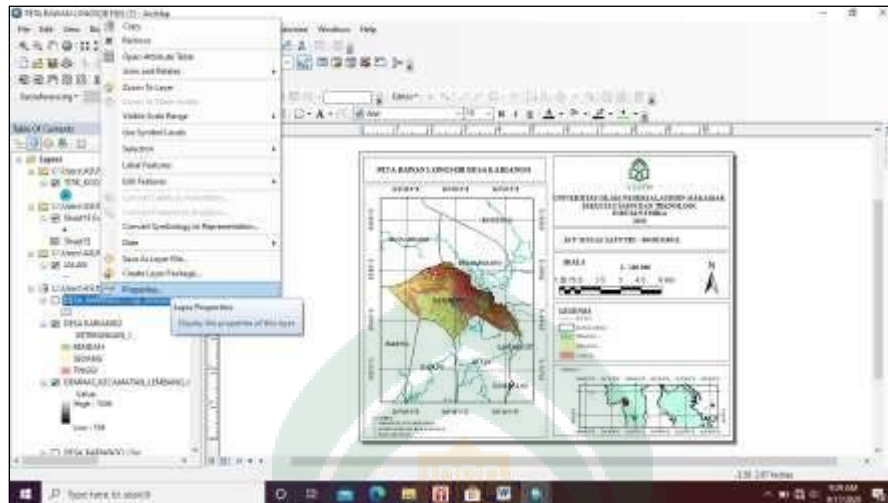
27. Ketik jumlah skor kemudian pilih *type* ganti dengan *long integer* lalu *ok*



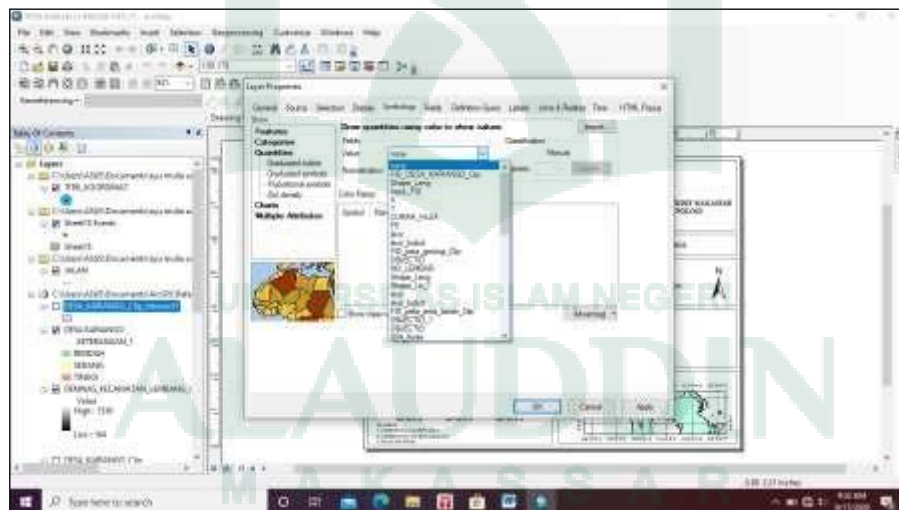
28. Setelah semua data akan muncul klik kanan skor total pilih *field calculator*



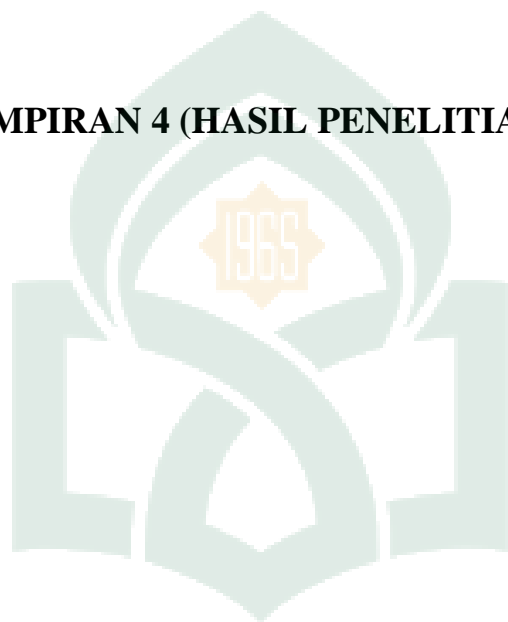
31. kemudian klik kiri pada layers hasil scoring pilih properties



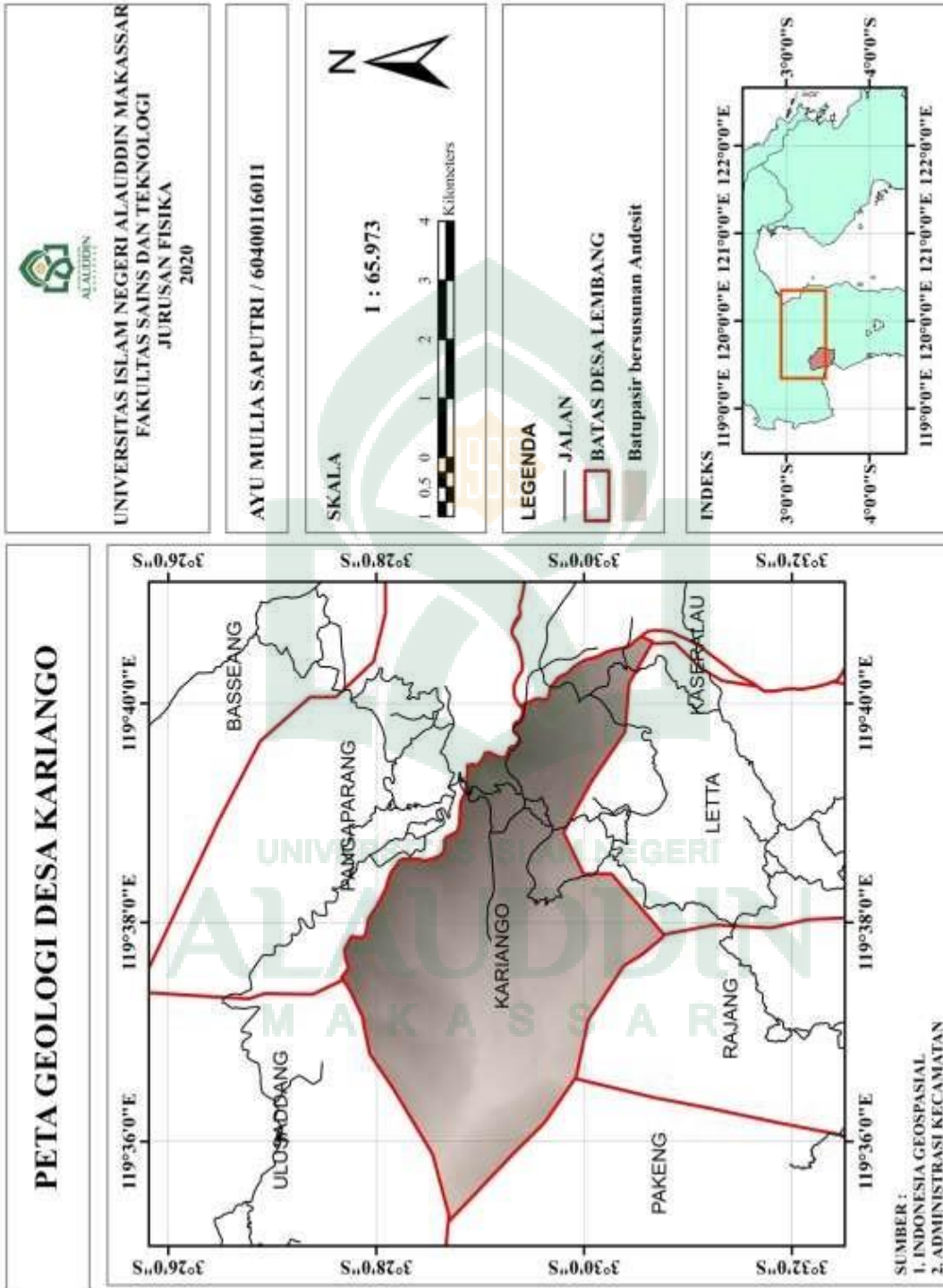
32. Pilih *symbolology* lalu *categories* kemudian pilih *value field* ganti namanya dengan *jumlah_skor* lalu *ok*




LAMPIRAN 4 (HASIL PENELITIAN)



UNIVERSITAS ISLAM NEGERI
ALAUDDIN
M A K A S S A R






UNIVERSITAS ISLAM NEGERI ALAUDDIN MAKASSAR
FAKULTAS SAINS DAN TEKNOLOGI
JURUSAN FISIKA
2020

AYU MULIA SAPUTRI / 60400116011

SKALA


1 : 80.000



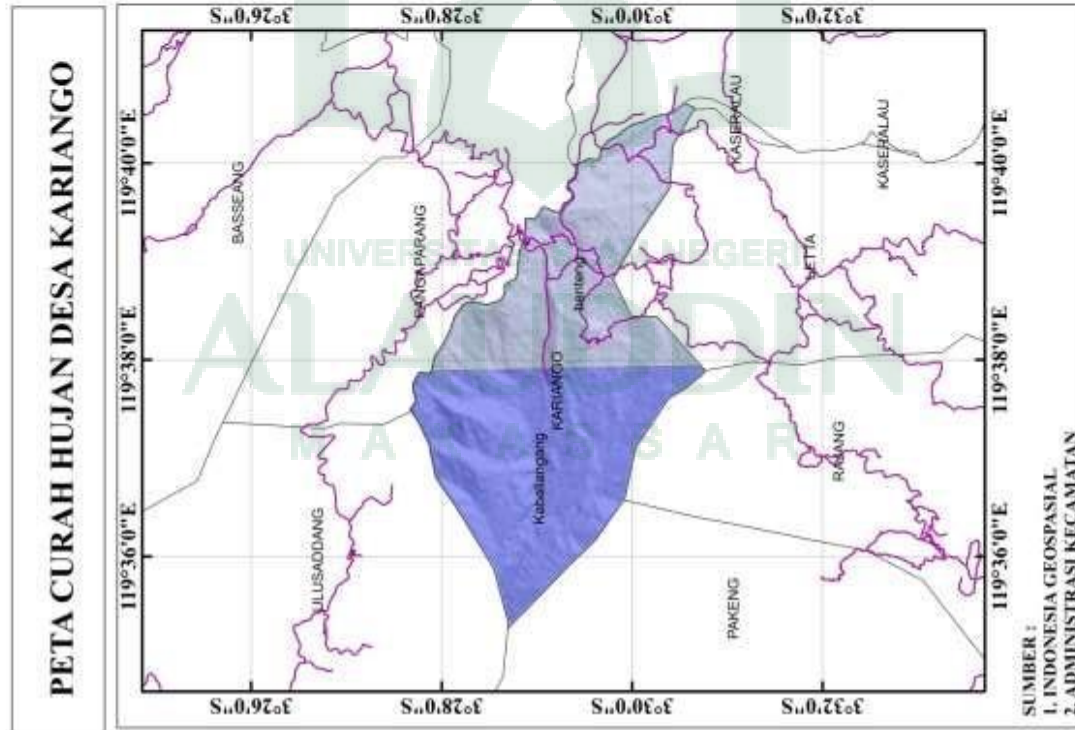
LEGENDA

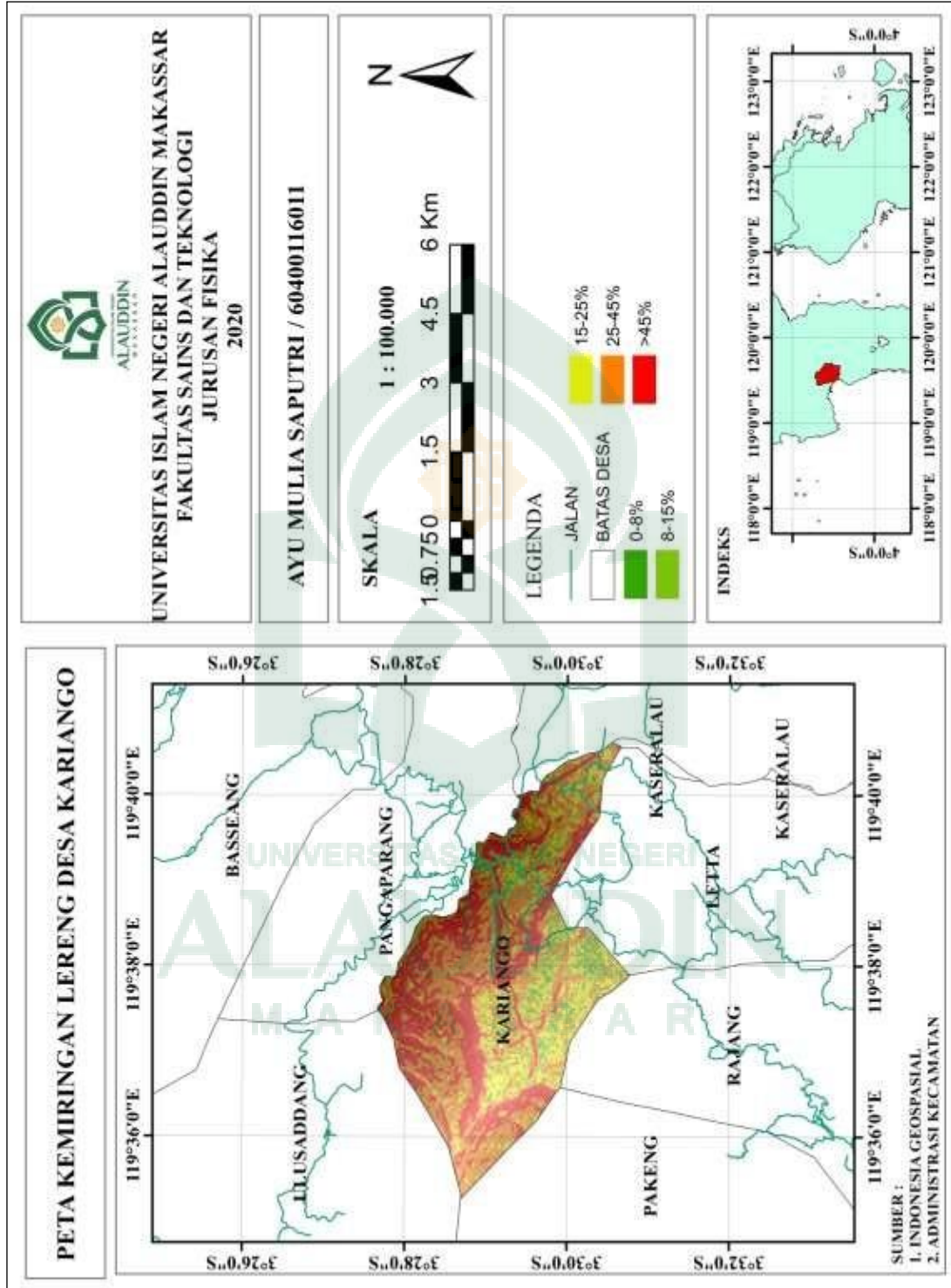
- DESA KARIANGO
- JALAN
- 55.916667
- 138.333333

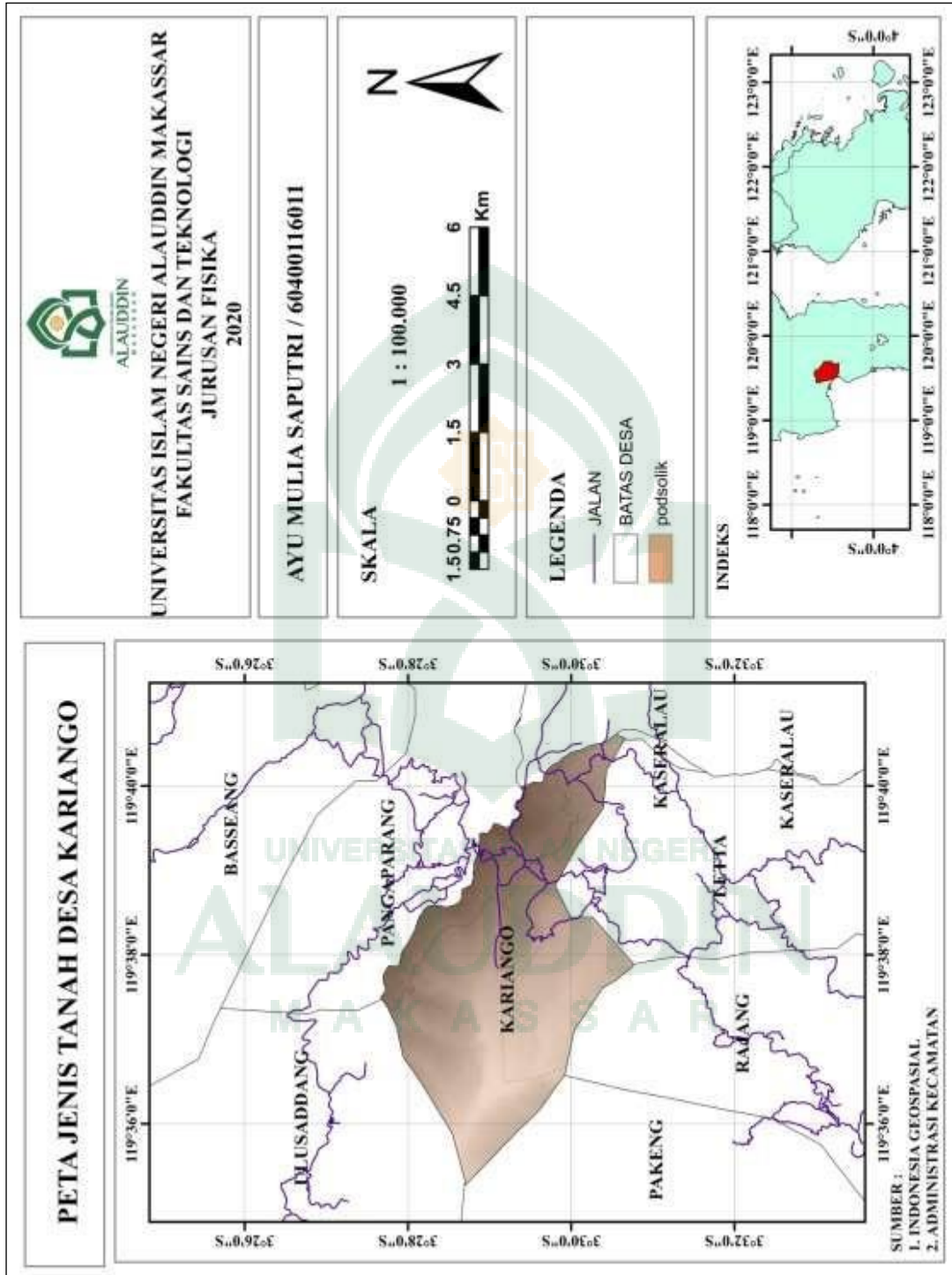
INDEKS

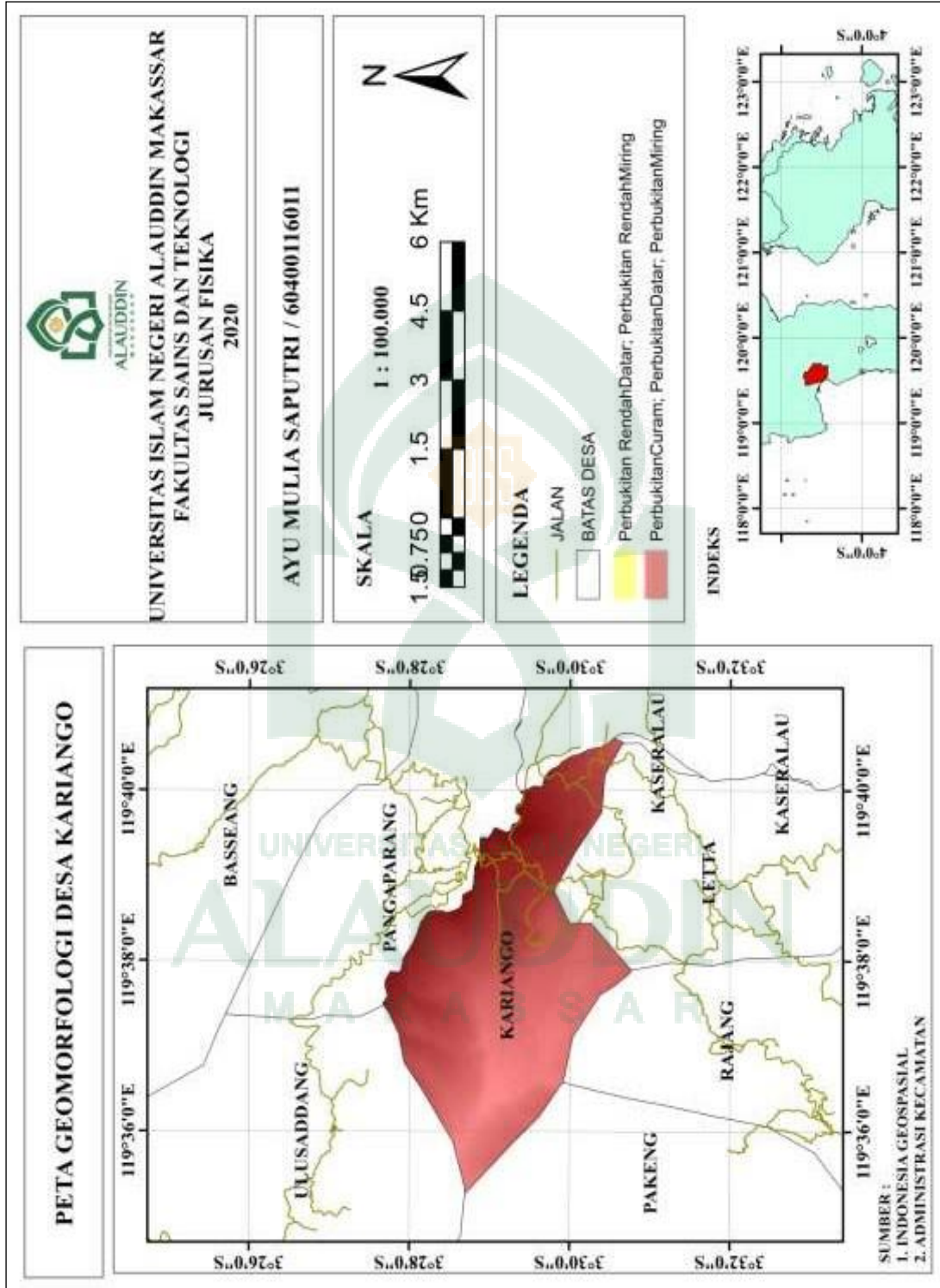


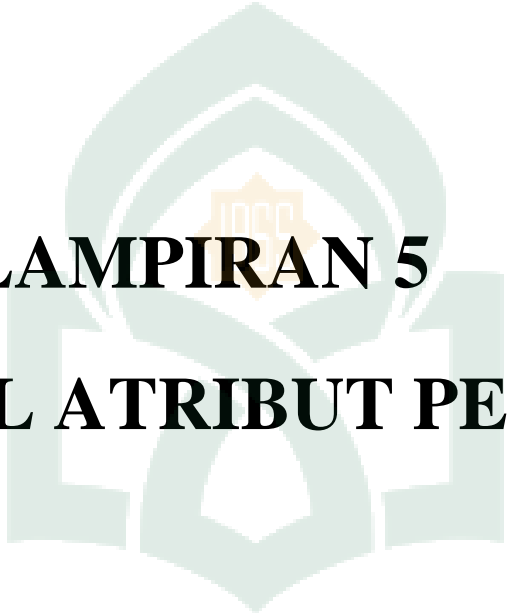
4°0'0" S
118°0'0" E 119°0'0" E 120°0'0" E 121°0'0" E 122°0'0" E 123°0'0" E
118°0'0" E 119°0'0" E 120°0'0" E 121°0'0" E 122°0'0" E 123°0'0" E
0°0'0" S











LAMPIRAN 5
(TABEL ATRIBUT PETA)

UNIVERSITAS ISLAM NEGERI
ALAUDDIN
M A K A S S A R

1. Data Geologi

OBJECTID_1	Shape*	OBJECTID	SYMBOL	NM LEMBAR	NO LEMBAR	PROJECT	NAME	FORMATION	CLASS_LITH	T CLASS_EN	B CLASS_EN
1	Polygon 2	2	Tirasa	BAJENE	302	BOGOLA	Batuapir berstruktur Andesit	Batuapir berstruktur Andesit	Sedimen liaska sedang batupasir	Sedimentasi darat perialih	Sedimentasi darat perialih

DESCRIP1	Shape_Leng	Shape_Le_1	skor	skor_bobot	Shape_Length	Shape_Area
MIOCENE-PLIOCENE	3.768208	1.365784	2	6	0.247842	0.002173

2. Data Jenis tanah

OBJECTID_12*	Shape*	OBJECTID_1	OBJECTID	IDN_Kode	IDN_Symb	PWG_PRRU	Src_Elr	Src_Slope	Src_SlopeD	SRTM_Elr	SRTM_Slope	SRTM_SlopeD	Src_Lndform
1	Polygon ZM	23	14455	36	PDH	9999	600 - 2800	5 >20	< 600	5 >20			RaPPPhoT: asymmetric broadly diss. ridges on sandstones and mud
2	Polygon ZM	24	14459	36	PDH	9999	600 - 2800	5 >20	600 - 2800	4 10 - <0			RaPPPhoT: asymmetric broadly diss. ridges on sandstones and mud
3	Polygon ZM	25	14463	36	PDH	9999	600 - 2800	5 >20	600 - 2800	5 >20			RaPPPhoT: asymmetric broadly diss. ridges on sandstones and mud

Src_Lndform	Src_Lyth	Src_Use	Note	SmpL_vt	SmpLkm_vt	Type_vt	TypeKam_vt	SmpL_v2	SmpL
RaPPPhoT: asymmetric broadly diss. ridges on sandstones and mud	RaPPPhoT: Desalin strong, dissect, mt slop_grad 30-75%	RaPPPhoT: No database Landform		7	Other foothills	75	Other ridges with slope > 20°	6	Other fo
RaPPPhoT: asymmetric broadly diss. ridges on sandstones and mud	RaPPPhoT: Desalin strong, dissect, mt slop_grad 30-75%	RaPPPhoT: No database Landform		7	Other ridges	75	Other ridges with slope > 20°	7	Other ridg
RaPPPhoT: asymmetric broadly diss. ridges on sandstones and mud	RaPPPhoT: Desalin strong, dissect, mt slop_grad 30-75%	RaPPPhoT: No database Landform		7	Other ridges	75	Other ridges with slope > 20°	7	Other ridg

SmpLkm_vt	Type_vt	TypeKam_vt	SmpL_v2	SmpLkm_v2	Type_v2	TypeKam_v2	Shape_Leng	Shape_Le_1	jenis_tanah	skor	skor_bobot	Shape_Length	Shape_Area
Other foothills	75	Other ridges with slope > 20°	6	Other foothills	6075	Other foothills with slope > 20°	189.720265	1.642707	podsolik	2	6	0.189411	0.00410
Other ridges	75	Other ridges with slope > 20°	7	Other ridges	74	Other ridges with slope 10° - 20°	334.074813	1.64977	podsolik	2	3	0.065299	0.00484
Other ridges	75	Other ridges with slope > 20°	7	Other ridges	75	Other ridges with slope > 20°	180.054905	2.277498	podsolik	2	8	0.262124	0.007263

3. Data kemiringan lereng

OBJECTID *	Shape *	gridcode	Kelas_Slop	Keterangan	skor	skor_bobot	Shape_Length	Shape_Area	luas_1
1	Polygon ZM	1	0-8%	Datar	1	3	47044.922707	519228.622477	51.922862
2	Polygon ZM	2	8-15%	Landai	2	6	141422.648782	1829801.521943	182.980152
3	Polygon ZM	3	15-25%	Agak Curam	3	9	289475.731181	5253160.528703	525.316053
4	Polygon ZM	4	25-45%	Curam	4	12	383512.554447	11014521.722168	1101.452172
5	Polygon ZM	5	>45%	Sangat Curam	5	15	197611.164313	8089586.342473	808.958634

4. Data geomorfologi

OBJECTID *	Shape *	OBJECTID *	Shape *	gridcode	skor	skor_bobot	Shape_Length	Shape_Area	luas							
1	Polygon ZM	151	8	8	3	Rehabilitasi Kemiringan	14872	14872	1	Datar	16.42071	Rehabilitasi Kemiringan	4.537972	4	16.42071	208.24762
3	Polygon ZM	156	8	8	3	Rehabilitasi Kemiringan	14865	14865	1	Datar	200.04204	Rehabilitasi Kemiringan	4.537972	4	200.04204	255.31606
3	Polygon ZM	163	8	8	3	Rehabilitasi Kemiringan	14866	14866	1	Datar	250.81607	Rehabilitasi Kemiringan	4.537972	4	250.81607	307.21855
4	Polygon ZM	162	8	8	2	Rehabilitasi Kemiringan	14814	14814	2	Datar	782.81121	Rehabilitasi Kemiringan	4.537972	4	782.81121	972.21222
3	Polygon ZM	14988	23	23	3	Rehabilitasi Kemiringan	12601	12602	2	Miring	106.42084	Rehabilitasi Kemiringan	4.537972	3	106.42084	132.42891
6	Polygon ZM	14815	23	23	3	Rehabilitasi Kemiringan	12601	12601	2	Miring	122.81907	Rehabilitasi Kemiringan	4.537972	3	122.81907	152.42787
7	Polygon ZM	14874	23	23	3	Rehabilitasi Kemiringan	12601	12602	2	Miring	106.42084	Rehabilitasi Kemiringan	4.537972	3	106.42084	132.42891
8	Polygon ZM	14876	23	23	3	Rehabilitasi Kemiringan	12601	12602	2	Miring	106.42084	Rehabilitasi Kemiringan	4.537972	3	106.42084	132.42891
9	Polygon ZM	14885	23	23	3	Rehabilitasi Kemiringan	12601	12602	2	Miring	106.42084	Rehabilitasi Kemiringan	4.537972	3	106.42084	132.42891
11	Polygon ZM	14895	23	23	3	Rehabilitasi Kemiringan	12601	12602	2	Miring	106.42084	Rehabilitasi Kemiringan	4.537972	3	106.42084	132.42891
13	Polygon ZM	14888	23	23	3	Rehabilitasi Kemiringan	12601	12602	2	Miring	106.42084	Rehabilitasi Kemiringan	4.537972	3	106.42084	132.42891
13	Polygon ZM	14869	23	23	3	Rehabilitasi Kemiringan	12601	12602	2	Miring	106.42084	Rehabilitasi Kemiringan	4.537972	3	106.42084	132.42891
14	Polygon ZM	14718	23	23	3	Rehabilitasi Kemiringan	12601	12602	2	Miring	106.42084	Rehabilitasi Kemiringan	4.537972	3	106.42084	132.42891
15	Polygon ZM	14747	23	23	3	Rehabilitasi Kemiringan	12601	12602	2	Miring	106.42084	Rehabilitasi Kemiringan	4.537972	3	106.42084	132.42891
16	Polygon ZM	14742	23	23	3	Rehabilitasi Kemiringan	12601	12602	2	Miring	106.42084	Rehabilitasi Kemiringan	4.537972	3	106.42084	132.42891
17	Polygon ZM	14794	23	23	3	Rehabilitasi Kemiringan	12601	12602	2	Miring	106.42084	Rehabilitasi Kemiringan	4.537972	3	106.42084	132.42891
18	Polygon ZM	14762	23	23	3	Rehabilitasi Kemiringan	12601	12602	2	Miring	106.42084	Rehabilitasi Kemiringan	4.537972	3	106.42084	132.42891
19	Polygon ZM	14762	23	23	3	Rehabilitasi Kemiringan	12601	12602	2	Miring	106.42084	Rehabilitasi Kemiringan	4.537972	3	106.42084	132.42891
20	Polygon ZM	14762	23	23	3	Rehabilitasi Kemiringan	12601	12602	2	Miring	106.42084	Rehabilitasi Kemiringan	4.537972	3	106.42084	132.42891
21	Polygon ZM	14821	23	23	3	Rehabilitasi Kemiringan	12601	12602	2	Miring	106.42084	Rehabilitasi Kemiringan	4.537972	3	106.42084	132.42891
22	Polygon ZM	14815	23	23	3	Rehabilitasi Kemiringan	12601	12602	2	Miring	106.42084	Rehabilitasi Kemiringan	4.537972	3	106.42084	132.42891
23	Polygon ZM	14838	23	23	3	Rehabilitasi Kemiringan	12601	12602	2	Miring	106.42084	Rehabilitasi Kemiringan	4.537972	3	106.42084	132.42891
24	Polygon ZM	14852	23	23	3	Rehabilitasi Kemiringan	12601	12602	2	Miring	106.42084	Rehabilitasi Kemiringan	4.537972	3	106.42084	132.42891
25	Polygon ZM	14888	23	23	3	Rehabilitasi Kemiringan	12601	12602	2	Miring	106.42084	Rehabilitasi Kemiringan	4.537972	3	106.42084	132.42891
27	Polygon ZM	14876	23	23	3	Rehabilitasi Kemiringan	12601	12602	2	Miring	106.42084	Rehabilitasi Kemiringan	4.537972	3	106.42084	132.42891
28	Polygon ZM	14871	23	23	3	Rehabilitasi Kemiringan	12601	12602	2	Miring	106.42084	Rehabilitasi Kemiringan	4.537972	3	106.42084	132.42891
29	Polygon ZM	14888	23	23	3	Rehabilitasi Kemiringan	12601	12602	2	Miring	106.42084	Rehabilitasi Kemiringan	4.537972	3	106.42084	132.42891
30	Polygon ZM	14852	23	23	3	Rehabilitasi Kemiringan	12601	12602	2	Miring	106.42084	Rehabilitasi Kemiringan	4.537972	3	106.42084	132.42891
31	Polygon ZM	14888	23	23	3	Rehabilitasi Kemiringan	12601	12602	2	Miring	106.42084	Rehabilitasi Kemiringan	4.537972	3	106.42084	132.42891
32	Polygon ZM	14899	23	23	3	Rehabilitasi Kemiringan	12601	12602	2	Miring	106.42084	Rehabilitasi Kemiringan	4.537972	3	106.42084	132.42891
33	Polygon ZM	14907	23	23	3	Rehabilitasi Kemiringan	12601	12602	2	Miring	106.42084	Rehabilitasi Kemiringan	4.537972	3	106.42084	132.42891
34	Polygon ZM	14923	23	23	3	Rehabilitasi Kemiringan	12601	12602	2	Miring	106.42084	Rehabilitasi Kemiringan	4.537972	3	106.42084	132.42891
35	Polygon ZM	14879	23	23	3	Rehabilitasi Kemiringan	12601	12602	2	Miring	106.42084	Rehabilitasi Kemiringan	4.537972	3	106.42084	132.42891
36	Polygon ZM	14910	23	23	3	Rehabilitasi Kemiringan	12601	12602	2	Miring	106.42084	Rehabilitasi Kemiringan	4.537972	3	106.42084	132.42891
37	Polygon ZM	14948	23	23	3	Rehabilitasi Kemiringan	12601	12602	2	Miring	106.42084	Rehabilitasi Kemiringan	4.537972	3	106.42084	132.42891

OBJEKTO-1	Shape	OBJEKTO	RD	keantar	st	gndroom	strans	FD	Dist	st	gndkode	c	shape	Shape_Leng	Permittafata	Luas	ekor	ekor_bobot	Shape_Length	Shape_Area
73	Polygon_2M	18173	25	25	3	Perbaikan	12574	12574	1	Datar	175	34565	PerbaikanData	8.128225	3	18	175	345708	1258.55587	
74	Polygon_2M	18174	25	25	3	Perbaikan	12625	12625	1	Datar	174	38571	PerbaikanData	8.134058	3	18	174	382385	1259.82532	
75	Polygon_2M	18175	25	25	3	Perbaikan	12676	12676	3	Curam	975	87532	PerbaikanCuram	1.243383	3	18	975	877934	1263.94743	
76	Polygon_2M	18176	25	25	3	Perbaikan	12727	12727	2	Miring	102	202791	PerbaikanMiring	3.572556	3	18	102	202805	1272.37713	
77	Polygon_2M	18177	25	25	3	Perbaikan	12818	12818	1	Datar	178	39738	PerbaikanData	8.138388	3	18	178	402289	1281.94889	
78	Polygon_2M	18180	25	25	3	Perbaikan	12815	12815	3	Curam	175	34565	PerbaikanCuram	8.128225	3	18	175	345628	1281.51787	
79	Polygon_2M	18188	25	25	3	Perbaikan	12862	12862	1	Datar	176	40238	PerbaikanData	8.138388	3	18	176	408417	1285.92271	
80	Polygon_2M	18189	25	25	3	Perbaikan	12863	12863	2	Miring	125	41137	PerbaikanMiring	3.088511	3	18	125	41168	1285.18482	
81	Polygon_2M	18190	25	25	3	Perbaikan	12864	12864	1	Datar	176	40238	PerbaikanData	8.138388	3	18	176	408294	1285.92182	
82	Polygon_2M	18191	25	25	3	Perbaikan	12865	12865	1	Datar	176	40238	PerbaikanData	8.138388	3	18	176	412443	1285.128978	
83	Polygon_2M	18204	25	25	3	Perbaikan	12812	12812	3	Curam	176	40238	PerbaikanCuram	8.138388	3	18	176	402917	1283.32217	
84	Polygon_2M	18208	25	25	3	Perbaikan	12873	12873	2	Miring	200	86670	PerbaikanMiring	3.522411	3	18	200	86475	1284.178643	
85	Polygon_2M	18221	25	25	3	Perbaikan	12861	12861	1	Datar	175	38567	PerbaikanData	8.128225	3	18	175	38680	1283.83281	
86	Polygon_2M	18222	25	25	3	Perbaikan	12860	12860	3	Curam	207	22271	PerbaikanCuram	8.188881	3	18	207	22283	1284.838112	
87	Polygon_2M	18223	25	25	3	Perbaikan	12860	12860	1	Datar	176	40238	PerbaikanData	8.138388	3	18	176	406481	1283.23248	
88	Polygon_2M	18224	25	25	3	Perbaikan	12864	12864	3	Curam	276	71888	PerbaikanCuram	8.371888	3	18	276	71878	1283.88813	
89	Polygon_2M	18225	25	25	3	Perbaikan	12868	12868	1	Datar	204	47428	PerbaikanData	8.137148	3	18	204	47279	1283.45587	
90	Polygon_2M	18226	25	25	3	Perbaikan	12868	12868	2	Miring	175	34565	PerbaikanMiring	3.128225	3	18	175	34480	1283.24883	
91	Polygon_2M	18237	25	25	3	Perbaikan	12868	12868	3	Curam	307	47427	PerbaikanCuram	7.347817	3	18	307	47488	1283.88813	
92	Polygon_2M	18238	25	25	3	Perbaikan	12869	12869	1	Datar	176	40238	PerbaikanData	8.138388	3	18	176	40628	1283.83281	
93	Polygon_2M	18239	25	25	3	Perbaikan	12871	12871	3	Curam	223	87427	PerbaikanCuram	8.488111	3	18	223	874	1283.83281	
94	Polygon_2M	18240	25	25	3	Perbaikan	12871	12871	1	Datar	176	40238	PerbaikanData	8.138388	3	18	176	40627	1283.83281	
95	Polygon_2M	18248	25	25	3	Perbaikan	12871	12871	3	Curam	176	40238	PerbaikanCuram	8.138388	3	18	176	40828	1283.83281	
96	Polygon_2M	18249	25	25	3	Perbaikan	12871	12871	3	Curam	176	40238	PerbaikanCuram	8.138388	3	18	176	40828	1283.83281	
97	Polygon_2M	18249	25	25	3	Perbaikan	12871	12871	1	Datar	176	40238	PerbaikanData	8.138388	3	18	176	40828	1283.83281	
98	Polygon_2M	18250	25	25	3	Perbaikan	12871	12871	3	Curam	279	47427	PerbaikanCuram	8.338278	3	18	279	47428	1283.83281	
99	Polygon_2M	18251	25	25	3	Perbaikan	12871	12871	3	Curam	279	47427	PerbaikanCuram	8.338278	3	18	279	47428	1283.83281	
100	Polygon_2M	18251	25	25	3	Perbaikan	12871	12871	1	Datar	176	40238	PerbaikanData	8.138388	3	18	176	40828	1283.83281	
101	Polygon_2M	18252	25	25	3	Perbaikan	12871	12871	3	Curam	279	47427	PerbaikanCuram	8.338278	3	18	279	47428	1283.83281	
102	Polygon_2M	18253	25	25	3	Perbaikan	12871	12871	3	Curam	279	47427	PerbaikanCuram	8.338278	3	18	279	47428	1283.83281	
103	Polygon_2M	18254	25	25	3	Perbaikan	12871	12871	1	Datar	176	40238	PerbaikanData	8.138388	3	18	176	40828	1283.83281	
104	Polygon_2M	18255	25	25	3	Perbaikan	12871	12871	3	Curam	279	47427	PerbaikanCuram	8.338278	3	18	279	47428	1283.83281	
105	Polygon_2M	18256	25	25	3	Perbaikan	12871	12871	3	Curam	279	47427	PerbaikanCuram	8.338278	3	18	279	47428	1283.83281	
106	Polygon_2M	18257	25	25	3	Perbaikan	12871	12871	1	Datar	176	40238	PerbaikanData	8.138388	3	18	176	40828	1283.83281	
107	Polygon_2M	18258	25	25	3	Perbaikan	12871	12871	3	Curam	279	47427	PerbaikanCuram	8.338278	3	18	279	47428	1283.83281	
108	Polygon_2M	18259	25	25	3	Perbaikan	12871	12871	3	Curam	279	47427	PerbaikanCuram	8.338278	3	18	279	47428	1283.83281	
109	Polygon_2M	18260	25	25	3	Perbaikan	12871	12871	1	Datar	176	40238	PerbaikanData	8.138388	3	18	176	40828	1283.83281	
110	Polygon_2M	18261	25	25	3	Perbaikan	12871	12871	3	Curam	279	47427	PerbaikanCuram	8.338278	3	18	279	47428	1283.83281	
111	Polygon_2M	18262	25	25	3	Perbaikan	12871	12871	3	Curam	279	47427	PerbaikanCuram	8.338278	3	18	279	47428	1283.83281	
112	Polygon_2M	18263	25	25	3	Perbaikan	12871	12871	1	Datar	176	40238	PerbaikanData	8.138388	3	18	176	40828	1283.83281	
113	Polygon_2M	18264	25	25	3	Perbaikan	12871	12871	3	Curam	279	47427	PerbaikanCuram	8.338278	3	18	279	47428	1283.83281	
114	Polygon_2M	18265	25	25	3	Perbaikan	12871	12871	3	Curam	279	47427	PerbaikanCuram	8.338278	3	18	279	47428	1283.83281	
115	Polygon_2M	18266	25	25	3	Perbaikan	12871	12871	1	Datar	176	40238	PerbaikanData	8.138388	3	18	176	40828	1283.83281	
116	Polygon_2M	18267	25	25	3	Perbaikan	12871	12871	3	Curam	279	47427	PerbaikanCuram	8.338278	3	18	279	47428	1283.83281	
117	Polygon_2M	18268	25	25	3	Perbaikan	12871	12871	3	Curam	279	47427	PerbaikanCuram	8.338278	3	18	279	47428	1283.83281	
118	Polygon_2M	18269	25	25	3	Perbaikan	12871	12871	1	Datar	176	40238	PerbaikanData	8.138388	3	18	176	40828	1283.83281	
119	Polygon_2M	18270	25	25	3	Perbaikan	12871	12871	3	Curam	279	47427	PerbaikanCuram	8.338278	3	18	279	47428	1283.83281	

OBJEKTO-1	Shape	OBJEKTO	RD	keantar	st	gndroom	strans	FD	Dist	st	gndkode	c	shape	Shape_Leng	Permittafata	Luas	ekor	ekor_bobot	Shape_Length	Shape_Area
120	Polygon_2M	18271	25	25	3	Perbaikan	12871	12871	2	Miring	300	55424	PerbaikanMiring	3.128225	3	18	300	55427	1283.83281	
121	Polygon_2M	18272	25	25	3	Perbaikan	12871	12871	1	Datar	176	40238	PerbaikanData	8.138388	3	18	176	40828	1283.83281	
122	Polygon_2M	18273	25	25	3	Perbaikan	12871	12871	3	Curam	279	47427	PerbaikanCuram	8.338278	3	18	279	47428	1283.83281	
123	Polygon_2M	18274	25	25	3	Perbaikan	12871	12871	2	Miring	401	37962	PerbaikanMiring	3.555994	3	18	401	37967	1283.83281	
124	Polygon_2M	18275	25	25	3	Perbaikan	12871	12871	1	Datar	176	40238	PerbaikanData	8.138388	3	18	176	40828	1283.83281	
125	Polygon_2M	18276	25	25	3	Perbaikan	12871	12871	2	Miring	176	40238	PerbaikanMiring	3.088511	3	18	176	40238	1283.83281	
126	Polygon_2M	18277	25	25	3	Perbaikan	12871	12871	1	Datar	176	40238	PerbaikanData	8.138388	3	18	176	40828	1283.83281	
127	Polygon_2M	18278	25	25	3	Perbaikan	12871	12871	3	Curam	279	47427	PerbaikanCuram	8.338278	3	18	279	47428	1283.83281	
128	Polygon_2M	18279	25	25	3	Perbaikan	12871	12871	3	Curam	279	47427	PerbaikanCuram	8.338278	3	18	279	47428	1283.83281	
129	Polygon_2M	18280	25	25	3	Perbaikan	12871	12871	1	Datar	176	40238	PerbaikanData	8.138388	3	18	176	40828	1283.83281	
130	Polygon_2M	18281	25	25	3	Perbaikan	12871	12871	3	Curam	279	47427	PerbaikanCuram	8.338278	3	18	279	47428	1283.83281	
131	Polygon_2M	18282	25	25	3	Perbaikan	12871	12871	3	Curam	279	47427	PerbaikanCuram	8.338278	3	18	279	47428	1283.83281	
132	Polygon_2M	18283	25	25	3	Perbaikan	12871	12871	1	Datar	176	40238	PerbaikanData	8.138388	3	18	176	40828	1283.83281	
133	Polygon_2M	18284	25	25	3	Perbaikan	12871	12871	3	Curam	279	47427	PerbaikanCuram	8.338278	3	18	279	47428	1283.83281	
134	Polygon_2M	18285	25	25	3	Perbaikan	12871	12871	3	Curam	279	47427	PerbaikanCuram	8.338278	3	18	279	47428	1283.83281	
135	Polygon_2M	18286	25	25	3	Perbaikan	12871	12871	1	Datar	176	40238	PerbaikanData	8.138388	3	18	176	40828	1283.83281	
136	Polygon_2M	18287	25	25	3	Perbaikan	12871	12871	3	Curam	279	47427	PerbaikanCuram	8.338278	3	18	279	47428	1283.83281	
137	Polygon_2M	18288	25	25	3	Perbaikan	12871	12871	3	Curam	279	47427	PerbaikanCuram	8.338278	3	18	279	47428	1283.83281	
138	Polygon_2M	18289	25	25	3	Perbaikan	12871	12871	1	Datar	176	40238	PerbaikanData	8.138388	3	18	176	40828	1283.83281	
139	Polygon_2M	18290	25	25	3	Perbaikan	12871	12871	3	Curam	279	47427	PerbaikanCuram	8.338278	3	18	279	47428	1283.83281	
140	Polygon_2M	18291	25	25	3	Perbaikan	12871	12871	3	Curam	279	47427	PerbaikanCuram	8.338278	3	18	279	47428	1283.83281	

File Edit View Database Tools Help

msys_generatehelp_Cip

OBJEKT_ID_1	Shape	OBJEKT_ID	RD_Areas	#	gndrooms	mrnsrt	RD_Area_1	#	gndkode_1	abpe	Shape_Leng	Bentangkata	Lama	skor	skor_bobot	Shape_Length	Shape_Area
189	Polygon_2D	18314	23	20	1	Perbaikan	13607	13607	1	Data	118.800744	PerbaikanCairan	8.091165	3	18	118.80069	811.63281
118	Polygon_2D	18316	23	20	2	Perbaikan	13608	13608	1	Coran	118.800328	PerbaikanCairan	8.090320	3	18	118.800313	803.93232
111	Polygon_2D	18316	23	20	3	Perbaikan	13718	13718	1	Data	118.800328	PerbaikanCairan	8.090320	3	18	118.800305	803.93232
112	Polygon_2D	18315	23	20	2	Perbaikan	13717	13717	1	Coran	803.413278	PerbaikanCairan	2.188493	3	18	812.414108	2388.93232
114	Polygon_2D	18302	23	20	1	Perbaikan	13718	13718	1	Coran	481.728872	PerbaikanCairan	2.188493	3	18	481.708884	1888.18881
116	Polygon_2D	18333	23	20	2	Perbaikan	13718	13718	1	Coran	803.607748	PerbaikanCairan	8.020784	3	18	803.607780	3087.64378
118	Polygon_2D	18348	23	20	3	Perbaikan	13718	13718	1	Data	118.800328	PerbaikanCairan	8.090320	3	18	118.800305	803.93232
116	Polygon_2D	18338	23	20	3	Perbaikan	13719	13719	1	Coran	417.804117	PerbaikanCairan	8.020784	3	18	417.804080	3078.18882
117	Polygon_2D	18338	23	20	2	Perbaikan	13720	13720	1	Coran	118.800328	PerbaikanCairan	8.090320	3	18	118.800317	803.93231
118	Polygon_2D	18347	23	20	3	Perbaikan	13720	13720	1	Data	239.872720	PerbaikanCairan	8.188800	3	18	239.871723	1888.48188
116	Polygon_2D	18375	23	20	3	Perbaikan	13728	13728	1	Data	118.800328	PerbaikanCairan	8.090320	3	18	118.800317	803.93231
129	Polygon_2D	18374	23	20	3	Perbaikan	13720	13720	1	Data	118.800328	PerbaikanCairan	8.090320	3	18	118.800317	803.93231
121	Polygon_2D	18375	23	20	3	Perbaikan	13742	13742	1	Coran	118.800328	PerbaikanCairan	8.090320	3	18	118.800419	803.93231
120	Polygon_2D	18378	23	20	3	Perbaikan	13740	13740	1	Data	123.418107	PerbaikanCairan	8.090311	3	18	123.418100	808.18882
122	Polygon_2D	18375	23	20	3	Perbaikan	13754	13754	1	Mring	123.418107	PerbaikanCairan	8.090311	3	18	123.418100	808.18882
124	Polygon_2D	18388	23	20	3	Perbaikan	13828	13828	1	Coran	287.888820	PerbaikanCairan	8.090320	3	18	287.888820	2078.18881
128	Polygon_2D	18397	23	20	3	Perbaikan	13828	13828	1	Coran	218.228880	PerbaikanCairan	8.090320	3	18	218.228880	2882.93232
126	Polygon_2D	18396	23	20	3	Perbaikan	13819	13819	1	Coran	387.802142	PerbaikanCairan	8.020784	3	18	387.802120	3227.18881
127	Polygon_2D	18398	23	20	3	Perbaikan	13811	13811	1	Data	118.800744	PerbaikanCairan	8.091183	3	18	118.800688	811.63281
132	Polygon_2D	18415	23	20	3	Perbaikan	13828	13828	1	Coran	1148.02581	PerbaikanCairan	8.038820	3	18	1148.025810	4818.18881
128	Polygon_2D	18418	23	20	3	Perbaikan	13828	13828	1	Mring	118.800328	PerbaikanCairan	8.090320	3	18	118.800317	803.93231
126	Polygon_2D	18427	23	20	3	Perbaikan	13842	13842	1	Data	118.800328	PerbaikanCairan	8.090320	3	18	118.800317	803.93232
123	Polygon_2D	18429	23	20	3	Perbaikan	13842	13842	1	Coran	188.808848	PerbaikanCairan	8.020784	3	18	188.808848	1811.68882
132	Polygon_2D	18428	23	20	3	Perbaikan	13848	13848	1	Mring	247.230213	PerbaikanCairan	8.038820	3	18	247.230213	3227.18881
130	Polygon_2D	18431	23	20	3	Perbaikan	13848	13848	1	Data	174.881771	PerbaikanCairan	8.138428	3	18	174.881760	1388.88882
134	Polygon_2D	18452	23	20	3	Perbaikan	13888	13888	1	Coran	1344.228848	PerbaikanCairan	8.488848	3	18	1344.228848	3488.88882
132	Polygon_2D	18452	23	20	3	Perbaikan	13874	13874	1	Coran	681.148794	PerbaikanCairan	8.091428	3	18	681.148794	3814.88881
138	Polygon_2D	18454	23	20	3	Perbaikan	13874	13874	1	Data	118.800328	PerbaikanCairan	8.090320	3	18	118.800305	803.93232
131	Polygon_2D	18455	23	20	3	Perbaikan	13872	13872	1	Coran	818.228848	PerbaikanCairan	8.090284	3	18	818.228848	3882.93232
132	Polygon_2D	18458	23	20	3	Perbaikan	13874	13874	1	Coran	803.188811	PerbaikanCairan	8.091828	3	18	803.188811	3818.88881
130	Polygon_2D	18457	23	20	3	Perbaikan	13874	13874	1	Coran	118.800328	PerbaikanCairan	8.090320	3	18	118.800305	803.93232
148	Polygon_2D	18458	23	20	3	Perbaikan	13875	13875	1	Coran	188.808848	PerbaikanCairan	8.090311	3	18	188.808848	2888.18881
141	Polygon_2D	18459	23	20	3	Perbaikan	13875	13875	1	Coran	232.878718	PerbaikanCairan	8.074784	3	18	232.878718	3742.93232
142	Polygon_2D	18459	23	20	3	Perbaikan	13877	13877	1	Data	123.418107	PerbaikanCairan	8.090311	3	18	123.418100	808.18882
142	Polygon_2D	18488	23	20	3	Perbaikan	13888	13888	1	Coran	118.800328	PerbaikanCairan	8.090320	3	18	118.800317	803.93232
144	Polygon_2D	18488	23	20	3	Perbaikan	13888	13888	1	Data	118.800328	PerbaikanCairan	8.090320	3	18	118.800317	803.93231
148	Polygon_2D	18488	23	20	3	Perbaikan	13888	13888	1	Coran	278.838820	PerbaikanCairan	8.038820	3	18	278.838820	3227.18881

754 out of 754 Selected

File Edit View Database Tools Help

msys_generatehelp_Cip

OBJEKT_ID_1	Shape	OBJEKT_ID	RD_Areas	#	gndrooms	mrnsrt	RD_Area_1	#	gndkode_1	abpe	Shape_Leng	Bentangkata	Lama	skor	skor_bobot	Shape_Length	Shape_Area
148	Polygon_2D	18478	23	20	1	Perbaikan	13888	13888	1	Coran	278.838820	PerbaikanCairan	8.038820	3	18	278.838820	3227.18881
148	Polygon_2D	18471	23	20	2	Perbaikan	13888	13888	1	Coran	118.800328	PerbaikanCairan	8.090320	3	18	118.800313	803.93232
142	Polygon_2D	18472	23	20	2	Perbaikan	13888	13888	1	Coran	218.878718	PerbaikanCairan	8.022444	3	18	218.878718	2241.44443
142	Polygon_2D	18473	23	20	2	Perbaikan	13888	13888	1	Coran	388.807720	PerbaikanCairan	8.288428	3	18	388.807720	3882.93232
148	Polygon_2D	18475	23	20	1	Perbaikan	13888	13888	1	Coran	118.800328	PerbaikanCairan	8.090320	3	18	118.800317	803.93231
148	Polygon_2D	18484	23	20	1	Perbaikan	13887	13887	1	Data	318.417784	PerbaikanCairan	8.488718	3	18	318.417784	4887.63232
141	Polygon_2D	18481	23	20	3	Perbaikan	13887	13887	1	Data	174.881771	PerbaikanCairan	8.138428	3	18	174.881760	1388.88882
152	Polygon_2D	18482	23	20	3	Perbaikan	13888	13888	1	Coran	178.248848	PerbaikanCairan	8.128828	3	18	178.248848	2288.18881
154	Polygon_2D	18483	23	20	3	Perbaikan	13888	13888	1	Coran	318.417784	PerbaikanCairan	8.288428	3	18	318.417784	3288.18881
134	Polygon_2D	18484	23	20	3	Perbaikan	13888	13888	1	Coran	388.807720	PerbaikanCairan	8.288428	3	18	388.807720	3882.93232
132	Polygon_2D	18485	23	20	3	Perbaikan	13888	13888	1	Coran	218.878718	PerbaikanCairan	8.288428	3	18	218.878718	3882.93232
148	Polygon_2D	18485	23	20	3	Perbaikan	13888	13888	1	Coran	118.800328	PerbaikanCairan	8.090320	3	18	118.800317	803.93231
137	Polygon_2D	18484	23	20	3	Perbaikan	13884	13884	1	Coran	218.878718	PerbaikanCairan	8.288428	3	18	218.878718	3882.93232
148	Polygon_2D	18482	23	20	3	Perbaikan	13882	13882	1	Coran	118.800328	PerbaikanCairan	8.090320	3	18	118.800317	803.93231
148	Polygon_2D	18483	23	20	2	Perbaikan	13882	13882	1	Coran	118.800328	PerbaikanCairan	8.090320	3	18	118.800317	803.93231
148	Polygon_2D	18484	23	20	3	Perbaikan	13884	13884	1	Coran	218.878718	PerbaikanCairan	8.288428	3	18	218.878718	3882.93232
141	Polygon_2D	18485	23	20	3	Perbaikan	13884	13884	1	Coran	118.800328	PerbaikanCairan	8.090320	3	18	118.800317	803.93231
142	Polygon_2D	18484	23	20	3	Perbaikan	13884	13884	1	Coran	224.178828	PerbaikanCairan	8.022828	3	18	224.178828	3882.93232
142	Polygon_2D	18487	23	20	2	Perbaikan	13884	13884	1	Mring	138.808848	PerbaikanCairan	8.138428	3	18	138.808848	1388.88882
144	Polygon_2D	18488	23	20	3	Perbaikan	13884	13884	1	Coran	118.800328	PerbaikanCairan	8.090320	3	18	118.800317	803.93231
148	Polygon_2D	18488	23	20	3	Perbaikan	13884	13884	1	Coran	118.800328	PerbaikanCairan	8.090320	3	18	118.800317	803.93231
148	Polygon_2D	18488	23	20	3	Perbaikan	13884	13884	1	Coran	118.800328	PerbaikanCairan	8.090320	3	18	118.800317	803.93231
148	Polygon_2D	18488	23	20	3	Perbaikan	13884	13884	1	Coran	118.800328	PerbaikanCairan	8.090320	3	18	118.800317	803.93231
148	Polygon_2D	18488	23	20	3	Perbaikan	13884	13884	1	Coran	118.800328	PerbaikanCairan	8.090320	3	18	118.800317	803.93231
148	Polygon_2D	18488	23	20	3	Perbaikan	13884	13884	1	Coran	118.800328	PerbaikanCairan	8.090320	3	18	118.800317	803.93231
148	Polygon_2D	18488	23	20	3	Perbaikan	13884	13884	1	Coran	118.800328	PerbaikanCairan	8.090320	3	18	118.800317	803.93231
148	Polygon_2D	18488	23	20	3	Perbaikan	13884	13884	1	Coran	118.800328	PerbaikanCairan	8.090320	3	18	118.800317	803.93231
148	Polygon_2D	18488	23	20	3	Perbaikan	13884	13884	1	Coran	118.800328	PerbaikanCairan	8.090320	3	18	118.800317	803.93231
148	Polygon_2D	18488	23	20	3	Perbaikan	13884	13884	1	Coran	118.800328	PerbaikanCairan	8.090320	3	18	118.800317	803.93231
148	Polygon_2D	18488	23	20	3	Perbaikan	13884	13884	1	Coran	118.800328	PerbaikanCairan	8.090320	3	18	118.800317	803.93231
148	Polygon_2D	18488	23	20	3	Perbaikan	13884	13884	1	Coran	118.800328	PerbaikanCairan	8.090320	3	18	118.800317	803.93231
148	Polygon_2D	18488	23	20	3	Perbaikan	13884	13884	1	Coran	118.800328	PerbaikanCairan	8.090320	3	18	118.800317</	

File Edit View Database Tools Help

antg.gemahilang.Clip

OBJEKT_ID_1	Shape	OBJEKT_ID	RD_Raster	M	gndkode	invansi	RD_Raster_1	M_1	gndkode_1	alope	Shape_Leng	Bentangkata	Luas	skor	skor_bobot	Shape_Length	Shape_Area
181	Polygon_2D	18088	21	20	1	Perbaikan	14039	14038	3	Coran	475.68024	PerbaikanCoran	0.000379	3	10	475.00024	9998.795712
182	Polygon_2D	18088	20	20	2	Perbaikan	14037	14037	1	Datar	1.16.00028	PerbaikanDatar	2.000202	3	10	1.16.00028	853.207082
183	Polygon_2D	18089	25	20	2	Perbaikan	14038	14038	3	Coran	1.16.00028	PerbaikanCoran	0.000303	3	10	1.16.00028	853.207082
184	Polygon_2D	18090	20	20	2	Perbaikan	14039	14039	1	Datar	331.70307	PerbaikanDatar	3.190002	3	10	322.10308	1832.040432
185	Polygon_2D	18091	21	07	1	Perbaikan	12048	10845	2	Miring	123.418107	PerbaikanMiring	0.000111	3	10	27.78815	10.717377
186	Polygon_2D	18092	20	20	2	Perbaikan	14039	14039	3	Coran	1.16.345645	PerbaikanCoran	0.000205	3	10	171.330874	1238.612444
187	Polygon_2D	18093	18	13	2	Perbaikan	13902	13902	1	Datar	390.230128	PerbaikanDatar	0.000013	3	10	388.230117	8489.120880
188	Polygon_2D	18094	23	20	2	Perbaikan	14003	14003	1	Datar	305.702021	PerbaikanDatar	0.001410	3	10	300.702015	3754.45581
189	Polygon_2D	18095	20	20	2	Perbaikan	13994	13994	1	Datar	174.801171	PerbaikanDatar	0.120000	3	10	174.801083	1094.90088
190	Polygon_2D	18096	21	20	2	Perbaikan	14000	14000	3	Coran	1.16.00028	PerbaikanCoran	0.000300	3	10	1.16.00040	853.207082
191	Polygon_2D	18097	20	20	2	Perbaikan	14000	14000	3	Coran	1.16.00028	PerbaikanCoran	0.000300	3	10	1.16.00041	853.207082
192	Polygon_2D	18098	18	10	2	Perbaikan	14007	14007	1	Datar	389.347007	PerbaikanDatar	0.000242	3	10	382.200713	1051.143023
193	Polygon_2D	18099	23	20	2	Perbaikan	14019	14019	1	Datar	1.16.00030	PerbaikanDatar	0.000262	3	10	1.16.00047	853.207082
194	Polygon_2D	18100	20	20	2	Perbaikan	14019	14019	3	Coran	280.612048	PerbaikanCoran	0.220002	3	10	280.612038	2042.420442
195	Polygon_2D	18101	20	20	2	Perbaikan	14000	14000	3	Coran	380.400731	PerbaikanCoran	0.001000	3	10	380.40000	314.051075
196	Polygon_2D	18102	20	20	2	Perbaikan	14001	14001	3	Coran	1.16.00028	PerbaikanCoran	0.000300	3	10	1.16.00047	853.207082
197	Polygon_2D	18103	20	20	2	Perbaikan	14002	14002	1	Datar	1.16.00028	PerbaikanDatar	0.000300	3	10	1.16.00024	853.207082
198	Polygon_2D	18104	20	20	2	Perbaikan	14002	14002	3	Coran	1.16.00028	PerbaikanCoran	0.000300	3	10	1.16.00047	853.207082
199	Polygon_2D	18105	20	20	2	Perbaikan	14004	14004	3	Coran	332.000007	PerbaikanCoran	0.001814	3	10	332.00017	6874.190007
200	Polygon_2D	18106	23	20	2	Perbaikan	14002	14002	1	Datar	1.16.00074	PerbaikanDatar	0.001000	3	10	30.00000	275.000000
201	Polygon_2D	18108	20	09	1	Perbaikan	14008	14008	2	Miring	123.418107	PerbaikanMiring	0.000111	3	10	88.114100	428.788100
202	Polygon_2D	18109	20	20	2	Perbaikan	14103	14103	1	Datar	226.715291	PerbaikanDatar	0.191431	3	10	24.00000	16.81127
203	Polygon_2D	18110	20	20	2	Perbaikan	14104	14104	1	Datar	1.16.345645	PerbaikanDatar	0.190000	3	10	152.00000	823.000000
204	Polygon_2D	18114	20	20	2	Perbaikan	14100	14100	3	Coran	1.16.00028	PerbaikanCoran	0.000200	3	10	1.16.00013	853.207082
205	Polygon_2D	18115	20	20	2	Perbaikan	13998	13998	3	Coran	1.16.345645	PerbaikanCoran	0.190000	3	10	1.16.00000	1008.307130
206	Polygon_2D	18100	20	20	2	Perbaikan	14100	14100	1	Datar	314.21030	PerbaikanDatar	0.400023	3	10	314.21000	4392.200000
207	Polygon_2D	18107	20	20	2	Perbaikan	14100	14100	3	Coran	680.000120	PerbaikanCoran	0.001000	3	10	680.00000	20815.223680
208	Polygon_2D	18108	20	20	2	Perbaikan	14100	14100	3	Coran	2.0011000	PerbaikanCoran	0.001273	3	10	2.0011000	2272.190000
209	Polygon_2D	18109	21	14	1	Perbaikan	14100	14100	3	Coran	625.716001	PerbaikanCoran	0.000300	3	10	625.716000	853.207082
210	Polygon_2D	18100	20	20	2	Perbaikan	13999	13999	1	Datar	1.16.00014	PerbaikanDatar	0.001000	3	10	1.16.00000	847.000000
211	Polygon_2D	18103	20	20	2	Perbaikan	14100	14100	3	Coran	1.16.00000	PerbaikanCoran	0.000300	3	10	1.16.00040	853.207082
212	Polygon_2D	18104	20	02	2	Perbaikan	13999	14100	1	Datar	1.16.00028	PerbaikanDatar	0.000300	3	10	1.16.00047	853.207082
213	Polygon_2D	18105	20	20	2	Perbaikan	14100	14100	3	Coran	2.001277	PerbaikanCoran	0.224444	3	10	2.001270	2244.440225
214	Polygon_2D	18100	20	20	2	Perbaikan	14104	14104	3	Coran	1.16.00000	PerbaikanCoran	0.200100	3	10	2.001200	2481.000000
215	Polygon_2D	18100	20	20	2	Perbaikan	14100	14100	3	Coran	1.16.00000	PerbaikanCoran	0.000300	3	10	1.16.00040	853.207082
216	Polygon_2D	18100	20	20	2	Perbaikan	14100	14100	3	Coran	108.74007	PerbaikanCoran	0.000300	3	10	108.740000	2003.200000
217	Polygon_2D	18098	20	08	1	Perbaikan	14100	14100	3	Coran	1.16.345645	PerbaikanCoran	0.190000	3	10	1.16.34568	1208.201977

75 out of 754 Selected

File Edit View Database Tools Help

antg.gemahilang.Clip

OBJEKT_ID_1	Shape	OBJEKT_ID	RD_Raster	M	gndkode	invansi	RD_Raster_1	M_1	gndkode_1	alope	Shape_Leng	Bentangkata	Luas	skor	skor_bobot	Shape_Length	Shape_Area
218	Polygon_2D	18108	20	20	2	Perbaikan	14107	14107	1	Datar	1.16.345645	PerbaikanDatar	0.120000	3	10	1.16.34568	1208.201977
219	Polygon_2D	18110	20	20	2	Perbaikan	14107	14107	1	Datar	1.16.00028	PerbaikanDatar	0.000303	3	10	1.16.00028	853.207082
220	Polygon_2D	18111	20	20	2	Perbaikan	14102	14102	3	Coran	1.16.345645	PerbaikanCoran	0.120000	3	10	1.16.34568	1208.201977
221	Polygon_2D	18112	20	07	1	Perbaikan	14103	14103	1	Datar	375.01000	PerbaikanDatar	0.000100	3	10	375.01000	1092.180000
222	Polygon_2D	18113	20	20	2	Perbaikan	14104	14104	2	Miring	375.01000	PerbaikanMiring	0.011007	3	10	375.01000	3116.07000
223	Polygon_2D	18114	20	20	2	Perbaikan	14104	14104	1	Datar	1.21.01007	PerbaikanDatar	0.000111	3	10	1.21.01000	848.000000
224	Polygon_2D	18115	20	20	2	Perbaikan	14100	14100	2	Miring	123.418107	PerbaikanMiring	0.000111	3	10	27.00000	347.000000
225	Polygon_2D	18104	20	20	2	Perbaikan	14100	14100	1	Datar	123.418107	PerbaikanDatar	0.000111	3	10	123.41800	848.000000
226	Polygon_2D	18125	20	20	2	Perbaikan	14102	14102	1	Datar	321.01000	PerbaikanDatar	0.242004	3	10	321.01000	4204.000000
227	Polygon_2D	18126	20	20	2	Perbaikan	14100	14100	2	Miring	250.00000	PerbaikanMiring	0.001215	3	10	250.00000	2725.000000
228	Polygon_2D	18127	20	20	2	Perbaikan	14106	14106	1	Datar	1.16.00028	PerbaikanDatar	0.000300	3	10	1.16.00041	853.207082
229	Polygon_2D	18128	20	20	2	Perbaikan	14105	14105	2	Miring	1.001200	PerbaikanMiring	0.224444	3	10	2.001200	2244.440225
230	Polygon_2D	18129	20	00	1	Perbaikan	14108	14108	2	Miring	620.00000	PerbaikanMiring	0.000000	3	10	620.00000	8000.000000
231	Polygon_2D	18130	20	20	2	Perbaikan	14107	14107	2	Miring	123.418107	PerbaikanMiring	0.000111	3	10	123.41800	848.000000
232	Polygon_2D	18131	20	02	1	Perbaikan	14108	14108	1	Datar	788.00000	PerbaikanDatar	0.181200	3	10	1.16.34568	1208.201977
233	Polygon_2D	18134	20	20	2	Perbaikan	14213	14213	3	Coran	1.16.345645	PerbaikanCoran	0.120000	3	10	1.16.00028	853.207082
234	Polygon_2D	18135	20	20	2	Perbaikan	14214	14214	1	Datar	1.16.345645	PerbaikanDatar	0.120000	3	10	1.16.34568	1208.201977
235	Polygon_2D	18136	20	20	2	Perbaikan	14213	14213	2	Miring	401.00000	PerbaikanMiring	0.001100	3	10	401.00000	6271.000000
236	Polygon_2D	18137	20	20	2	Perbaikan	14216	14216	3	Coran	6759.12700	PerbaikanCoran	0.000000	3	10	11037.00000	70000.000000
237	Polygon_2D	18138	20	09	1	Perbaikan	14217	14217	2	Miring	389.00000	PerbaikanMiring	0.477000	3	10	389.00000	444.000000
238	Polygon_2D	18139	20	20	2	Perbaikan	14218	14218	1	Datar	1.16.345645	PerbaikanDatar	0.120000	3	10	1.16.34568	1208.201977
239	Polygon_2D	18140	20	20	2	Perbaikan	14217	14217	3	Coran	1.16.00028	PerbaikanCoran	0.000000	3	10	1.16.00028	853.207082
240	Polygon_2D	18140	20	20	2	Perbaikan	14210	14210	3	Coran	121.01000	PerbaikanCoran	0.000111	3	10	121.01000	300.000000
241	Polygon_2D	18142	20	20	2	Perbaikan	14210	14210	1	Datar	330.10000	PerbaikanDatar	0.140000	3	10	330.10000	3888.000000
242	Polygon_2D	18140	20	20	2	Perbaikan	14214	14214	3	Coran	387.70000	PerbaikanCoran	0.000000	3	10	387.70000	1070.000000
243	Polygon_2D	18144	20	20	2	Perbaikan	14210	14210	3	Coran	1.16.00028	PerbaikanCoran	0.000300	3	10	1.16.00041	853.207082
244	Polygon_2D	18149	20	20	2	Perbaikan	14218	14218	3	Coran	1.16.00028	PerbaikanCoran	0.000000	3	10	1.16.00028	853.207082
245	Polygon_2D	18150	20	20	2	Perbaikan	14210	14210	3	Coran	121.01000	PerbaikanCoran	0.000111	3	10	121.01000	300.000000
246	Polygon_2D	18152	20	20	2	Perbaikan	14210	14210	3	Coran	1.16.00028	PerbaikanCoran	0.000111	3	10	1.16.00028	853.207082
247	Polygon_2D	18157	20	08	1	Perbaikan	14210	14210	2	Miring	1.16.00010	PerbaikanMiring	0.001000	3	10	1.16.00024	853.207082
248	Polygon_2D	18158	20	00	1	Perbaikan	14210	14210	2	Miring	1.16.00010	PerbaikanMiring	0.000300	3	10	1.16.00040	853.207082
249	Polygon_2D	18159	20	20	2	Perbaikan	14214	14214	3	Coran	1.16.00028	PerbaikanCoran	0.000000	3	10	1.16.00041	853.207082
250	Polygon_2D	18156	20	20	2	Perbaikan	14210	14210	3	Coran	1.16.00028	PerbaikanCoran	0.220000	3	10	1.16.00041	853.207082

File Edit View Database Tools Help

antg.gemahlinga_Clip

OBJEKT_ID_1	Shape	OBJEKT_ID	RD_Raster	M	gridcode	mirran	RD_Raster_1	M_1	gridkode_1	alobe	Shape_Leng	Benarkata	Las	skor	skor_bobot	Shape_Length	Shape_Area
251	Polygon_2D	18790	23	20	1	Perbaikan	14272	14272	1	Caran	130.802388	PerbaikanCaran	8.099380	3	18	118.800417	853.802717
254	Polygon_2D	18793	23	20	1	Perbaikan	14273	14273	1	Miring	221.245296	PerbaikanMiring	2.250253	3	18	211.245292	1246.262518
255	Polygon_2D	18794	23	20	1	Perbaikan	14274	14274	1	Caran	687.832474	PerbaikanCaran	1.088858	3	18	688.144248	1898.284919
256	Polygon_2D	18795	23	20	1	Perbaikan	14275	14275	1	Miring	116.802388	PerbaikanMiring	3.065303	3	18	118.025417	853.802717
257	Polygon_2D	18796	23	20	1	Perbaikan	14276	14276	1	Caran	176.348848	PerbaikanCaran	1.188845	3	18	176.348848	1288.244871
258	Polygon_2D	18797	23	20	1	Perbaikan	14288	14288	1	Miring	174.855171	PerbaikanMiring	1.236666	3	18	174.855171	1264.027382
259	Polygon_2D	18798	23	20	1	Perbaikan	14289	14289	1	Data	136.402388	PerbaikanData	3.998381	3	18	136.402388	853.802717
260	Polygon_2D	18799	23	20	1	Perbaikan	14289	14289	1	Caran	232.311885	PerbaikanCaran	8.221275	3	18	232.311885	2212.732491
261	Polygon_2D	18800	23	20	1	Perbaikan	14289	14289	1	Caran	174.855171	PerbaikanCaran	3.136488	3	18	174.855171	1288.244871
262	Polygon_2D	18801	23	20	1	Perbaikan	14289	14289	1	Data	136.402388	PerbaikanData	3.088380	3	18	136.402388	853.802717
263	Polygon_2D	18802	23	20	1	Perbaikan	14289	14289	1	Miring	681.196830	PerbaikanMiring	1.037280	3	18	681.196830	10172.479641
264	Polygon_2D	18803	23	20	1	Perbaikan	14211	14211	1	Caran	176.348848	PerbaikanCaran	1.128801	3	18	176.348848	1288.244871
265	Polygon_2D	18804	23	20	1	Perbaikan	14212	14212	1	Miring	321.402388	PerbaikanMiring	1.211584	3	18	321.402388	2212.732491
266	Polygon_2D	18805	23	20	1	Perbaikan	14213	14213	1	Miring	236.710201	PerbaikanMiring	3.181811	3	18	236.710201	1814.011838
267	Polygon_2D	18806	23	20	1	Perbaikan	14214	14214	1	Miring	136.402388	PerbaikanMiring	3.088380	3	18	136.402388	853.802717
268	Polygon_2D	18807	23	20	1	Perbaikan	14215	14215	1	Data	188.428888	PerbaikanData	3.181811	3	18	188.428888	1812.211238
269	Polygon_2D	18808	23	20	1	Perbaikan	14216	14216	1	Caran	176.348848	PerbaikanCaran	1.128801	3	18	176.348848	1288.244871
270	Polygon_2D	18809	23	20	1	Perbaikan	14288	14288	1	Caran	136.402388	PerbaikanCaran	3.186380	3	18	136.402388	853.802717
271	Polygon_2D	18810	23	20	1	Perbaikan	14288	14288	1	Caran	236.710201	PerbaikanCaran	3.228200	3	18	236.710201	2052.754848
272	Polygon_2D	18811	23	20	1	Perbaikan	14288	14288	1	Data	123.818187	PerbaikanData	3.088380	3	18	123.818187	853.802717
273	Polygon_2D	18812	23	20	1	Perbaikan	14288	14288	1	Data	136.402388	PerbaikanData	3.088380	3	18	136.402388	853.802717
274	Polygon_2D	18813	23	20	1	Perbaikan	14288	14288	1	Data	231.442388	PerbaikanData	2.258801	3	18	231.442388	2048.262818
275	Polygon_2D	18814	23	20	1	Perbaikan	14288	14288	1	Data	176.348848	PerbaikanData	3.136488	3	18	176.348848	1288.244871
276	Polygon_2D	18815	23	20	1	Perbaikan	14288	14288	1	Data	136.402388	PerbaikanData	3.088380	3	18	136.402388	853.802717
277	Polygon_2D	18816	23	20	1	Perbaikan	14288	14288	1	Miring	232.277	PerbaikanMiring	3.254144	3	18	232.277	2041.448382
278	Polygon_2D	18817	23	20	1	Perbaikan	14288	14288	1	Miring	174.855171	PerbaikanMiring	1.236666	3	18	174.855171	1264.027382
279	Polygon_2D	18818	23	20	1	Perbaikan	14288	14288	1	Data	176.348848	PerbaikanData	3.051183	3	18	176.348848	1288.244871
280	Polygon_2D	18819	23	20	1	Perbaikan	14288	14288	1	Caran	176.348848	PerbaikanCaran	3.136488	3	18	176.348848	1288.244871
281	Polygon_2D	18820	23	20	1	Perbaikan	14288	14288	1	Caran	176.348848	PerbaikanCaran	3.136488	3	18	176.348848	1288.244871
282	Polygon_2D	18821	23	20	1	Perbaikan	14288	14288	1	Miring	136.402388	PerbaikanMiring	3.088380	3	18	136.402388	853.802717
283	Polygon_2D	18822	23	20	1	Perbaikan	14288	14288	1	Miring	136.402388	PerbaikanMiring	3.088380	3	18	136.402388	853.802717
284	Polygon_2D	18823	23	20	1	Perbaikan	14288	14288	1	Caran	374.328318	PerbaikanCaran	2.305444	3	18	374.328318	4056.505888
285	Polygon_2D	18824	23	20	1	Perbaikan	14288	14288	1	Caran	174.855171	PerbaikanCaran	3.136488	3	18	174.855171	1288.244871
286	Polygon_2D	18825	23	20	1	Perbaikan	14288	14288	1	Miring	322.818187	PerbaikanMiring	3.288380	3	18	322.818187	2068.970888
287	Polygon_2D	18826	23	20	1	Perbaikan	14288	14288	1	Miring	136.402388	PerbaikanMiring	3.088380	3	18	136.402388	853.802717
288	Polygon_2D	18827	23	20	1	Perbaikan	14288	14288	1	Miring	232.118187	PerbaikanMiring	1.012118	3	18	232.118187	1882.248888
289	Polygon_2D	18828	23	20	1	Perbaikan	14288	14288	1	Caran	174.855171	PerbaikanCaran	1.387487	3	18	174.855171	1288.244871
290	Polygon_2D	18829	23	20	1	Perbaikan	14288	14288	1	Caran	136.402388	PerbaikanCaran	3.088380	3	18	136.402388	853.802717

754 out of 754 Selected

File Edit View Database Tools Help

antg.gemahlinga_Clip

OBJEKT_ID_1	Shape	OBJEKT_ID	RD_Raster	M	gridcode	mirran	RD_Raster_1	M_1	gridkode_1	alobe	Shape_Leng	Benarkata	Las	skor	skor_bobot	Shape_Length	Shape_Area
289	Polygon_2D	18830	23	20	1	Perbaikan	14277	14277	1	Data	136.402388	PerbaikanData	3.088380	3	18	136.402388	853.802717
290	Polygon_2D	18831	23	20	1	Perbaikan	14218	14218	1	Miring	216.216111	PerbaikanMiring	2.258801	3	18	216.216111	1812.211238
291	Polygon_2D	18832	23	20	1	Perbaikan	14278	14278	1	Data	176.348848	PerbaikanData	3.128801	3	18	176.348848	1288.244871
292	Polygon_2D	18833	23	20	1	Perbaikan	14288	14288	1	Data	136.402388	PerbaikanData	3.088380	3	18	136.402388	853.802717
293	Polygon_2D	18834	23	20	1	Perbaikan	14289	14289	1	Caran	232.311885	PerbaikanCaran	3.212771	3	18	232.311885	2212.732491
294	Polygon_2D	18835	23	20	1	Perbaikan	14290	14290	1	Caran	8099.58842	PerbaikanCaran	48.282924	3	18	8099.58842	20603.11891
295	Polygon_2D	18836	23	20	1	Perbaikan	14291	14291	1	Caran	136.402388	PerbaikanCaran	3.088380	3	18	136.402388	853.802717
296	Polygon_2D	18837	23	20	1	Perbaikan	14292	14292	1	Miring	123.818187	PerbaikanMiring	3.088380	3	18	123.818187	853.802717
297	Polygon_2D	18838	23	20	1	Perbaikan	14293	14293	1	Data	136.402388	PerbaikanData	3.088380	3	18	136.402388	853.802717
298	Polygon_2D	18839	23	20	1	Perbaikan	14294	14294	1	Data	136.402388	PerbaikanData	3.088380	3	18	136.402388	853.802717
299	Polygon_2D	18840	23	20	1	Perbaikan	14295	14295	1	Miring	182.428888	PerbaikanMiring	3.227513	3	18	182.428888	2276.125418
300	Polygon_2D	18841	23	20	1	Perbaikan	14296	14296	1	Caran	388.468731	PerbaikanCaran	3.211921	3	18	388.468731	1814.011838
301	Polygon_2D	18842	23	20	1	Perbaikan	14297	14297	1	Data	136.402388	PerbaikanData	3.088380	3	18	136.402388	853.802717
302	Polygon_2D	18843	23	20	1	Perbaikan	14298	14298	1	Data	176.348848	PerbaikanData	3.088380	3	18	176.348848	1288.244871
303	Polygon_2D	18844	23	20	1	Perbaikan	14299	14299	1	Miring	182.428888	PerbaikanMiring	3.227513	3	18	182.428888	2276.125418
304	Polygon_2D	18845	23	20	1	Perbaikan	14300	14300	1	Caran	388.468731	PerbaikanCaran	3.211921	3	18	388.468731	1814.011838
305	Polygon_2D	18846	23	20	1	Perbaikan	14301	14301	1	Caran	388.468731	PerbaikanCaran	3.211921	3	18	388.468731	1814.011838
306	Polygon_2D	18847	23	20	1	Perbaikan	14302	14302	1	Caran	136.402388	PerbaikanCaran	3.088380	3	18	136.402388	853.802717
307	Polygon_2D	18848	23	20	1	Perbaikan	14303	14303	1	Caran	488.871561	PerbaikanCaran	3.088380	3	18	488.871561	2062.726664
308	Polygon_2D	18849	23	20	1	Perbaikan	14304	14304	1	Data	176.348848	PerbaikanData	3.136488	3	18	176.348848	1288.244871
309	Polygon_2D	18850	23	20	1	Perbaikan	14401	14401	1	Caran	388.468731	PerbaikanCaran	3.211921	3	18	388.468731	1814.011838
310	Polygon_2D	18851	23	20	1	Perbaikan	14402	14402	1	Data	136.402388	PerbaikanData	3.088380	3	18	136.402388	853.802717
311	Polygon_2D	18852	23	20	1	Perbaikan	14403	14403	1	Caran	232.311885	PerbaikanCaran	3.228200	3	18	232.311885	2052.754848
312	Polygon_2D	18853	23	20	1	Perbaikan	14404	14404	1	Miring	688.818187	PerbaikanMiring	1.216688	3	18	688.818187	1044.027382
313	Polygon_2D	18854	23	20	1	Perbaikan	14405	14405	1	Caran	374.328318	PerbaikanCaran	3.136488	3	18	374.328318	4056.505888
314	Polygon_2D	18855	23	20	1	Perbaikan	14406	14406	1	Caran	388.468731	PerbaikanCaran	3.211921	3	18	388.468731	1814.011838
315	Polygon_2D	18856	23	20	1	Perbaikan	14407	14407	1	Data	176.348848	PerbaikanData	3.136488	3	18	176.348848	1288.244871
316	Polygon_2D	18857	23	20	1	Perbaikan	14408	14408	1	Caran	174.855171	PerbaikanCaran	3.088380	3	18	174.855171	1288.244871
317	Polygon_2D	18858	23	20	1	Perbaikan	14409	14409	1	Miring	123.818187	PerbaikanMiring	3.088380	3	18	123.818187	853.802717
318	Polygon_2D	18859	23	20	1	Perbaikan	14410	14410	1	Data	136.402388	PerbaikanData	3.088380	3	18	136.402388	853.802717
319	Polygon_2D	18860	23	20	1	Perbaikan	14411	14411	1	Data	388.468731	PerbaikanData	3.147770	3	18	388.468731	1814.011838
320	Polygon_2D	18861	23	20	1	Perbaikan	14412	14412	1	Data	388.468731	PerbaikanData	3.136488	3	18	388.468731	1814

Sekolah

antg.gemahilang.ctp

OBJEKTID_1	Shape	OBJEKTID	RD_Raster	M	gndkode	nama	RD_Raster_1	M_1	gndkode_1	alobe	Shape_Leng	Benarkata	Luas	skor	skor_bobot	Shape_Length	Shape_Area
326	Polygon_2D	1847	23	23	1	Perbukitan	14401	14401	1	Datar	693.7948	PerbukitanDatar	2.056450	3	10	693.7948	2056450.00
326	Polygon_2D	1848	23	23	2	Perbukitan	14402	14402	1	Datar	1.96.822258	PerbukitanDatar	2.046260	3	10	1.96.822258	2046260.00
327	Polygon_2D	1854	23	23	2	Perbukitan	14471	14471	1	Datar	174.802171	PerbukitanDatar	3.738480	3	10	174.802171	3738480.00
328	Polygon_2D	1855	23	23	2	Perbukitan	14472	14472	1	Curam	277.248591	PerbukitanCuram	3.268000	3	10	277.248591	2668900.00
329	Polygon_2D	1868	23	23	1	Perbukitan	14473	14473	1	Datar	492.228131	PerbukitanDatar	3.888020	3	10	492.228131	3888020.00
330	Polygon_2D	1825	23	23	2	Perbukitan	14474	14474	1	Curam	1.66.693338	PerbukitanCuram	3.095300	3	10	1.66.693338	3095300.00
331	Polygon_2D	1869	23	23	2	Perbukitan	14475	14475	1	Curam	270.966220	PerbukitanCuram	3.320610	3	10	270.966220	2621148.00
332	Polygon_2D	1865	23	23	2	Perbukitan	14476	14476	1	Curam	1.68.820558	PerbukitanCuram	3.099300	3	10	1.68.820558	3099300.00
333	Polygon_2D	1866	23	23	2	Perbukitan	14477	14477	1	Curam	236.213688	PerbukitanCuram	3.221070	3	10	236.213688	2212766.00
334	Polygon_2D	1868	23	23	2	Perbukitan	14477	14477	1	Datar	218.177	PerbukitanDatar	3.244440	3	10	128.92338	16274872
335	Polygon_2D	1830	23	23	2	Perbukitan	14478	14478	1	Curam	468.842226	PerbukitanCuram	3.839300	3	10	468.842226	3663907.00
336	Polygon_2D	1819	23	23	2	Perbukitan	14478	14478	1	Curam	123.181107	PerbukitanCuram	3.098110	3	10	123.181107	1231811.00
337	Polygon_2D	1824	23	23	2	Perbukitan	14479	14479	1	Datar	325.599907	PerbukitanDatar	3.416420	3	10	116.366628	8116247.00
338	Polygon_2D	1812	23	23	1	Perbukitan	14481	14481	2	Miring	1.68.808714	PerbukitanMiring	3.081760	3	10	116.888724	81648282
339	Polygon_2D	1831	23	23	2	Perbukitan	14481	14481	1	Datar	1.68.603338	PerbukitanDatar	3.065200	3	10	118.003284	80320182
340	Polygon_2D	1832	23	23	2	Perbukitan	14482	14482	2	Miring	674.271328	PerbukitanMiring	3.781830	3	10	414.212238	781816278
341	Polygon_2D	1833	23	23	2	Perbukitan	14483	14483	1	Datar	879.871864	PerbukitanDatar	2.827840	3	10	879.871864	2827840.00
342	Polygon_2D	1834	23	23	2	Perbukitan	14484	14484	1	Datar	325.599907	PerbukitanDatar	3.416420	3	10	325.599907	482416282
343	Polygon_2D	1835	23	23	2	Perbukitan	14485	14485	1	Datar	389.187776	PerbukitanDatar	3.227010	3	10	389.187776	227612748
344	Polygon_2D	1838	23	23	2	Perbukitan	14486	14486	1	Datar	382.601968	PerbukitanDatar	3.381940	3	10	382.601968	3826019.68
345	Polygon_2D	1837	23	23	2	Perbukitan	14487	14487	1	Datar	287.228842	PerbukitanDatar	3.778760	3	10	287.228842	2872288.42
346	Polygon_2D	1838	23	23	2	Perbukitan	14488	14488	1	Datar	176.345446	PerbukitanDatar	3.136820	3	10	176.345446	1763454.46
347	Polygon_2D	1839	23	23	2	Perbukitan	14489	14489	1	Datar	176.345446	PerbukitanDatar	3.136820	3	10	176.345446	1763454.46
348	Polygon_2D	1835	23	23	2	Perbukitan	14492	14492	1	Datar	1.68.345446	PerbukitanDatar	3.136820	3	10	174.305124	1364284.46
349	Polygon_2D	1837	23	23	2	Perbukitan	14493	14493	1	Datar	1.68.603338	PerbukitanDatar	3.065200	3	10	118.003284	80320182
350	Polygon_2D	1832	23	23	2	Perbukitan	14494	14494	1	Curam	271.848891	PerbukitanCuram	3.362360	3	10	271.848891	2623088.00
351	Polygon_2D	1832	23	23	2	Perbukitan	14494	14494	2	Curam	807.142434	PerbukitanCuram	46.727000	3	10	186.302417	125196887
352	Polygon_2D	1832	23	23	2	Perbukitan	14495	14495	1	Datar	1.68.603338	PerbukitanDatar	3.065200	3	10	118.003284	80320182
353	Polygon_2D	1834	23	23	2	Perbukitan	14496	14496	1	Datar	1.68.345446	PerbukitanDatar	3.136820	3	10	174.305124	1364284.46
354	Polygon_2D	1837	23	23	2	Perbukitan	14497	14497	1	Datar	287.228842	PerbukitanDatar	3.125860	3	10	287.228842	2872288.42
355	Polygon_2D	1837	23	23	2	Perbukitan	14498	14498	1	Datar	176.345446	PerbukitanDatar	3.136820	3	10	176.345446	1763454.46
356	Polygon_2D	1837	23	23	2	Perbukitan	14499	14499	1	Curam	176.603338	PerbukitanCuram	3.066200	3	10	118.003284	80320182
357	Polygon_2D	1838	23	23	2	Perbukitan	14500	14500	1	Datar	176.345446	PerbukitanDatar	3.136820	3	10	176.345446	1763454.46
358	Polygon_2D	1838	23	23	2	Perbukitan	14501	14501	1	Datar	1.68.345446	PerbukitanDatar	3.136820	3	10	174.305124	1364284.46
359	Polygon_2D	1838	23	23	2	Perbukitan	14502	14502	1	Datar	1.68.345446	PerbukitanDatar	3.136820	3	10	174.305124	1364284.46
360	Polygon_2D	1838	23	23	2	Perbukitan	14503	14503	1	Datar	1.68.345446	PerbukitanDatar	3.136820	3	10	174.305124	1364284.46
361	Polygon_2D	1838	23	23	2	Perbukitan	14504	14504	1	Datar	1.68.345446	PerbukitanDatar	3.136820	3	10	174.305124	1364284.46
362	Polygon_2D	1838	23	23	2	Perbukitan	14505	14505	1	Datar	1.68.345446	PerbukitanDatar	3.136820	3	10	174.305124	1364284.46
363	Polygon_2D	1838	23	23	2	Perbukitan	14506	14506	1	Datar	1.68.345446	PerbukitanDatar	3.136820	3	10	174.305124	1364284.46
364	Polygon_2D	1838	23	23	2	Perbukitan	14507	14507	1	Datar	1.68.345446	PerbukitanDatar	3.136820	3	10	174.305124	1364284.46
365	Polygon_2D	1838	23	23	2	Perbukitan	14508	14508	1	Datar	1.68.345446	PerbukitanDatar	3.136820	3	10	174.305124	1364284.46
366	Polygon_2D	1838	23	23	2	Perbukitan	14509	14509	1	Datar	1.68.345446	PerbukitanDatar	3.136820	3	10	174.305124	1364284.46
367	Polygon_2D	1838	23	23	2	Perbukitan	14510	14510	1	Datar	1.68.345446	PerbukitanDatar	3.136820	3	10	174.305124	1364284.46
368	Polygon_2D	1838	23	23	2	Perbukitan	14511	14511	1	Datar	1.68.345446	PerbukitanDatar	3.136820	3	10	174.305124	1364284.46
369	Polygon_2D	1838	23	23	2	Perbukitan	14512	14512	1	Datar	1.68.345446	PerbukitanDatar	3.136820	3	10	174.305124	1364284.46
370	Polygon_2D	1838	23	23	2	Perbukitan	14513	14513	1	Datar	1.68.345446	PerbukitanDatar	3.136820	3	10	174.305124	1364284.46
371	Polygon_2D	1838	23	23	2	Perbukitan	14514	14514	1	Datar	1.68.345446	PerbukitanDatar	3.136820	3	10	174.305124	1364284.46
372	Polygon_2D	1838	23	23	2	Perbukitan	14515	14515	1	Datar	1.68.345446	PerbukitanDatar	3.136820	3	10	174.305124	1364284.46
373	Polygon_2D	1838	23	23	2	Perbukitan	14516	14516	1	Datar	1.68.345446	PerbukitanDatar	3.136820	3	10	174.305124	1364284.46
374	Polygon_2D	1838	23	23	2	Perbukitan	14517	14517	1	Datar	1.68.345446	PerbukitanDatar	3.136820	3	10	174.305124	1364284.46
375	Polygon_2D	1838	23	23	2	Perbukitan	14518	14518	1	Datar	1.68.345446	PerbukitanDatar	3.136820	3	10	174.305124	1364284.46
376	Polygon_2D	1838	23	23	2	Perbukitan	14519	14519	1	Datar	1.68.345446	PerbukitanDatar	3.136820	3	10	174.305124	1364284.46
377	Polygon_2D	1838	23	23	2	Perbukitan	14520	14520	1	Datar	1.68.345446	PerbukitanDatar	3.136820	3	10	174.305124	1364284.46
378	Polygon_2D	1838	23	23	2	Perbukitan	14521	14521	1	Datar	1.68.345446	PerbukitanDatar	3.136820	3	10	174.305124	1364284.46
379	Polygon_2D	1838	23	23	2	Perbukitan	14522	14522	1	Datar	1.68.345446	PerbukitanDatar	3.136820	3	10	174.305124	1364284.46
380	Polygon_2D	1838	23	23	2	Perbukitan	14523	14523	1	Datar	1.68.345446	PerbukitanDatar	3.136820	3	10	174.305124	1364284.46
381	Polygon_2D	1838	23	23	2	Perbukitan	14524	14524	1	Datar	1.68.345446	PerbukitanDatar	3.136820	3	10	174.305124	1364284.46
382	Polygon_2D	1838	23	23	2	Perbukitan	14525	14525	1	Datar	1.68.345446	PerbukitanDatar	3.136820	3	10	174.305124	1364284.46
383	Polygon_2D	1838	23	23	2	Perbukitan	14526	14526	1	Datar	1.68.345446	PerbukitanDatar	3.136820	3	10	174.305124	1364284.46
384	Polygon_2D	1838	23	23	2	Perbukitan	14527	14527	1	Datar	1.68.345446	PerbukitanDatar	3.136820	3	10	174.305124	1364284.46
385	Polygon_2D	1838	23	23	2	Perbukitan	14528	14528	1	Datar	1.68.345446	PerbukitanDatar	3.136820	3	10	174.305124	1364284.46
386	Polygon_2D	1838	23	23	2	Perbukitan	14529	14529	1	Datar	1.68.345446	PerbukitanDatar	3.136820	3	10	174.305124	1364284.46
387	Polygon_2D	1838	23	23	2	Perbukitan	14530	14530	1	Datar	1.68.345446	PerbukitanDatar	3.136820	3	10	174.305124	1364284.46
388	Polygon_2D	1838	23	23	2	Perbukitan	14531	14531	1	Datar	1.68.345446	PerbukitanDatar	3.136820	3	10	174.305124	1364284.46
389	Polygon_2D	1838	23	23	2	Perbukitan	14532	14532	1	Datar	1.68.345446	PerbukitanDatar	3.136820	3	10	174.305124	1364284.46
390	Polygon_2D	1838	23	23	2	Perbukitan	14533	14533	1	Datar	1.68.345446	PerbukitanDatar	3.136820	3	10	174.305124	1364284.46
391	Polygon_2D	1838	23	23	2	Perbukitan	14534	14534	1	Datar	1.68.345446	PerbukitanDatar	3.136820	3	10	174.305124	1364284.46
392	Polygon_2D	1838	23	23	2	Perbukitan	14535	14535	1	Datar	1.68.345446	PerbukitanDatar	3.136820	3	10	174.305124	1364284.46
393	Polygon_2D	1838	23	23	2	Perbukitan	14536	14536	1	Datar	1.68.345446	PerbukitanDatar	3.136820	3	10	174.305124	1364284.46
394	Polygon_2D	1838	23	23	2	Perbukitan	14537	14537	1	Datar	1.68.345446	PerbukitanDatar	3.136820	3	10	174.305124	1364284.46
395	Polygon_2D	1838	23	23	2	Perbukitan	14538	14538	1	Datar	1.68.345446	PerbukitanDatar	3.136820	3	1		

OBJEK_ID_1	Shape	OBJEK_ID	RD_Nomer	M	gndrooms	miras	RD_Nomer_1	M_1	gndkode_1	alope	Shape_Leng	Sentratata	Lama	skor	skor bobot	Shape_Length	Shape_Area
387	Polygon_2D	18119	21_20	2	Perumahan	14871	14871	1	Datar	136.803008	PerbukitanCatur	8.000300	3	10	136.800417	850.932717	
388	Polygon_2D	18117	20_20	2	Perumahan	14672	14672	1	Datar	135.546440	PerbukitanCatur	3.128620	3	10	135.542461	1288.246582	
389	Polygon_2D	18123	25_20	2	Perumahan	14809	14809	3	Curam	1270.272749	PerbukitanCuram	3.070900	9	10	1270.373883	3978.776651	
406	Polygon_2D	18125	20_20	2	Perumahan	14630	14630	1	Datar	430.879020	PerbukitanCatur	3.142011	3	10	430.879020	4633.174360	
432	Polygon_2D	18124	21_20	1	Perumahan	14897	14897	1	Datar	328.489898	PerbukitanCatur	3.089011	3	10	328.489898	3892.180789	
435	Polygon_2D	18126	20_20	2	Perumahan	14638	14638	3	Curam	173.079228	PerbukitanCuram	8.147580	3	10	173.079228	1478.981705	
436	Polygon_2D	18129	20_20	2	Perumahan	14689	14689	1	Datar	271.845286	PerbukitanCatur	3.204624	3	10	271.845286	2646.362051	
434	Polygon_2D	18124	20_20	5	Perumahan	14257	14257	1	Datar	238.822889	PerbukitanCatur	3.099294	3	10	238.822889	2082.312882	
436	Polygon_2D	18128	20_20	2	Perumahan	14708	14708	1	Datar	680.800008	PerbukitanCatur	1.362754	3	10	680.800008	13627.541274	
438	Polygon_2D	18120	20_20	2	Perumahan	14709	14709	2	Miring	118.800308	PerbukitanMiring	3.089300	3	10	118.800417	850.932717	
457	Polygon_2D	18146	20_20	2	Perumahan	14719	14719	3	Curam	675.516720	PerbukitanCuram	1.851582	3	10	675.516720	14513.688947	
430	Polygon_2D	18129	20_20	2	Perumahan	14720	14720	1	Datar	236.829889	PerbukitanCatur	3.204624	3	10	236.829889	2065.811988	
436	Polygon_2D	18146	20_20	2	Perumahan	14722	14722	3	Miring	174.601171	PerbukitanMiring	1.154469	3	10	174.600878	1354.008862	
416	Polygon_2D	18148	20_20	2	Perumahan	14724	14724	3	Curam	136.800308	PerbukitanCuram	3.089300	3	10	136.800308	893.838832	
411	Polygon_2D	18138	20_20	2	Perumahan	14725	14725	3	Curam	136.800308	PerbukitanCuram	3.089300	3	10	136.800308	850.932717	
412	Polygon_2D	18151	20_20	2	Perumahan	14726	14726	1	Datar	328.489898	PerbukitanCatur	3.089011	3	10	328.489898	3862.288974	
412	Polygon_2D	18152	20_20	2	Perumahan	14727	14727	1	Datar	123.819107	PerbukitanCatur	3.089511	3	10	123.819107	865.853272	
474	Polygon_2D	18152	20_20	2	Perumahan	14734	14734	2	Miring	123.819107	PerbukitanMiring	3.089511	3	10	123.819107	865.853272	
416	Polygon_2D	18158	20_20	2	Perumahan	14744	14744	1	Datar	271.845286	PerbukitanCatur	3.204624	3	10	271.845286	2646.362051	
416	Polygon_2D	18167	20_20	2	Perumahan	14745	14745	1	Datar	136.800308	PerbukitanCatur	3.089300	3	10	136.800308	850.932717	
417	Polygon_2D	18168	20_20	2	Perumahan	14746	14746	1	Datar	680.800008	PerbukitanCatur	1.362754	3	10	680.800008	13627.541274	
412	Polygon_2D	18169	20_20	2	Perumahan	14747	14747	1	Datar	548.204261	PerbukitanCatur	1.481020	3	10	548.204261	14819.288990	
421	Polygon_2D	18170	20_20	2	Perumahan	14748	14748	1	Datar	136.800308	PerbukitanCatur	3.089300	3	10	136.800308	850.932717	
426	Polygon_2D	18171	20_20	2	Perumahan	14749	14749	1	Datar	634.271374	PerbukitanCatur	1.396220	3	10	634.271158	12462.276919	
427	Polygon_2D	18172	20_20	2	Perumahan	14750	14750	3	Curam	136.800308	PerbukitanCuram	3.089300	3	10	136.800308	850.932717	
422	Polygon_2D	18173	20_20	2	Perumahan	14751	14751	2	Miring	691.800208	PerbukitanMiring	1.700732	3	10	691.800008	17916.540056	
425	Polygon_2D	18174	20_20	2	Perumahan	14752	14752	2	Miring	123.819107	PerbukitanMiring	3.090511	3	10	123.819107	851.186663	
424	Polygon_2D	18181	20_20	2	Perumahan	14760	14760	1	Datar	328.489898	PerbukitanCatur	3.077360	3	10	328.489898	3978.776651	
426	Polygon_2D	18184	20_20	2	Perumahan	14761	14761	1	Datar	174.601171	PerbukitanCatur	1.154469	3	10	174.600878	1354.008862	
426	Polygon_2D	18188	20_20	2	Perumahan	14762	14762	1	Datar	680.800008	PerbukitanCatur	1.362754	3	10	680.800008	13627.541274	
427	Polygon_2D	18190	20_20	2	Perumahan	14771	14771	1	Datar	234.472429	PerbukitanCatur	3.187146	3	10	234.472379	1871.495917	
432	Polygon_2D	18197	20_20	2	Perumahan	14772	14772	1	Datar	136.800308	PerbukitanCatur	3.089300	3	10	136.800308	850.932717	
429	Polygon_2D	18198	20_20	2	Perumahan	14773	14773	3	Curam	136.800308	PerbukitanCuram	3.089300	3	10	136.800308	850.932717	
436	Polygon_2D	18199	20_20	2	Perumahan	14774	14774	3	Curam	136.800308	PerbukitanCuram	3.089300	3	10	136.800308	850.932717	
431	Polygon_2D	18190	20_20	2	Perumahan	14777	14777	3	Curam	330.881814	PerbukitanCuram	3.428418	3	10	330.881814	1039880.75	
432	Polygon_2D	18200	20_20	2	Perumahan	14778	14778	2	Miring	136.800308	PerbukitanMiring	3.089300	3	10	136.800308	850.932717	
433	Polygon_2D	18204	20_20	2	Perumahan	14788	14788	2	Miring	171.882208	PerbukitanMiring	1.308893	3	10	171.882208	2098.332893	

OBJEK_ID_1	Shape	OBJEK_ID	RD_Nomer	M	gndrooms	miras	RD_Nomer_1	M_1	gndkode_1	alope	Shape_Leng	Sentratata	Lama	skor	skor bobot	Shape_Length	Shape_Area
423	Polygon_2D	18204	20_20	2	Perumahan	14789	14789	2	Miring	271.845286	PerbukitanMiring	3.204624	3	10	271.845286	2646.362051	
424	Polygon_2D	18206	20_20	2	Perumahan	14800	14800	3	Curam	242.212286	PerbukitanCuram	3.336011	3	10	242.212286	3056.368888	
426	Polygon_2D	18206	20_20	2	Perumahan	14801	14801	1	Datar	285.474808	PerbukitanCatur	3.300800	3	10	285.474767	3058.620870	
436	Polygon_2D	18207	20_20	2	Perumahan	14802	14802	1	Datar	634.271374	PerbukitanCatur	1.396220	3	10	634.271374	12462.276919	
437	Polygon_2D	18208	20_20	2	Perumahan	14803	14803	2	Miring	388.428889	PerbukitanMiring	3.181821	3	10	388.428889	1812.276239	
435	Polygon_2D	18206	20_20	2	Perumahan	14804	14804	2	Miring	174.601171	PerbukitanMiring	1.154469	3	10	174.600878	1354.008862	
438	Polygon_2D	18210	20_20	2	Perumahan	14805	14805	2	Miring	328.489898	PerbukitanMiring	3.221271	3	10	328.489898	2912.720881	
440	Polygon_2D	18211	20_20	2	Perumahan	14806	14806	3	Curam	136.800308	PerbukitanCuram	3.089300	3	10	136.800308	850.932717	
441	Polygon_2D	18212	20_20	2	Perumahan	14807	14807	1	Datar	136.800308	PerbukitanCatur	3.089300	3	10	136.800308	850.932717	
442	Polygon_2D	18213	20_20	2	Perumahan	14808	14808	1	Datar	234.472429	PerbukitanCatur	3.178390	3	10	234.471848	1870.247671	
443	Polygon_2D	18217	20_20	2	Perumahan	14812	14812	1	Datar	123.819107	PerbukitanCatur	3.089511	3	10	123.819107	865.853272	
444	Polygon_2D	18228	20_20	2	Perumahan	14813	14813	1	Datar	388.428889	PerbukitanCatur	1.782286	3	10	388.428889	1870.247671	
444	Polygon_2D	18229	20_20	2	Perumahan	14814	14814	1	Datar	388.428889	PerbukitanCatur	1.782286	3	10	388.428889	1870.247671	
446	Polygon_2D	18238	20_20	2	Perumahan	14820	14820	3	Curam	136.800308	PerbukitanCuram	3.089300	3	10	136.800308	850.932717	
447	Polygon_2D	18239	20_20	2	Perumahan	14821	14821	3	Curam	136.800308	PerbukitanCuram	3.089300	3	10	136.800308	850.932717	
448	Polygon_2D	18239	20_20	2	Perumahan	14822	14822	3	Curam	136.800308	PerbukitanCuram	3.089300	3	10	136.800308	850.932717	
449	Polygon_2D	18239	20_20	2	Perumahan	14823	14823	3	Curam	136.800308	PerbukitanCuram	3.089300	3	10	136.800308	850.932717	
449	Polygon_2D	18242	20_20	2	Perumahan	14824	14824	1	Datar	388.428889	PerbukitanCatur	1.782286	3	10	388.428889	1870.247671	
450	Polygon_2D	18248	20_20	2	Perumahan	14828	14828	3	Curam	136.800308	PerbukitanCuram	3.089300	3	10	136.800308	850.932717	
451	Polygon_2D	18247	20_20	2	Perumahan	14828	14828	2	Miring	634.271374	PerbukitanMiring	1.396220	3	10	634.271374	12462.276919	
451	Polygon_2D	18247	20_20	2	Perumahan	14829	14829	3	Curam	136.800308	PerbukitanCuram	3.089300	3	10	136.800308	850.932717	
451	Polygon_2D	18247	20_20	2	Perumahan	14830	14830	1	Datar	136.800308	PerbukitanCatur	3.089300	3	10	136.800308	850.932717	
452	Polygon_2D	18258	20_20	2	Perumahan	14835	14835	3	Curam	136.800308	PerbukitanCuram	3.089300	3	10	136.800308	850.932717	
453	Polygon_2D	18260	20_20	2	Perumahan	14836	14836	2	Miring	136.800308	PerbukitanMiring	3.089300	3	10	136.800308	850.932717	
454	Polygon_2D	18261	20_20	2	Perumahan	14837	14837	3	Curam	136.800308	PerbukitanCuram	3.089300	3	10	136.800308	850.932717	
454	Polygon_2D	18262	20_20	2	Perumahan	14838	14838	1	Datar	174.601171	PerbukitanCatur	1.154469	3	10	174.600878	1354.008862	
456	Polygon_2D	18265	20_20	2	Perumahan	14839	14839	3	Curam	388.428889	PerbukitanCuram	3.348718	3	10	388.428889	1870.247671	
456	Polygon_2D	18264	20_20	2	Perumahan	14839	14839	2	Miring	60.420988	PerbukitanMiring	3.181821	3	10	60.420988	1912.276239	
457	Polygon_2D	18266	20_20	2	Perumahan	14840	14840	1	Datar	388.428889	PerbukitanCatur	1.782286	3	10	388.428889	1870.247671	
458	Polygon_2D	18266	20_20	2	Perumahan	14840	14840	1	Datar	388.428889	PerbukitanCatur	1.782286	3	10	388.428889	1870.247671	
458	Polygon_2D	18266	20_20	2	Perumahan	14840	14840	1	Datar	388.428889	PerbukitanCatur	1.782286	3	10	388.428889	1870.247671	
459	Polygon_2D	18267	20_20	2	Perumahan	14841	14841	1	Datar	388.428889	PerbukitanCatur	1.782286	3	10	388.428889	1	

File Edit View Database Tools Help
data.gemahindia.co.id

OBJEKTU	Shape	OBJEKTU	ID_Raster	M	gndroom	mrans	ID_Raster	M	gndkode	alope	Shape_Leng	Bentangkata	Luas	skor	skor_bobot	Shape_Length	Shape_Area
241	Poligon_2D	16473	25	25	1	Perbaikan	15152	15152	3	Coran	115.600744	PerbaikanCoran	9.091165	3	10	119.880724	81.625032
250	Poligon_2D	16474	25	25	2	Perbaikan	15153	15153	3	Coran	536.451924	PerbaikanCoran	2.388244	3	10	7602.022516	23882.453219
140	Poligon_2D	16475	25	25	2	Perbaikan	15154	15154	2	Ujung	510.962408	PerbaikanUjung	1.888870	9	10	179.862408	17899.952277
144	Poligon_2D	16476	25	25	2	Perbaikan	15155	15155	3	Coran	370.753932	PerbaikanCoran	3.552035	3	10	216.753932	3620.232581
148	Poligon_2D	16477	25	25	1	Perbaikan	15156	15156	1	Data	495.847628	PerbaikanData	5.987889	3	10	495.847628	9175.569982
146	Poligon_2D	16478	25	25	2	Perbaikan	15157	15157	1	Data	1.18.600338	PerbaikanData	9.065353	3	10	118.600338	853.291262
147	Poligon_2D	16479	25	25	2	Perbaikan	15158	15158	1	Data	326.394122	PerbaikanData	1.367516	3	10	326.394122	12675.142886
149	Poligon_2D	16480	25	25	2	Perbaikan	15159	15159	1	Data	1771.745664	PerbaikanData	8.548884	3	10	1771.745664	35486.652488
146	Poligon_2D	16484	25	25	2	Perbaikan	15177	15177	3	Coran	384.834713	PerbaikanCoran	3.232556	3	10	384.834713	1275.760286
100	Poligon_2D	16490	25	25	2	Perbaikan	15178	15178	1	Data	118.600338	PerbaikanData	9.069303	3	10	118.600338	853.291262
551	Poligon_2D	16496	25	25	2	Perbaikan	15179	15179	2	Coran	311973.7625	PerbaikanCoran	3246.421	3	10	8338.84396	32627.203263
452	Poligon_2D	16497	25	25	2	Perbaikan	15180	15180	1	Data	389.847707	PerbaikanData	6.175382	3	10	389.847707	6719.699979
552	Poligon_2D	16498	25	25	2	Perbaikan	15181	15181	1	Data	711.254818	PerbaikanData	3.456591	3	10	711.254818	24665.581317
534	Poligon_2D	16508	25	25	2	Perbaikan	15190	15190	1	Data	123.419127	PerbaikanData	2.888911	3	10	123.419127	362.938742
555	Poligon_2D	16515	25	25	3	Perbaikan	15203	15203	3	Coran	337.883835	PerbaikanCoran	3.524261	3	10	337.883835	1243.688163
388	Poligon_2D	16518	25	25	2	Perbaikan	15209	15209	2	Ujung	118.600338	PerbaikanUjung	9.069303	3	10	118.600338	853.291262
557	Poligon_2D	16519	25	25	2	Perbaikan	15210	15210	3	Coran	219.437918	PerbaikanCoran	8.226226	3	10	219.437918	2082.757893
558	Poligon_2D	16520	25	25	2	Perbaikan	15216	15216	1	Data	8273.715219	PerbaikanData	8.022261	3	10	8273.715219	30233.585787
559	Poligon_2D	16521	25	25	2	Perbaikan	15227	15227	2	Ujung	492.266194	PerbaikanUjung	1.044132	3	10	492.266194	10241.238887
559	Poligon_2D	16525	25	25	2	Perbaikan	15200	15200	1	Data	188.42088	PerbaikanData	3.181203	3	10	188.42088	1818.271026
561	Poligon_2D	16521	25	25	2	Perbaikan	15208	15208	3	Coran	496.481028	PerbaikanCoran	4.888941	3	10	496.481028	18888.481889
562	Poligon_2D	16522	25	25	2	Perbaikan	15215	15215	3	Coran	582.463244	PerbaikanCoran	1.596202	3	10	582.463244	15962.021243
563	Poligon_2D	16528	25	25	2	Perbaikan	15225	15225	1	Data	2098.362926	PerbaikanData	8.179462	3	10	2098.362926	8718.623688
564	Poligon_2D	16529	25	25	2	Perbaikan	15221	15221	2	Ujung	118.600338	PerbaikanUjung	9.069303	3	10	118.600338	853.291262
565	Poligon_2D	16531	25	25	2	Perbaikan	15223	15223	1	Data	118.600338	PerbaikanData	9.069303	3	10	118.600338	853.291262
566	Poligon_2D	16532	25	25	2	Perbaikan	15222	15222	2	Ujung	175.344648	PerbaikanUjung	1.128251	3	10	175.344648	1208.294242
567	Poligon_2D	16533	25	25	2	Perbaikan	15234	15234	1	Data	270.559643	PerbaikanData	3.323425	3	10	270.559643	5324.223448
568	Poligon_2D	16534	25	25	2	Perbaikan	15228	15228	1	Data	210.311888	PerbaikanData	3.221275	3	10	210.311888	2212.729022
569	Poligon_2D	16535	25	25	2	Perbaikan	15235	15235	1	Data	118.600338	PerbaikanData	9.069303	3	10	118.600338	853.291262
570	Poligon_2D	16538	25	25	1	Perbaikan	15227	15227	1	Data	178.881171	PerbaikanData	3.184249	3	10	178.881171	1763.880901
571	Poligon_2D	16541	25	25	2	Perbaikan	15234	15234	1	Data	118.600338	PerbaikanData	9.069303	3	10	118.600338	853.291262
572	Poligon_2D	16542	25	25	2	Perbaikan	15235	15235	1	Data	383.884662	PerbaikanData	3.844366	3	10	383.884662	3843.938271
573	Poligon_2D	16552	25	25	2	Perbaikan	15248	15248	2	Ujung	175.344648	PerbaikanUjung	1.128251	3	10	175.344648	1208.294242
574	Poligon_2D	16553	25	25	2	Perbaikan	15239	15239	2	Ujung	412.266194	PerbaikanUjung	1.428217	3	10	412.266194	8482.812688
575	Poligon_2D	16554	25	25	2	Perbaikan	15240	15240	1	Data	118.600338	PerbaikanData	9.069303	3	10	118.600338	853.291262
576	Poligon_2D	16555	25	25	2	Perbaikan	15252	15252	3	Coran	863.676727	PerbaikanCoran	1.446255	3	10	863.676727	14462.74761
577	Poligon_2D	16564	25	25	2	Perbaikan	15284	15284	3	Ujung	173.881171	PerbaikanUjung	8.128499	3	10	173.881171	1204.288282

File Edit View Database Tools Help
data.gemahindia.co.id

OBJEKTU	Shape	OBJEKTU	ID_Raster	M	gndroom	mrans	ID_Raster	M	gndkode	alope	Shape_Leng	Bentangkata	Luas	skor	skor_bobot	Shape_Length	Shape_Area
577	Poligon_2D	16564	25	25	1	Perbaikan	15254	15254	2	Ujung	179.885171	PerbaikanUjung	8.128499	3	10	179.885171	1204.288282
578	Poligon_2D	16565	25	25	2	Perbaikan	15255	15255	1	Data	118.600338	PerbaikanData	8.128499	3	10	118.600338	853.291262
579	Poligon_2D	16568	25	25	2	Perbaikan	15288	15288	2	Ujung	361.922816	PerbaikanUjung	3.511442	3	10	361.922816	5114.422014
580	Poligon_2D	16567	25	25	2	Perbaikan	15287	15287	1	Data	118.600338	PerbaikanData	9.069303	3	10	118.600338	853.291262
581	Poligon_2D	16568	25	25	1	Perbaikan	15288	15288	1	Data	100.668725	PerbaikanData	3.812287	3	10	100.668725	810.248984
582	Poligon_2D	16569	25	25	2	Perbaikan	15289	15289	2	Ujung	345.031256	PerbaikanUjung	3.244136	3	10	345.031256	19486.127165
583	Poligon_2D	16570	25	25	2	Perbaikan	15279	15279	1	Data	360.333819	PerbaikanData	8.072217	3	10	360.333819	3771.028871
584	Poligon_2D	16571	25	25	2	Perbaikan	15271	15271	1	Data	123.419127	PerbaikanData	3.095511	3	10	123.419127	768.231465
585	Poligon_2D	16577	25	25	2	Perbaikan	15288	15288	3	Coran	389.472428	PerbaikanCoran	3.187186	3	10	389.472428	1871.433671
586	Poligon_2D	16588	25	25	2	Perbaikan	15298	15298	1	Data	1387.498233	PerbaikanData	4.879209	3	10	1387.498233	49701.278281
587	Poligon_2D	16588	25	25	2	Perbaikan	15297	15297	3	Coran	263.886917	PerbaikanCoran	3.589270	3	10	263.886917	3688.717711
588	Poligon_2D	16594	25	25	1	Perbaikan	15292	15292	3	Coran	379.338838	PerbaikanCoran	3.128625	3	10	379.338838	1288.218787
589	Poligon_2D	16591	25	25	2	Perbaikan	15292	15292	1	Data	118.600338	PerbaikanData	9.069303	3	10	118.600338	853.291262
590	Poligon_2D	16598	25	25	1	Perbaikan	15297	15297	1	Data	380.271901	PerbaikanData	3.888916	3	10	380.271901	3888.172478
591	Poligon_2D	16606	25	25	2	Perbaikan	15300	15300	2	Ujung	123.419127	PerbaikanUjung	3.095511	3	10	123.419127	810.188882
592	Poligon_2D	16601	25	25	2	Perbaikan	15298	15298	3	Coran	432.271915	PerbaikanCoran	3.847521	3	10	432.271915	9875.883382
593	Poligon_2D	16605	25	25	2	Perbaikan	15316	15316	1	Data	123.419127	PerbaikanData	3.095511	3	10	123.419127	501.220783
594	Poligon_2D	16607	25	25	2	Perbaikan	15328	15328	2	Ujung	322.472821	PerbaikanUjung	3.555186	3	10	322.472821	3925.262521
595	Poligon_2D	16619	25	25	2	Perbaikan	15321	15321	2	Ujung	123.419127	PerbaikanUjung	3.095511	3	10	123.419127	810.188882
596	Poligon_2D	16626	25	25	2	Perbaikan	15322	15322	1	Data	175.344648	PerbaikanData	8.128251	3	10	175.344648	1208.294242
597	Poligon_2D	16613	25	25	1	Perbaikan	15323	15323	1	Data	175.349643	PerbaikanData	3.109959	3	10	175.349643	1288.268911
598	Poligon_2D	16614	25	25	2	Perbaikan	15333	15333	1	Data	441.252525	PerbaikanData	1.181033	3	10	441.252525	4338.04848
599	Poligon_2D	16615	25	25	2	Perbaikan	15312	15312	3	Coran	178.602788	PerbaikanCoran	3.388383	3	10	178.602788	853.822712
600	Poligon_2D	16618	25	25	2	Perbaikan	15333	15333	2	Ujung	210.311888	PerbaikanUjung	3.221275	3	10	210.311888	497.888544
601	Poligon_2D	16617	25	25	2	Perbaikan	15334	15334	1	Data	446.307888	PerbaikanData	2.428283	3	10	446.307888	2329.210481
602	Poligon_2D	16618	25	25	2	Perbaikan	15335	15335	1	Data	118.600338	PerbaikanData	9.069303	3	10	118.600338	853.291262
603	Poligon_2D	16619	25	25	2	Perbaikan	15336	15336	1	Data	123.419127	PerbaikanData	3.095511	3	10	123.419127	827.025711
604	Poligon_2D	16627	25	25	1	Perbaikan	15341	15341	1	Data	211.450788	PerbaikanData	6.246663	3	10	211.450788	2985.876663
605	Poligon_2D	16623	25	25	2	Perbaikan	15342	15342	1	Coran	366.224441	PerbaikanCoran	4.422558	3	10	366.224441	4525.275861
606	Poligon_2D	16624	25	25	1	Perbaikan	15342	15342	1	Data	498.18121	PerbaikanData	8.811058	3	10	498.18121	8113.188728
607	Poligon_2D	16625	25	25	2	Perbaikan	15344	15344	1	Data	118.600338	PerbaikanData	9.069303	3	10	118.600338	853.291262
608	Poligon_2D	16629	25	25	2	Perbaikan	15346	15346	1	Data	118.602588	PerbaikanData	9.069303	3	10	118.602588	853.812862
609	Poligon_2D	16636	25	25	2	Perbaikan	15364	15364	1	Data	588.852548	PerbaikanData	1.734227	3	10</		

File Edit View Database Tools Help (754 out of 754 Selected)

msi_gambarang_Clip

OBJEKTID	Shape	OBJEKTID	RD_Raster	M	gndrooms	mrnsn	RD_Raster	M	gndkode	abps	Shape_Leng	Bentangkata	Lama	skor	skor_bobot	Shape_Length	Shape_Area
633	Poligon 2D	16648	23	23	1	Perbaikan	9338	9336	1	Datar	174.839171	PerbaikanDatar	9.136490	3	18	174.832214	1304.090601
634	Poligon 2D	16649	23	23	2	Perbaikan	9339	9337	3	Lurus	1.75.246043	PerbaikanLurus	3.126202	3	18	175.243428	1883.017127
635	Poligon 2D	16650	23	23	2	Perbaikan	9339	9337	1	Datar	1234.472428	PerbaikanDatar	3.137140	3	18	234.472338	1971.681962
636	Poligon 2D	16651	23	23	2	Perbaikan	9338	9336	3	Lurus	175.246042	PerbaikanLurus	3.126202	3	18	175.243428	1269.251544
637	Poligon 2D	16652	23	23	1	Perbaikan	9339	9337	1	Datar	438.911122	PerbaikanDatar	1.031611	3	18	638.911226	1304.11382
638	Poligon 2D	16653	23	23	2	Perbaikan	9339	9337	1	Datar	203.709707	PerbaikanDatar	3.219150	3	18	203.709805	3078.180681
639	Poligon 2D	16654	23	23	2	Perbaikan	9339	9337	3	Lurus	175.246043	PerbaikanLurus	3.099383	3	18	175.243428	863.931246
628	Poligon 2D	16655	23	23	5	Perbaikan	9334	9334	1	Datar	270.211088	PerbaikanDatar	3.221273	3	18	116.311817	2212.720481
627	Poligon 2D	16656	23	23	2	Perbaikan	9339	9337	3	Lurus	860.609368	PerbaikanLurus	3.007174	3	18	860.609318	102771.142234
623	Poligon 2D	16657	23	23	2	Perbaikan	9338	9336	3	Lurus	175.246043	PerbaikanLurus	3.099383	3	18	175.243428	870.302248
622	Poligon 2D	16658	23	23	2	Perbaikan	9339	9337	1	Datar	4476.949328	PerbaikanDatar	16.96453	3	18	4476.949318	169443.626677
624	Poligon 2D	16659	23	23	2	Perbaikan	9340	9340	2	Miring	369.472098	PerbaikanMiring	3.176273	3	18	348.336198	4864.170774
625	Poligon 2D	16660	23	23	2	Perbaikan	9341	9341	3	Lurus	221.916868	PerbaikanLurus	3.124284	3	18	221.916825	2242.84110
626	Poligon 2D	16661	23	23	1	Perbaikan	9340	9340	1	Datar	1160.331373	PerbaikanDatar	4.482296	3	18	1160.330339	44822.989183
621	Poligon 2D	16662	23	23	2	Perbaikan	9340	9340	2	Miring	175.609338	PerbaikanMiring	3.099383	3	18	175.609372	870.302248
620	Poligon 2D	16663	23	23	2	Perbaikan	9342	9342	1	Datar	6287.647134	PerbaikanDatar	32.91336	3	18	6287.647198	229163.626687
619	Poligon 2D	16664	23	23	1	Perbaikan	9343	9343	1	Datar	736.709840	PerbaikanDatar	2.2421	3	18	736.709881	12428.369294
618	Poligon 2D	16665	23	23	2	Perbaikan	9344	9344	3	Lurus	175.246043	PerbaikanLurus	3.126202	3	18	175.243428	1288.217587
611	Poligon 2D	16670	23	23	2	Perbaikan	9343	9343	3	Lurus	270.964032	PerbaikanLurus	3.202111	3	18	270.964017	10224.119074
610	Poligon 2D	16671	23	23	2	Perbaikan	9343	9343	1	Datar	175.609338	PerbaikanDatar	3.099383	3	18	175.609372	870.302248
603	Poligon 2D	16672	23	23	1	Perbaikan	9347	9347	1	Datar	123.471427	PerbaikanDatar	3.099311	3	18	123.471228	764.689784
604	Poligon 2D	16673	23	23	2	Perbaikan	9343	9343	1	Datar	175.609338	PerbaikanDatar	3.099383	3	18	175.609372	870.302248
602	Poligon 2D	16674	23	23	1	Perbaikan	9342	9342	1	Datar	860.362129	PerbaikanDatar	1.277188	3	18	860.362062	5.278246
606	Poligon 2D	16675	23	23	2	Perbaikan	9343	9343	1	Datar	270.964032	PerbaikanDatar	3.202111	3	18	270.964017	10224.119074
607	Poligon 2D	16676	23	23	2	Perbaikan	9343	9343	1	Datar	326.193911	PerbaikanDatar	3.033388	3	18	326.193718	1033.681886
608	Poligon 2D	16677	23	23	2	Perbaikan	9343	9343	1	Datar	175.609338	PerbaikanDatar	3.099383	3	18	175.609372	870.302248
609	Poligon 2D	16678	23	23	2	Perbaikan	9343	9343	1	Datar	175.609338	PerbaikanDatar	3.099383	3	18	175.609372	870.302248
614	Poligon 2D	16679	23	23	2	Perbaikan	9343	9343	1	Datar	270.257272	PerbaikanDatar	3.202111	3	18	270.257227	2034.88826
615	Poligon 2D	16680	23	23	2	Perbaikan	9343	9343	1	Datar	627.454643	PerbaikanDatar	1.333141	3	18	627.454622	1022.246621
617	Poligon 2D	16681	23	23	1	Perbaikan	9343	9343	1	Datar	4887.967034	PerbaikanDatar	4.219150	3	18	4887.967018	42018.32882
616	Poligon 2D	16682	23	23	2	Perbaikan	9343	9343	1	Datar	270.257272	PerbaikanDatar	3.202111	3	18	270.257227	2034.88826
613	Poligon 2D	16683	23	23	2	Perbaikan	9343	9343	1	Datar	175.609338	PerbaikanDatar	3.099383	3	18	175.609372	870.302248
612	Poligon 2D	16684	23	23	2	Perbaikan	9343	9343	1	Datar	175.609338	PerbaikanDatar	3.099383	3	18	175.609372	870.302248

msi_gambarang_Clip

Type here to search

8:23 PM 10/1/2024

File Edit View Database Tools Help (754 out of 754 Selected)

msi_gambarang_Clip

OBJEKTID	Shape	OBJEKTID	RD_Raster	M	gndrooms	mrnsn	RD_Raster	M	gndkode	abps	Shape_Leng	Bentangkata	Lama	skor	skor_bobot	Shape_Length	Shape_Area
669	Poligon 2D	16718	23	23	1	Perbaikan	9346	9346	2	Miring	175.609338	PerbaikanMiring	3.099383	3	18	175.609372	870.302248
668	Poligon 2D	16719	23	23	2	Perbaikan	9346	9346	2	Lurus	175.246043	PerbaikanLurus	3.126202	3	18	175.243428	1883.017127
661	Poligon 2D	16721	23	23	2	Perbaikan	9346	9346	1	Datar	123.919127	PerbaikanDatar	3.099311	3	18	123.919028	871.024895
660	Poligon 2D	16722	23	23	2	Perbaikan	10206	10206	2	Miring	175.380744	PerbaikanMiring	3.061163	3	18	175.380788	671.020261
651	Poligon 2D	16734	23	23	1	Perbaikan	9307	9307	1	Datar	576.213373	PerbaikanDatar	3.488213	3	18	576.213278	4821.278478
654	Poligon 2D	16735	23	23	2	Perbaikan	9309	9309	1	Datar	175.609338	PerbaikanDatar	3.099383	3	18	175.609372	870.302248
654	Poligon 2D	16744	23	23	5	Perbaikan	10022	10022	1	Datar	270.257272	PerbaikanDatar	3.202111	3	18	270.257227	2034.88826
657	Poligon 2D	16745	23	23	2	Perbaikan	9328	9328	2	Miring	319.427619	PerbaikanMiring	3.202173	3	18	319.428039	2082.154667
655	Poligon 2D	16748	23	23	2	Perbaikan	9328	9328	1	Datar	338.931126	PerbaikanDatar	3.170284	3	18	338.931481	1782.048588
656	Poligon 2D	16750	23	23	2	Perbaikan	9328	9328	1	Datar	622.329860	PerbaikanDatar	3.170284	3	18	622.329811	3873.088412
660	Poligon 2D	16753	23	23	1	Perbaikan	9348	9348	1	Datar	175.609338	PerbaikanDatar	3.099383	3	18	175.609372	870.302248
661	Poligon 2D	16754	23	23	2	Perbaikan	9344	9344	1	Datar	120.364474	PerbaikanDatar	1.203586	3	18	120.364468	1615.546651
662	Poligon 2D	16756	23	23	1	Perbaikan	9343	9343	1	Datar	339.433883	PerbaikanDatar	3.018884	3	18	339.433817	878.693226
663	Poligon 2D	16757	23	23	2	Perbaikan	9344	9344	1	Datar	270.174541	PerbaikanDatar	3.389545	3	18	270.174535	3481.148895
664	Poligon 2D	16760	23	23	1	Perbaikan	9348	9348	1	Datar	869.898821	PerbaikanDatar	1.617698	3	18	869.898886	1819.688412
665	Poligon 2D	16768	23	23	1	Perbaikan	9359	9359	1	Datar	247.232673	PerbaikanDatar	3.268532	3	18	247.231912	2217.911142
666	Poligon 2D	16774	23	23	2	Perbaikan	10072	10072	1	Datar	175.609338	PerbaikanDatar	3.099383	3	18	175.609372	870.302248
667	Poligon 2D	16784	23	23	5	Perbaikan	10067	10067	1	Datar	734.889127	PerbaikanDatar	3.236292	3	18	734.889111	12262.078277
668	Poligon 2D	16785	23	23	2	Perbaikan	10208	10208	2	Miring	175.609338	PerbaikanMiring	3.099383	3	18	175.609372	870.302248
669	Poligon 2D	16786	23	23	1	Perbaikan	9360	9360	1	Datar	175.609338	PerbaikanDatar	3.099383	3	18	175.609372	870.302248
671	Poligon 2D	16786	23	23	2	Perbaikan	10601	10601	1	Datar	175.609338	PerbaikanDatar	3.099383	3	18	175.609372	870.302248
672	Poligon 2D	16787	23	23	5	Perbaikan	10603	10603	1	Datar	863.388907	PerbaikanDatar	5.847198	3	18	863.388938	3813.686463
673	Poligon 2D	16789	23	23	1	Perbaikan	174.839171	PerbaikanDatar	3.126489	3	18	174.839154	1304.092241				
674	Poligon 2D	16808	23	23	1	Perbaikan	10418	10418	1	Datar	626.277468	PerbaikanDatar	1.117208	3	18	626.280462	1181.37425
675	Poligon 2D	16807	23	23	1	Perbaikan	10419	10419	1	Datar	736.806984	PerbaikanDatar	2.289195	3	18	736.806988	22861.683885
676	Poligon 2D	16809	23	23	2	Perbaikan	10420	10420	2	Miring	175.609338	PerbaikanMiring	3.099383	3	18	175.609372	870.302248
678	Poligon 2D	16809	23	23	1	Perbaikan	10421	10421	1	Datar	8975.767273	PerbaikanDatar	8.198877	3	18	8976.927874	16289.989179
677	Poligon 2D	16812	23	23	5	Perbaikan	10424	10424	1	Datar	496.969654	PerbaikanDatar	1.248226	3	18	496.971748	12952.247464
678	Poligon 2D	16813	23	23	1	Perbaikan	10425	10425	1	Datar	989.807112	PerbaikanDatar	3.104687	3	18	989.807818	7684.881882
679	Poligon 2D	16821	23	23	2	Perbaikan	10426	10426	1	Datar	174.355171	PerbaikanDatar	3.120483	3	18	174.355243	1384.66888
680	Poligon 2D	16822	23	23	2	Perbaikan	10428	10428	2	Miring	283.499826	PerbaikanMiring	3.166263	3	18	283.498437	1668.622077
681	Poligon 2D	16823	23	23	2	Perbaikan	10448	10448	1	Datar	237.115329	PerbaikanDatar	3.184621	3	18	237.115311	1814.248589
681	Poligon 2D	16824	23	23	2	Perbaikan	10449	10449	1	Datar	1001.221434	PerbaikanDatar	3.030068	3	18	1001.221428	4673.271367
680	Poligon 2D	16827	23	23	2	Perbaikan	10442	10442	1	Datar	121.811927	PerbaikanDatar	3.086111	3	18	121.809812	528.08782
684	Poligon 2D	16828	23	23	2	Perbaikan	10452	10452	1	Datar	288.379421	PerbaikanDatar	3.441852	3	18	288.379278	4412.244894
685	Poligon 2D	16838	23	23	1	Perbaikan	10462	10462	1	Datar	989.842817	PerbaikanDatar	3.199271	3	18	989.842818	878.22812

File Edit View Database Tools Help

Desa_Karango_Clip

OBJECTID*	Shape*	OBJECTID	RD_Areas	M	gndroom	nama	RD_Area_1	M_1	gndkode_1	alope	Shape_Leng	Peristatata	Less	skor	skor_bobot	Shape_Length	Shape_Area
886	Polygon ZM	18828	21_20	1	Pedukuhan	18828	18828	1	Carem	180_542037	PerbukitanCuram	0,976977	3	18	186_542018	1196_72813	
887	Polygon ZM	18829	21_20	1	Pedukuhan	18829	18829	1	Carem	175_542045	PerbukitanCuram	0,976977	3	18	175_542026	1208_25087	
888	Polygon ZM	18830	21_20	1	Pedukuhan	18830	18830	1	Miring	180_700048	PerbukitanMiring	0,976977	3	18	180_700019	9674_180087	
889	Polygon ZM	18831	21_20	1	Pedukuhan	18831	18831	1	Miring	182_442076	PerbukitanMiring	0,976977	3	18	182_442078	7408_32758	
890	Polygon ZM	18832	21_20	1	Pedukuhan	18832	18832	1	Datar	188_000018	PerbukitanDatar	1,828911	3	18	188_000024	1008_180081	
891	Polygon ZM	18833	21_20	1	Pedukuhan	18833	18833	1	Datar	174_880171	PerbukitanMiring	0,976977	3	18	174_880243	7194_180080	
892	Polygon ZM	18834	21_20	1	Pedukuhan	18834	18834	1	Datar	187_210113	PerbukitanDatar	0,976977	3	18	187_210078	2214_541483	
893	Polygon ZM	18835	21_20	1	Pedukuhan	18835	18835	1	Datar	180_121094	PerbukitanDatar	0,976977	3	18	180_121087	2028_180012	
894	Polygon ZM	18836	21_20	1	Pedukuhan	18836	18836	1	Datar	189_041178	PerbukitanDatar	1,811418	3	18	189_042000	14814_614738	
895	Polygon ZM	18837	21_20	1	Pedukuhan	18837	18837	1	Miring	174_880171	PerbukitanMiring	0,976977	3	18	174_880227	1254_027863	
896	Polygon ZM	18838	21_20	1	Pedukuhan	18838	18838	1	Datar	173_418107	PerbukitanDatar	0,986611	3	18	173_418023	748_431274	
897	Polygon ZM	18839	21_20	1	Pedukuhan	18839	18839	1	Datar	178_000000	PerbukitanDatar	0,986611	3	18	178_000041	833_023246	
898	Polygon ZM	18840	21_20	1	Pedukuhan	18840	18840	1	Datar	178_000000	PerbukitanDatar	0,986611	3	18	178_000011	801_002788	
899	Polygon ZM	18841	21_20	1	Pedukuhan	18841	18841	1	Datar	180_023247	PerbukitanDatar	1,906611	3	18	180_023100	1008_002321	
900	Polygon ZM	18842	21_20	1	Pedukuhan	18842	18842	1	Miring	178_000000	PerbukitanMiring	0,986611	3	18	178_000017	801_002777	
901	Polygon ZM	18843	21_20	1	Pedukuhan	18843	18843	1	Miring	175_240661	PerbukitanMiring	0,928252	3	18	175_240735	1269_264471	
902	Polygon ZM	18844	21_20	1	Pedukuhan	18844	18844	1	Datar	178_000000	PerbukitanDatar	0,986611	3	18	178_000041	833_023246	
903	Polygon ZM	18845	21_20	1	Pedukuhan	18845	18845	1	Miring	178_000000	PerbukitanMiring	0,986611	3	18	178_000017	801_002777	
904	Polygon ZM	18846	21_20	1	Pedukuhan	18846	18846	1	Datar	180_023247	PerbukitanDatar	1,906611	3	18	180_023100	1008_002321	
905	Polygon ZM	18847	21_20	1	Pedukuhan	18847	18847	1	Datar	178_000000	PerbukitanDatar	0,986611	3	18	178_000041	833_023246	
906	Polygon ZM	18848	21_20	1	Pedukuhan	18848	18848	1	Datar	178_000000	PerbukitanDatar	0,986611	3	18	178_000041	833_023246	
907	Polygon ZM	18849	21_20	1	Pedukuhan	18849	18849	1	Datar	174_880171	PerbukitanDatar	0,976977	3	18	174_880227	1254_027863	
908	Polygon ZM	18850	21_20	1	Pedukuhan	18850	18850	1	Datar	178_000000	PerbukitanDatar	0,986611	3	18	178_000041	833_023246	
909	Polygon ZM	18851	21_20	1	Pedukuhan	18851	18851	1	Datar	178_000000	PerbukitanDatar	0,986611	3	18	178_000041	833_023246	
910	Polygon ZM	18852	21_20	1	Pedukuhan	18852	18852	1	Datar	178_000000	PerbukitanDatar	0,986611	3	18	178_000041	833_023246	
911	Polygon ZM	18853	21_20	1	Pedukuhan	18853	18853	1	Datar	178_000000	PerbukitanDatar	0,986611	3	18	178_000041	833_023246	
912	Polygon ZM	18854	21_20	1	Pedukuhan	18854	18854	1	Datar	178_000000	PerbukitanDatar	0,986611	3	18	178_000041	833_023246	
913	Polygon ZM	18855	21_20	1	Pedukuhan	18855	18855	1	Datar	178_000000	PerbukitanDatar	0,986611	3	18	178_000041	833_023246	
914	Polygon ZM	18856	21_20	1	Pedukuhan	18856	18856	1	Datar	178_000000	PerbukitanDatar	0,986611	3	18	178_000041	833_023246	
915	Polygon ZM	18857	21_20	1	Pedukuhan	18857	18857	1	Datar	178_000000	PerbukitanDatar	0,986611	3	18	178_000041	833_023246	
916	Polygon ZM	18858	21_20	1	Pedukuhan	18858	18858	1	Datar	178_000000	PerbukitanDatar	0,986611	3	18	178_000041	833_023246	
917	Polygon ZM	18859	21_20	1	Pedukuhan	18859	18859	1	Datar	178_000000	PerbukitanDatar	0,986611	3	18	178_000041	833_023246	
918	Polygon ZM	18860	21_20	1	Pedukuhan	18860	18860	1	Datar	178_000000	PerbukitanDatar	0,986611	3	18	178_000041	833_023246	
919	Polygon ZM	18861	21_20	1	Pedukuhan	18861	18861	1	Datar	178_000000	PerbukitanDatar	0,986611	3	18	178_000041	833_023246	
920	Polygon ZM	18862	21_20	1	Pedukuhan	18862	18862	1	Datar	178_000000	PerbukitanDatar	0,986611	3	18	178_000041	833_023246	
921	Polygon ZM	18863	21_20	1	Pedukuhan	18863	18863	1	Datar	178_000000	PerbukitanDatar	0,986611	3	18	178_000041	833_023246	

754 out of 754 Selected

File Edit View Database Tools Help

Desa_Karango_Clip

OBJECTID*	Shape*	OBJECTID	RD_Areas	M	gndroom	nama	RD_Area_1	M_1	gndkode_1	alope	Shape_Leng	Peristatata	Less	skor	skor_bobot	Shape_Length	Shape_Area
714	Polygon ZM	18873	21_20	1	Pedukuhan	18873	18873	1	Carem	178_000000	PerbukitanCuram	0,986611	3	18	181_000021	468_004930	
715	Polygon ZM	18874	21_20	1	Pedukuhan	18874	18874	1	Carem	181_000000	PerbukitanCuram	0,986611	3	18	181_000013	1648_911583	
716	Polygon ZM	18875	21_20	1	Pedukuhan	18875	18875	1	Datar	175_300000	PerbukitanDatar	0,976977	3	18	175_300028	7601_243038	
717	Polygon ZM	18876	21_20	1	Pedukuhan	18876	18876	1	Carem	178_000000	PerbukitanCuram	0,986611	3	18	178_000041	833_023246	
718	Polygon ZM	18877	21_20	1	Pedukuhan	18877	18877	1	Miring	178_000000	PerbukitanMiring	0,986611	3	18	178_000017	801_002777	
719	Polygon ZM	18878	21_20	1	Pedukuhan	18878	18878	1	Datar	180_023247	PerbukitanDatar	1,906611	3	18	180_023100	1008_002321	
720	Polygon ZM	18879	21_20	1	Pedukuhan	18879	18879	1	Datar	178_000000	PerbukitanDatar	0,986611	3	18	178_000041	833_023246	
721	Polygon ZM	18880	21_20	1	Pedukuhan	18880	18880	1	Datar	178_000000	PerbukitanDatar	0,986611	3	18	178_000041	833_023246	
722	Polygon ZM	18881	21_20	1	Pedukuhan	18881	18881	1	Datar	178_000000	PerbukitanDatar	0,986611	3	18	178_000041	833_023246	
723	Polygon ZM	18882	21_20	1	Pedukuhan	18882	18882	1	Datar	178_000000	PerbukitanDatar	0,986611	3	18	178_000041	833_023246	
724	Polygon ZM	18883	21_20	1	Pedukuhan	18883	18883	1	Datar	178_000000	PerbukitanDatar	0,986611	3	18	178_000041	833_023246	
725	Polygon ZM	18884	21_20	1	Pedukuhan	18884	18884	1	Datar	178_000000	PerbukitanDatar	0,986611	3	18	178_000041	833_023246	
726	Polygon ZM	18885	21_20	1	Pedukuhan	18885	18885	1	Datar	178_000000	PerbukitanDatar	0,986611	3	18	178_000041	833_023246	
727	Polygon ZM	18886	21_20	1	Pedukuhan	18886	18886	1	Datar	178_000000	PerbukitanDatar	0,986611	3	18	178_000041	833_023246	
728	Polygon ZM	18887	21_20	1	Pedukuhan	18887	18887	1	Datar	178_000000	PerbukitanDatar	0,986611	3	18	178_000041	833_023246	
729	Polygon ZM	18888	21_20	1	Pedukuhan	18888	18888	1	Datar	178_000000	PerbukitanDatar	0,986611	3	18	178_000041	833_023246	
730	Polygon ZM	18889	21_20	1	Pedukuhan	18889	18889	1	Datar	178_000000	PerbukitanDatar	0,986611	3	18	178_000041	833_023246	
731	Polygon ZM	18890	21_20	1	Pedukuhan	18890	18890	1	Datar	178_000000	PerbukitanDatar	0,986611	3	18	178_000041	833_023246	
732	Polygon ZM	18891	21_20	1	Pedukuhan	18891	18891	1	Datar	178_000000	PerbukitanDatar	0,986611	3	18	178_000041	833_023246	
733	Polygon ZM	18892	21_20	1	Pedukuhan	18892	18892	1	Datar	178_000000	PerbukitanDatar	0,986611	3	18	178_000041	833_023246	
734	Polygon ZM	18893	21_20	1	Pedukuhan	18893	18893	1	Datar	178_000000	PerbukitanDatar	0,986611	3	18	178_000041	833_023246	
735	Polygon ZM	18894	21_20	1	Pedukuhan	18894	18894	1	Datar	178_000000	PerbukitanDatar	0,986611	3	18	178_000041	833_023246	
736	Polygon ZM	18895	21_20	1	Pedukuhan	18895	18895	1	Datar	178_000000	PerbukitanDatar	0,986611	3	18	178_000041	833_023246	
737	Polygon ZM	18896	21_20	1	Pedukuhan	18896	18896	1	Datar	178_000000	PerbukitanDatar	0,986611	3	18	178_000041	833_023246	
738	Polygon ZM	18897	21_20	1	Pedukuhan	18897	18897	1	Datar	178_000000	PerbukitanDatar	0,986611	3	18	178_000041	833_023246	
739	Polygon ZM	18898	21_20	1	Pedukuhan	18898	18898	1	Datar	178_000000	PerbukitanDatar	0,986611	3	18	178_000041	833_023246	
740	Polygon ZM	18899	21_20	1	Pedukuhan	18899	18899	1	Datar	178_000000	PerbukitanDatar	0,986611	3	18	178_000041	833_023246	
741	Polygon ZM	18900	21_20	1	Pedukuhan	18900	18900	1	Datar	178_000000	PerbukitanDatar	0,986611	3	18	178_000041	833_023246	
742	Polygon ZM	18901	21_20	1	Pedukuhan	18901	18901	1	Datar	178_000000	PerbukitanDatar	0,986611	3	18	178_000041	833_023246	
743	Polygon ZM	18902	21_20	1	Pedukuhan	18902	18902	1	Datar	178_000000	PerbukitanDatar	0,986611	3	18	178_000041	833_023246	
744	Polygon ZM	18903	21_20	1	Pedukuhan	18903	18903	1	Datar	178_000000	PerbukitanDatar	0,986611	3	18	178_000041	833_023246	
745	Polygon ZM	18904	21_20	1	Pedukuhan	18904	18904	1	Datar	178_000000	PerbukitanDatar	0,986611	3	18	178_000041	833_023246	
746	Polygon ZM	18905	21_20	1	Pedukuhan	18905	18905	1	Datar	178_000000	PerbukitanDatar	0,986611	3	18	178_000041	833_023246	
747	Polygon ZM	18906	21_20	1	Pedukuhan	18906	18906	1	Datar	178_000000	PerbukitanDatar	0,986611	3	18	178_000041	833_023246	
748	Polygon ZM	18907	21_20	1	Pedukuhan	18907	18907	1									



UNIVERSITAS ISLAM NEGERI
ALAUDDIN
M A K A S S A R